

438 | Februar 1984

## SCHRIFTENREIHE SCHIFFBAU

A. Achner und J. Marzi

**2-dimensionales, differentielles  
Grenzschichtberechnungsverfahren  
nach Cebeci  
Beschreibung und  
Berechnungsbeispiele**

## **2-dimensionales, differentielles Grenzschichtberechnungsverfahren nach Cebeci**

### **Beschreibung und Berechnungsbeispiele**

A. Achner, J. Marzi., Hamburg, Technische Universität Hamburg-Harburg, 1984

© Technische Universität Hamburg-Harburg  
Schriftenreihe Schiffbau  
Schwarzenbergstraße 95c  
D-21073 Hamburg

<http://www.tuhh.de/vss>

INSTITUT FÜR SCHIFFBAU DER UNIVERSITÄT HAMBURG

Bericht Nr. 438

2-dimensionales, differentielles  
Grenzschichtberechnungsverfahren nach Cebeci  
- Beschreibung und Berechnungsbeispiele -

von

A. Achner und J. Marzi

H a m b u r g

Februar 1984

## I N H A L T

---

|  | Seite |
|--|-------|
| Symboliste   | 1     |
| I. Theoretische Grundlagen                                 | 2     |
| 1) 2-dimensionale Grenzschichtgleichungen                  | 2     |
| 2) Manglertransformation                                   | 3     |
| 3) 'Faulkner-Skan' Transformation                          | 4     |
| 4) Finite-Differenzen-Approximation<br>der Impulsgleichung | 5     |
| 5) Behandlung der Turbulenz                                | 11    |
| 6) Netzstruktur  | 12    |
| II. Programmbeschreibung                                   | 13    |
| 1) Allgemeines   | 13    |
| 2) Beschreibung der einzelnen Programme                    | 13    |
| 2.1) GS2D  | 13    |
| 2.2) GSDG  | 16    |
| 2.3) GS PLOT   | 16    |
| III. Zusammenfassung der Berechnungsergebnisse             | 17    |
| 1) Allgemeine Erfahrungen                                  | 17    |
| 2) Berechnungsbeispiele                                    | 17    |
| IV. Literatur  | 20    |
| V. Programmlisten  | 21    |
| 1) GSDG  | 21    |
| 2) GS2D  | 25    |
| 3) GS PLOT   | 37    |
| VI. Berechnungsbeispiele - Ausgabelisten                   | 47    |
| 1) Turbulente Grenzschicht an der Platte, Wieghardt        | 47    |
| 1.Fassung  | 47    |
| 2) " " " " "   | 49    |
| 2.Fassung  | 49    |
| 3) Laminare Grenzschicht an der Platte                     | 51    |

|       |  |    |
|-------|--|----|
| VII.  | 1) Beispiel für eine mögliche Kommandoprozedur<br>für den Rechner VAX 11                           | 52 |
|       | 2) Beispiele für Eingabedateien  | 54 |
| VIII. | Graphische Darstellung der Berechnungsergebnisse   | 57 |
|       | 1) Cebeci Flow 1 (NACA 0012-Profil)  | 58 |
|       | 2) Cebeci Flow 2 (2-dimensionale laminare Strömung<br>mit analytischer Geschwindigkeitsverteilung) | 63 |
|       | 3) Laminare Grenzschicht an der Platte   | 66 |
|       | 4) turbulente Grenzschicht an der Platte<br>nach Wieghardt (ident. 1400) *)                        | 69 |
|       | 5) turbulente Grenzschicht an der Platte<br>nach Wieghardt, feinere $\eta$ -Unterteilung           | 74 |
|       | 6) Schubauer und Klebanoff (ident. 2100) *)  | 79 |
|       | 7) Schubauer und Spangenberg, Flow B (ident. 4500) *)  | 83 |
|       | 8) Modell des USAS Akron (NACA Rep. 430)   | 87 |
|       | 9) Mrs. Lyon's Modell A  | 92 |
|       | Zusammenfassung  | 96 |

\*) Anmerkung:

Die Bezeichnungen "(ident. ...)" beziehen sich auf die Nummer der experimentell ermittelten Daten für diese Strömung in Band II "Compiled Data" der proceedings der "Computation of Turbulent Boundary Layers - 1968, AFOSR-IFP-Stanford Conference", Coles, D.E., Hirst, E.A., editors.

**Symboliste**

| Symbol                | Definition   | Erklaerung                                       | Comp. Symbol |
|-----------------------|--|--|--------------|
| $x$                   |  | metrische Sehnenlaenge                           | X-Sehne      |
| $s$                   | - " -  | Bogenlaenge                                      | S            |
| $r, y_0$              |  | Koerperradius bzw.<br>Aufmass ( $y(x)$ ) (eben)  | RR0          |
| $u$                   |  | x-Komp. des Geschw.vektors                       | -            |
| $v$                   |  | y-Komp. des Geschw.vektors                       | -            |
| $g_x$                 | $\frac{\partial g}{\partial x}$                            | partielles Differential                          | -            |
| $\Psi(x, y)$          |  | Stromfunktion                                    | -            |
| $d_{99}(x)$           | fuer: $u(x, y) = 0.99 u_e(u)$                              | Grenzschichtdicke(99%)                           | d99          |
| $\kappa$              |  | kinematische Zähigkeit                           | CNU          |
| $u_e(x)$              |  | Aussengeschw. a. R. d. GS                        | UE           |
| $\eta$                | $\left(\frac{u_e}{\nu x}\right)^{\frac{1}{2}}$             | dimensionslose Koordinate in<br>Normalenrichtung | ETA          |
| $c_f$                 | $\frac{z_w}{\int_{-\infty}^{\infty} u_e^2}$                | Reibungswiderstandsbeiwert                       | CF           |
| $\delta^*$            | $\int_0^{\infty} (1 - \frac{u}{u_e}) dy$                   | Verdauungsdicke der GS                           | DELS         |
| $\theta$              | $\int_0^{\infty} \frac{u}{u_e} (1 - \frac{u}{u_e}) dy$     | Impulsverlustdicke der GS                        | THETA        |
| $\delta^{**}$         | $\int_0^{\infty} \frac{u}{u_e} (1 - (\frac{u}{u_e})^2) dy$ | Energieverlustdicke der GS                       | ENTH         |
| $f$                   |  | dimensionslose Stromfunktion                     | F            |
| $u$                   |  | (Komponenten des DGL-Systems)                    | U            |
| $v$                   |  |  | V            |
|                       |  | dimensionslose Wirbelzähigkeit                   |              |
| $(\varepsilon_m^+)_i$ | - im inneren Bereich der GS                                |  | EDVI         |
| $(\varepsilon_m^+)_o$ | - im äusseren Bereich der GS                               |  | EDVO         |

I.

Theoretische Grundlagen.

1.) 2-dimensionale Grenzschichtgleichungen

Ausgangspunkt der Ueberlegungen sind zunaechst die folgenden Gleichungen mit den in der Grenzschichttheorie ueblichen Vereinfachungen.

1.1)

Grundgleichungen im 2.dimENSIONALen, ebenen Fall

$$uu_{,x} + vu_{,y} = - \frac{1}{\rho} p_{,x} + \frac{1}{\rho} (\mu u_{,y} - \rho \bar{u} \bar{v})_{,y} \quad (1)$$

$$p_{,y} = 0 \quad (2)$$

$$u_{,x} + v_{,y} = 0 \quad (3)$$

Gleichung (1) ist die erste Reynoldsgleichung fuer den stationaeren Fall, (2) die aus den Vereinfachungen entstandene 2.Reynoldsgleichung und (3) die Kontinuitaetsgleichung. In der GL.(1) ist  $\rho \bar{u} \bar{v}$  der verbleibende Anteil des Reynoldschen Schubspannungstensors.

1.2)

Im ebenfalls 2.dimENSIONALen, rotationssymmetrischen Fall, ergeben sich die drei Gleichungen zu:

$$uu_{,x} + vu_{,y} = - \frac{1}{\rho} p_{,x} + \frac{1}{\rho} (\tau(\mu u_{,r} - \rho \bar{u} \bar{v}))_{,r} \quad (1.1)$$

$$p_{,y} = 0 \quad (2.1)$$

$$u_{,x} + \frac{1}{\rho} (\tau v_{,r})_{,r} = 0 \quad (3.1)$$

## 2.) Manglertransformation

Mit Hilfe, der in diesem Abschnitt vorzustellenden Manglertransformation, gelingt es, die in 1.) angegebenen Gleichungen ineinander zu ueberfuehren. Die Transformationsgleichungen lauten :

$$d\bar{x} = \left(\frac{r}{L}\right)^k dx \quad (4)$$

$$d\bar{y} = \left(\frac{r}{L}\right)^k dy \quad (5)$$

$$\bar{\Psi}(\bar{x}, \bar{y}) = \left(\frac{r}{L}\right)^k \Psi(x, y) \quad (6)$$

$k$  ist ein Index, der die Stroemung beschreibt:  $0$  im ebenen,  $1$  im rotationssymmetrischen Fall.  $L$  ist eine charakteristische Laenge des Koerpers,  $r$  der Radius der Koerperkontur,  $r$  der Abstand eines beliebigen Punktes der Grenzschicht von der Rotationsachse.

Mit  $\bar{u} = \Psi_y$  und  $\bar{v} = -\Psi_x$  und einer Kontinuitaetsgleichung

$$\bar{u}_{,\bar{x}} + \bar{v}_{,\bar{y}} = 0$$

erhaelt man eine Stromfunktion  $\bar{\Psi}(\bar{x}, \bar{y})$  die die Kontinuitaetsbedingung automatisch erfuellt.

$$\bar{\Psi}_{,\bar{y}} = \bar{u} ; \quad \bar{\Psi}_{,\bar{x}} = -\bar{v}$$

Mit diesen Transformationen erhaelt man die folgende Impulsgleichung:

$$\bar{u}\bar{u}_{,\bar{x}} + \bar{v}\bar{u}_{,\bar{y}} = -\frac{1}{\rho} p_{\bar{x}} + \frac{1}{\rho} [(1+t)^{2k} (\mu \bar{u}_{,\bar{y}} - (\frac{L}{r})^k \bar{g} u v)]_{,\bar{y}} \quad (7)$$

mit

$$t = -1 + \left(1 + \frac{2 \cos \phi}{L} \left(\frac{L}{r}\right)^k \bar{y}\right)^{\frac{1}{2}}$$

als Term, der die Kruemmung quer zur Stroemungsrichtung beruecksichtigt.  $\phi$  ist der Steigungswinkel der Koerperkontur, d.h.

$$\tan \phi = \frac{dy}{dx} \quad \text{bzw.} \quad \tan \phi = \frac{dt}{dx}$$

Die Randbedingungen der Gleichung (7) sind:

$$\bar{y} = 0 : \bar{u} = \bar{v} = 0$$

$$\bar{y} = d(x) : \bar{u} = u_c(x)$$

### 3.) 'Faulkner-Skan' Transformation

Durch die im folgenden beschriebene 'Faulkner-Skan' Transformation erhaelt man sogenannte aehnliche Loesungen fuer die Gleichung (7).

Das hier benutzte Koordinatensystem ist bereits manglertransformiert, also ein  $\bar{x}, \bar{y}$  System.  
Mit der Transformation

$$\eta = \left(\frac{u_c}{\bar{x}}\right)^{\frac{1}{2}} \bar{y} \quad (8)$$

und einer Stromfunktion

$$\bar{\psi}(\bar{x}, \bar{y}) = (u_c n \bar{x})^{\frac{1}{2}} f(\bar{x}, \eta) \quad (9)$$

erhaelt man

$$\bar{u} = u_c f' \quad (10.1)$$

$$\text{und} \quad \bar{v} = -[(u_c n \bar{x})^{\frac{1}{2}} f]_{,\bar{x}} + \frac{n}{2} \left(\frac{u_c n}{\bar{x}}\right)^{\frac{1}{2}} f' \quad (10.2)$$

$$\text{mit } ' = \frac{d}{d\eta}$$

Mit den Ansaetzen  $\bar{u}\bar{v}' - \bar{v}\bar{u}' = 0$ , also zunaechst fuer den laminaren Fall, und  $\rho_x = \rho u_c u_{c,x}$  wird die Gleichung (7) zu:

$$[(1+t)^{2k} f''']' + \frac{m+1}{2} \bar{x} f''' + m[1-f'^2] = \bar{x} (f'' f_{,x} - f f_{,xx}) \quad (11)$$

Hier ist jetzt

$$t = -1 + [1 + \left(\frac{L}{r_0}\right)^2 \frac{2 \cos \phi}{L} \left(\frac{n \bar{x}}{u_c}\right)^{\frac{1}{2}} \eta]^{\frac{1}{2}} \quad (11.1)$$

und

$$m = \frac{\bar{x}}{u_c} u_{c,x} \quad (11.2)$$

ein dimensionsloser Druckgradientparameter.

Die Randbedingungen der Gleichung (11) lauten:

$$\eta = 0 : f' = 0 ; \quad f(\bar{x}, 0) = f_{\text{wand}} = -(u_c n \bar{x})^{\frac{1}{2}} \int_0^{\bar{x}} \bar{v}_w d\bar{x}$$

$$\eta = \infty : f' = 1$$

Mit Hilfe der o.g. Transformation lassen sich die integralen Grenzschichtparameter folgendermassen schreiben:

$$c_f = 2 \left( \frac{t}{L} \right)^k \bar{R}_{\bar{x}}^{-\frac{1}{2}} f_w \quad (12.1)$$

$$\delta^* = \left( \frac{L}{x_0} \right)^k \bar{x} \bar{R}_{\bar{x}}^{-\frac{1}{2}} \delta_1^* \quad (12.2)$$

$$\Theta = \left( \frac{L}{x_0} \right)^k \bar{x} \bar{R}_{\bar{x}}^{-\frac{1}{2}} \Theta_1 \quad (12.3)$$

$$\delta^{**} = \left( \frac{L}{x_0} \right)^k \bar{x} \bar{R}_{\bar{x}}^{-\frac{1}{2}} \delta_1^{**} \quad (12.4)$$

mit

$$\bar{R}_{\bar{x}} = \frac{u_c \bar{x}}{\nu}$$

$$\delta_1^* = \int_{\infty}^0 (1 - f') dy$$

$$\Theta_1 = \int_{\infty}^0 f' (1 - f') dy$$

$$\delta_1^{**} = \int_{\infty}^0 f' (1 - f'^2) dy$$

#### 4.) Finite-Differenzen-Approximation der Impulsgleichung

##### 4.1)

Die Faulkner-Skan transformierte Grenzschichtgleichung

$$[(1+t)^{2k} f']' + \frac{m+1}{2} ff' + m[1-f]^2 = \bar{x} (ff_{xx} - f''f_{xx}) \quad (11)$$

wird in ein System 1. Ordnung ueberfuehrt:

$$f' = u \quad (13.1)$$

$$u' = v \quad (13.2)$$

$$(bu)' + \frac{m+1}{2} fv + m(1-u^2) = \bar{x} (uu_{xx} - vu_{xx}) \quad (13.3)$$

Hier ist zu beachten, dass  $v$  nicht die  $y$ -Komponente des Geschwindigkeitsvektors ist, sondern eine reine Rechengroesse. Die Randbedingungen des Systems lauten:

$$f(\bar{x}, 0) = f_w(\bar{x}) ; \quad u(\bar{x}, 0) = 0 ; \quad u(\bar{x}, \gamma_\infty) = 1 \quad (13.4)$$

Es ist jetzt notwendig, ein Netz ueber der Koerperkontur zu definieren, an dessen Kreuzungspunkten die Elemente der Differentialgleichung berechnet werden. Hierzu wird eine allgemeine Koordinate  $\xi$  in  $x$ -Richtung ( $\xi = \bar{x}$ ) und  $\eta$  (siehe Definition in Abschnitt 3.)) verwandt.

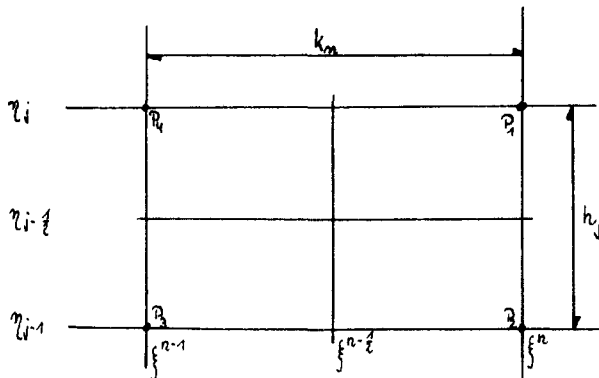


Abbildung 1.

Die Netzpunkte werden folgendemassen benannt:

$$\xi^0 = 0 ; \quad \xi^n = \xi^{n-1} + k_m \quad n = 1, 2, \dots, N \quad (14)$$

$$\eta^0 = 0 ; \quad \eta_j = \eta_{j-1} + h_j \quad j = 1, 2, \dots, J ; \quad \eta_J = \eta_\infty$$

Die Werte  $(f, u, v)$  an den Punkten  $(\xi^i, \eta_j)$  werden mit  $(f_j^i, u_j^i, v_j^i)$ , sogenannten Netzfunktionen, bezeichnet.

Die Zwischenpunkte werden durch

$$\xi^{n-\frac{1}{2}} = \frac{1}{2}(\xi^{n-1} + \xi^n) ; \quad \eta_{j-\frac{1}{2}} = \frac{1}{2}(\eta_j + \eta_{j+1})$$

dargestellt. Funktionswerte fuer alle Netzfunktionen an diesen Punkten sind

$$g_j^{n-\frac{1}{2}} = \frac{1}{2}(g_j^n + g_{j-1}^n) ; \quad g_{j-\frac{1}{2}}^{n-\frac{1}{2}} = \frac{1}{2}(g_j^n + g_{j-1}^n) \quad (15)$$

Das Gleichungssystem (13) wird nun durch finite Differenzen approximiert. Fuer die Gleichungen (13.1) und (13.2) lauten die Differenzengleichungen fuer die Netzpunkte  $(\xi^i, \eta_j)$

$$\frac{\xi_j^n - \xi_{j-1}^n}{h_j} = u_{j-\frac{1}{2}}^n \quad (16.1)$$

$$\frac{u_j^n - u_{j-1}^n}{h_j} = v_{j-\frac{1}{2}}^n \quad (16.2)$$

Die Gleichung (13.3) wird in zwei Schritten am Punkt  $(\xi^{n-\frac{1}{2}}, \eta_{j-\frac{1}{2}})$  approximiert. Die linke Seite von (13.3) wird mit  $L$  bezeichnet und so ergibt sich fuer  $(\xi^i, \eta_j)$ :

$$\frac{1}{2}(L^n + L^{n-1}) = \xi^{n-\frac{1}{2}} [u^{n-\frac{1}{2}}(u^n - u^{n-1})k_m^{-1} - v^{n-1}(f^n - f^{n-1})k_m^{-1}] \quad (16.3)$$

Diese Gleichung wird umgeschrieben in:

$$[(bv')^n + \alpha_1(fv)^n - \alpha_2(u^2)^n + \alpha(v^n f^n - f^n v^n) + R^{n-1}] \quad (16.3.1)$$

mit

$$\alpha = k_m^{-1} \xi^{n-\frac{1}{2}} ; \quad \alpha_1 = \frac{m^{n+1}}{2} \alpha ; \quad \alpha_2 = m^n + \alpha$$

$$R^{n-1} = -L^{n-1} + \alpha [(fv)^{n-1} \cdot (u^2)^{n-1}] \cdot m^n$$

$$L^{n-1} = [(bv')^n + \frac{m+1}{2} fv + m(1-u^2)]^{n-1}$$

Jetzt wird (16.3.1) am Punkt  $(\xi^n, \eta_{j-1}^n)$  berechnet.

$$h_j^{n-1}(b_j v_j^n - b_{j-1} v_{j-1}^n) + \alpha_1 (f v)_{j-1}^{n-1} - \alpha_2 (u^2)_{j-1}^{n-1} + \alpha (v_{j-1}^n f_{j-1}^n - v_j^n f_j^{n-1}) = R_{j-1}^{n-1} \quad (16.3.2)$$

$$\text{mit } R_{j-1}^{n-1} = -L_{j-1}^{n-1} + \alpha [(f v)_{j-1}^{n-1} - (u^2)_{j-1}^{n-1}] - m$$

$$\text{und } L_{j-1}^{n-1} = \left\{ -h_j^{n-1}(b_j v_j^n - b_{j-1} v_{j-1}^n) + \frac{m+1}{2} (f v)_{j-1}^{n-1} + m[1 - (u^2)_{j-1}^{n-1}] \right\}^{n-1}$$

Die Randbedingungen (13.4) ergeben sich bei  $\xi \cdot \xi^n$  jetzt zu:

$$4.1) \quad f_0^n = f_w(\xi) \quad ; \quad u_0^n = 0 \quad ; \quad u_j^n = 1 \quad (16.4)$$

Mit Hilfe des Newton-verfahrens, unter der Annahme, dass  $(f_j, u_j, v_j)^{n-1}$  bekannt sind, berechnet man das  $3 \times 3$  System fuer die Unbekannten  $(f_j, u_j, v_j)^n$  mit  $j = 0, 1, \dots, j$ . Das System hat dann folgendes Aussehen:  $(f_j, u_j, v_j)$  entspricht  $(f_j^n, u_j^n, v_j^n)$

$$f_j - f_{j-1} - \frac{h_j}{2} (u_j - u_{j-1}) = 0 \quad (17.1)$$

$$u_j - u_{j-1} - \frac{h_j}{2} (v_j - v_{j-1}) = 0 \quad (17.2)$$

$$h_j^{n-1}(b_j v_j^n - b_{j-1} v_{j-1}^n) + \alpha (f v)_{j-1}^{n-1} - \alpha_2 (u^2)_{j-1}^{n-1} + \alpha (v_{j-1}^n f_{j-1}^n - v_j^n f_j^{n-1}) = R_{j-1}^{n-1} \quad (17.3)$$

Zur Loesung werden Iterationsvariablen  $(f_j^{(i)}, u_j^{(i)}, v_j^{(i)})$ ,  $i = 0, 1, \dots, I_{\max}$  mit den Anfangswerten:

$$f_j^{(0)} = f_j(f_m) \quad ; \quad u_j^{(0)} = u_j^{n-1} \quad ; \quad v_j^{(0)} = v_j^{n-1} \quad 0 < j < j \quad (18)$$

$$u_0^{(0)} = 0 \quad ; \quad u_j^{(0)} = 1$$

eingefuehrt.

Die Variablen der naechsten Ordnung ergeben sich zu:

$$g_j^{(i+1)} = g_j^{(i)} + \sum_j g_j^{(i)} \quad , \quad g_j^{(i)} = (df_j, du_j, dv_j)^T$$

Einsetzen der rechten Seiten in das GLS (17) ergibt, unter Vernachlaessigung der quadratischen Terme:

$$\delta f_j + \delta f_{j-1} - \frac{h_j}{\xi} (\delta u_j + \delta u_{j-1}) = (r_1)_j \quad (19.1)$$

$$\delta u_j - \delta u_{j-1} - \frac{h_j}{\xi} (\delta v_j + \delta v_{j-1}) = (r_3)_j \quad (19.2)$$

$$(s_1)_j \delta v_j + (s_2)_j \delta v_{j-1} + (s_3)_j \delta f_j + (s_4)_j \delta f_{j-1} + (s_5)_j \delta u_j + (s_6)_j \delta u_{j-1} = (r_2)_j \quad (19.3)$$

$$(r_1)_j = \int_{j-1}^{n-1} f_j^{(i)} + h_j u_j^{(i)}$$

$$(r_3)_j = u_j^{(i)} - u_{j-1}^{(i)} + h_j v_{j-1}^{(i)}$$

$$(r_2)_j = R_{j-\frac{1}{2}}^{n-1} - [h_j^2 (b_j^{(i)} v_j^{(i)} - b_{j-1}^{(i)} v_{j-1}^{(i)}) + \alpha_1 (\int v_{j-\frac{1}{2}}^{(i)} - \alpha_2 (u_{j-\frac{1}{2}}^{(i)}) + \alpha (\int_{j-\frac{1}{2}}^{n-1} f_{j-\frac{1}{2}}^{(i)} - \int_{j-\frac{1}{2}}^{n-1} v_{j-\frac{1}{2}}^{(i)})]$$

$$(s_1)_j = h_j^2 (b_j^{(i)}) + \frac{\alpha_1}{2} \int_j^{n-1} f_{j-\frac{1}{2}}^{(i)} - \frac{\alpha}{2} \int_{j-\frac{1}{2}}^{n-1}$$

$$(s_2)_j = -h_j^2 (b_{j-1}^{(i)}) + \frac{\alpha_1}{2} \int_{j-1}^{n-1} f_{j-\frac{1}{2}}^{(i)} - \frac{\alpha}{2} \int_{j-\frac{1}{2}}^{n-1}$$

$$(s_3)_j = \frac{\alpha_1}{2} v_j^{(i)} + \frac{\alpha}{2} v_{j-\frac{1}{2}}^{n-1}$$

$$(s_4)_j = \frac{\alpha_1}{2} v_{j-1}^{(i)} + \frac{\alpha}{2} v_{j-\frac{1}{2}}^{n-1}$$

$$(s_5)_j = -\alpha_2 u_j^{(i)}$$

$$(s_6)_j = -\alpha_2 u_{j-1}^{(i)}$$

Die Randbedingungen (16.4) werden zu:

$$\delta f_0 = 0 \quad (19.4)$$

$$\delta u_0 = 0$$

$$\delta u_j = 0$$

4.2)

Die Lösung des linearisierten Differenzengleichungssystems (19), dass eine Blocktridiagonalstruktur hat, erfolgt mit Hilfe der Blockeliminations Methode. Die Vektoren  $\delta_j^0$ ,  $\tau_j^0$  sind durch

$$\delta_j^0 = \begin{pmatrix} \delta_{fj}^0 \\ \delta_{uj}^0 \\ \delta_{vj}^0 \end{pmatrix} \quad 0 \leq j \leq J \quad (20.1)$$

$$n_0 = \begin{pmatrix} 0 \\ 0 \\ (\tau_3)_0 \end{pmatrix}; \quad \tau_j^0 = \begin{pmatrix} (\tau_1)_j \\ (\tau_2)_j \\ (\tau_3)_j \end{pmatrix} \quad 1 \leq j \leq J-1; \quad \tau_J^0 = \begin{pmatrix} (\tau_1)_J \\ (\tau_2)_J \\ 0 \end{pmatrix}$$

definiert.

Die  $3 \times 3$  Matritzen  $A_j$ ,  $B_j$ ,  $C_j$  sind durch

$$A_0 = \begin{pmatrix} 1 & 0 & 0 \\ 0 & 1 & 0 \\ 0 & -1 & -\frac{h_1}{2} \end{pmatrix}; \quad A_j = \begin{pmatrix} 1 & -\frac{h_1}{2} & 0 \\ (\delta_3)_j & (\delta_5)_j & (\delta_1)_j \\ 0 & -1 & \frac{h_1}{2} \end{pmatrix}, \quad 1 \leq j \leq J-1 \quad (20.2)$$

$$B_j = \begin{pmatrix} 1 & -\frac{h_1}{2} & 0 \\ (\delta_3)_j & (\delta_5)_j & (\delta_1)_j \\ 0 & -1 & 0 \end{pmatrix}; \quad B_j = \begin{pmatrix} -1 & -\frac{h_1}{2} & 0 \\ (\delta_4)_j & (\delta_6)_j & (\delta_2)_j \\ 0 & 0 & 0 \end{pmatrix}, \quad 1 \leq j \leq J$$

$$C_j = \begin{pmatrix} 0 & 0 & 0 \\ 0 & 0 & 0 \\ 0 & -1 & -\frac{h_1}{2} \end{pmatrix}, \quad 0 \leq j \leq J-1$$

definiert.

Das Gleichungssystem (19) kann nun folgendermassen geschrieben werden:

$$K \cdot f = g \quad (20.3)$$

mit

$$K = \begin{pmatrix} A_0 & C_0 \\ B_1 & A_1 & C_1' \\ \vdots & \vdots & \vdots \\ B_j & A_j & C_j' \\ \vdots & \vdots & \vdots \\ B_{j-1} & A_{j-1} & C_{j-1}' \\ B_j & A_j & C_j' \end{pmatrix} \quad (20.3.1)$$

und

$$f = \begin{pmatrix} f_0 \\ f_1 \\ \vdots \\ f_{j-1} \\ f_j \end{pmatrix} \quad g = \begin{pmatrix} t_0 \\ t_1 \\ \vdots \\ t_{j-1} \\ t_j \end{pmatrix} \quad (20.3.2)$$

Diese Matrizengleichung wird mit Hilfe der Blockelimination, die hier nicht naeher beschrieben werden soll, gelöst. Ausfuehrliche Hinweise siehe in der angegebenen Literatur.

## 5.) Behandlung der Turbulenz

In diesem Abschnitt wird die bisher vernachlässigte Turbulenz mit Hilfe des Wirbelzähigkeitskonzeptes in die Grenzschichtgleichungen eingeführt.

Die Reynoldsspannungen werden mit Hilfe der Wirbelzähigkeit

$$\rho \overline{u'v'} = \epsilon_m \cdot \frac{\partial u}{\partial y}$$

modelliert nach einem Vorschlag von Driest.

In transformierten Variablen lauten die Formeln:

$$(\epsilon_m^+)_{\bar{x}} = \frac{\epsilon^2}{\pi} Re_x^{\frac{1}{4}} [1 - \exp(-\frac{y}{\eta})]^2 \eta^{\frac{1}{2}} \nu f_w \quad (21.1)$$

$$(\epsilon_m^+)_{\bar{y}} = 0.0168 Re_x^{\frac{1}{4}} [\eta_\infty - f(\eta_\infty)] f_w \quad (21.2)$$

$$\begin{aligned} (\epsilon_m^+) &= \frac{\epsilon_m}{\pi} \\ \frac{y}{\eta} &= \frac{N}{26} Re_x^{\frac{1}{4}} u_w^{\frac{1}{2}} \eta \\ N &= (1 - M. 8 p^+)^{\frac{1}{2}} \\ p^+ &= m Re_x^{-\frac{1}{4}} (u_w)^{-\frac{3}{2}} \\ f_w &= 1 - \exp \left[ 6.35 \cdot 10^{-4} \left( \frac{u_e^3}{\pi^2} \right) Re_x^{-1.34} \int_{x_0}^x \frac{dx}{u_e} \right] \end{aligned}$$

5.1)

Mit Hilfe der jetzt eingeführten Wirbelzähigkeit ergibt sich die Gleichung (11) zu:

$$(b f'')' + \frac{m+1}{2} ff'' + m [1 - (f')^2] = \bar{x} (f' f'_{,x} - f f''_{,x}) \quad (22)$$

mit

$$b = (1 + t)^{\frac{2k}{2k}} (1 + \epsilon_m^+) \quad ; \quad \epsilon_m^+ = \frac{\epsilon_m}{\pi}$$

## 6.) Netzstruktur

In dem, im Programm GS2D verwandten Netz, wird eine, vom Benutzer 'willkuerlich' vorgegebene Unterteilung in x-Richtung und eine spezielle  $\gamma$  Unterteilung verwandt. Die Netzaabstaende vergroessern sich geometrisch nach aussen, unter der Bedingung, dass das Verhaeltnis zweier, aufeinander folgender Intervallaengen konstant ist, also  $h_j = k h_{j-1}$ . Der Abstand zum  $j$ -ten Punkt ist durch

$$\eta_j = h_1 \frac{k^{j-1}}{k-1} ; j = 1, 2, \dots, J ; k \geq 1$$

gegeben.  $h_1$  ist die erste Schrittweite,  $k$  das Schrittweitenverhaeltnis. Die Gesamtzahl der Punkte in  $\gamma$ -Richtung,  $J$  kann durch

$$J = \frac{\ln [1 + (k-1)(\frac{\eta_0}{h_1})]}{\ln (k)}$$

berechnet werden.  $h_1$  und  $k$  sind vom Benutzer zu waehlen,  $\eta_0$  wird programmintern gesetzt.

## II. Programmbeschreibung

### 1. Allgemeines

Das Programm GS2D dient der Berechnung ebener oder rotationssymmetrischer Grenzschichten in laminarer oder turbulenter Stromung. Die Grundlagen des benutzten Differenzenverfahrens wurden im vorangehenden Abschnitt erläutert. Ausführlichere Beschreibungen finden sich in [1] und [2].

Um die Eingabe zu erleichtern, bzw. die Ausgabe übersichtlicher zu gestalten, können die Hilfsprogramme GSDG und GSPLLOT benutzt werden.

Das Datengenerierungsprogramm GSDG ermöglicht es, interaktiv eine Eingabedatei für GS2D zu erzeugen. Es können außerdem zusätzliche Eingabedaten interpoliert werden.

Im Plotprogramm GSPLLOT wird eine Datei mit Plotinformationen erzeugt, um Ausgabedaten graphisch darzustellen.

Alle Programme wurden in FORTRAN77 erstellt.

### 2. Beschreibung der einzelnen Programme

#### 2.1 GS2D

##### 2.1.1 Programmstruktur

Das Programm GS2D besteht aus Hauptprogramm und den Unterprogrammen

INPUT, GRID, IVPL, EDDY, CMOM, SOLV3, GROWTH, OUTPUT, TRANSC sowie TRANSX.

Das Hauptprogramm steuert den Ablauf der Aufrufe und überprüft nach jeder Blockiteration die Konvergenz. Konvergenzkriterium ist die Ableitung der x-Geschwindigkeit  $u_\eta = (\frac{\partial u}{\partial \eta})_{\eta=0}$  auf der Körperkontur. Außerdem wird überprüft, ob das generierte Netz noch für die berechnete Grenzschicht ausreicht. Kriterium ist hier, dass  $\frac{\partial u}{\partial \eta}$  am obersten Netzpunkt ausreichend klein ist.

Das Unterprogramm INPUT liest die Daten aus einer Datei mit der logischen Nummer 5 ein und berechnet, sofern  $m^*$  kein Eingabewert ist, den dimensionslosen Druckgradienten  $m$ .

Das Unterprogramm GRID erzeugt eine Reihe von Punkten in  $\eta$ -Richtung. Der Abstand der Punkte ist veränderlich, mit grösseren Abständen bei wachsender  $\eta$ -Koordinate. Die Punktgenerierung wird über die Eingabeparameter VGP und DETA(1) gesteuert, auf die im Abschnitt Eingabe noch näher eingegangen wird.

Im Unterprogramm IVPL (initial velocity profile) wird das erste Grenzschichtprofil in Form eines Polynoms 3.Grades erzeugt, das die Ausgangswerte fuer die erste Iteration liefert.

Die Routine EDDY (Wirbelzaehigkeit) wird aufgerufen, sobald der vom Benutzer einzugebende Umschlagspunkt erreicht worden ist. Zur Berechnung des in der Grenzschichtgleichung die Turbulenz beschreibenden Terms  $B(i,j)$  dienen die im ersten Abschnitt vorgestellten empirischen Beziehungen. Bei turbulenter Abloesung ( $d.h.(\frac{\partial u}{\partial y})_{y=0} \leq 0$ ) wird der Programmablauf ordnungsgemaess abgebrochen, da das benutzte Turbulenzkonzept keine negativen Geschwindigkeiten erlaubt.

Die Koeffizienten der Differenzengleichungen 19.1 bis 19.3 werden im Unterprogramm CMOM berechnet und an die Routine SOLV3 uebergeben, die die Blockiteration nach Keller ausfuehrt.

Die Routine GROWTH erzeugt zusaetzliche Punkte in  $\gamma$ -Richtung, falls das vorhandene Netz nicht mehr ausreichen sollte.

Im Unterprogramm OUTPUT werden die integralen Grenzschichtparameter berechnet. Die Ausgabeliste wird in eine Datei mit der logischen Nummer 6 geschrieben, die Eingabedatei fuer das Plotprogramm hat die logische Nummer 7.

Die Routinen TANSC und TRANSX berechnen im rotationssymmetrischen Fall den Querkruemmungsparameter  $T(j,NX)$  sowie die nach Mangler [10] transformierte Bogenlaenge  $\bar{x}$ .

### 2.1.2 Eingabe(ohne Benutzung von GSDG)

Die erste Zeile der Eingabedatei muss die sechs Variablen NXT, NTR, NP2, DETA(1), VGP und CNU enthalten.

NXT = Anzahl der x-Stationen, maximal 61.  
NTR = x-Station des Umschlagspunktes laminar, turbulent.  
NP2 = Kennzahl fuer die Eingabe des Druckgradienten. Bei NP2=1 wird der Druckgradient berechnet, bei NP2=2 eingelesen.

DETA(1) = Schrittweite des ersten  $\Delta\gamma$  Schrittes.  
VGP = Netzparameter, der das Verhaeltnis zweier aufeinanderfolgender  $\Delta\gamma$  Schritte festlegt.  
CNU = kinematische Zaehigkeit  $\nu$ .

Aus der zweiten Zeile wird die von Karmansche Variable KAPPA eingelesen. Bei KAPPA<0.39 bzw. >0.41 wird 0.4 gesetzt. In der naechsten Zeile steht eine 0 im ebenen, bzw. eine 1 im rotationssymmetrischen Fall.

In den Zeilen 4 bis NXT+3 stehen die Variablen X,UE,P2 und RRO.

X = Abstand vom Startpunkt als Bogenlaenge.  
UE = Aussengeschwindigkeit.  
P2 = Dimensionsloser Druckgradient m . Bei NP2=1 muss P2 an der ersten Station den Wert 1.0 haben, die weitere Eingabe ist beliebig.  
RRO = Abstand des jeweiligen Punktes von der Koerperachse. ( aeq. y(x) im ebenen Fall)

Die letzte Zeile enthaelt die Variable XL = Gesamtlaenge (Sehne).

### 2.1.3 Hinweise fuer die Eingabe

#### 2.1.3.1 Netzeinteilung in x-Richtung und Umschlagspunkt

Die maximale Anzahl Punkte in x-Richtung betraegt 61. Eine Erhoehung dieser Zahl ergab bei Testlaeufen keine Verbesserung der Ergebnisse. Die Unterteilung sollte grundsaezlich so gewaehlt werden, dass in Gebieten mit grossem Geschwindigkeitsgradienten mehr Punkte vorhanden sind. Der Umschlagspunkt darf fruehestens bei NXT=3 liegen. Soll die Stroemung von Anfang an voll turbulent sein, wird empfohlen, die ersten 3 Punkte dicht nebeneinander zu legen.

#### 2.1.3.2 Netzeinteilung in $\gamma$ -Richtung

Die Netzeinteilung in  $\gamma$ -Richtung ist variabel und kann durch die Wahl von VGP und DETA(1) beeinflusst werden. Fuer rein laminare Stroemungen genuegt ein groeberes Netz mit, z.B. VGP = 1.0 (d.h. alle  $\Delta\gamma$  Schritte sind gleich gross) und DETA(1) = 0.15.

Fuer gemischte oder turbulente Stroemungen ist ein Netz mit VGP = 1.14 und DETA(1) = 0.01 nach unseren Erfahrungen ausreichend. Die Anzahl der  $\gamma$ -Punkte betraegt dann etwa 50. Da maximal 300 Punkte erlaubt sind, kann das Netz ggf. durch verkleinern der Parameter verfeinert werden. Der Einfluss auf die ohnehin sehr kurze Rechenzeit des Programms ist gering. Im Anhang findet sich ein Beispiel fuer einen Testlauf mit unterschiedlichen Netzeinteilungen.

### 2.1.4 Ausgabe

Die Laengenkoordinate an jedem Punkt wird als Bogen- und als Sehnenlaenge ausgegeben. Die oertliche Reynoldszahl bezieht sich auf die Bogenlaenge; des weiteren werden an jedem vierten Punkt in Normalenrichtung die Punktnummer, die  $\gamma$ -Koordinate, die dimensionsbehaftete y-Koordinate, die Werte von  $F, U = \frac{\partial F}{\partial \gamma}, V = \frac{\partial U}{\partial \gamma}$ , sowie der Wert des Terms B, der Turbulenzeinfluesse und, im rotationssymmetrischen Fall, den Einfluss der Querkruemmung enthaelt, ausgegeben.

Die integralen Grenzschichtparameter werden zum einem entsprechend ihrer Definition im ersten Abschnitt dieses Berichts und zum anderen bezogen auf die oertliche Reynoldszahl ausgegeben. Bei der Groesse d99 handelt es um die Grenzschichtdicke in physikalischen Koordinaten bei  $U = 0.99U_e$ .

## 2.2. GSDG

### 2.2.1 Moeglichkeiten des GSDG

#### 1) Interaktives erstellen einer Eingabedatei:

Saemtliche Daten werden im Dialogbetrieb erfragt und in eine Datei mit der logischen Nr.5 geschrieben, die vorher zugewiesen werden muss.

Die Laengenkoordinaten koennen als Bogen- oder Sehnenlaengen eingegeben und, ggf., in Bogenlaengen umgerechnet werden. Ausserdem koennen Daten fuer zusätzliche Punkte in Koerperrichtung interpoliert werden. Die Unterprogramme NUM1 und XXSPL stellen zur Interpolation einen kubischen Spline nach [3] zur Verfuegung.

#### 2) Aendern oder Erweitern einer vorhandenen Datei

Die Datei wird mit der logischen Nr.8 eingelesen. In dieser Datei koennen Wertetripel  $x$ ,  $U_e$  und  $RR0$  stehen;  $x$  entweder in Bogen- oder Sehnenlaenge,  $RR0$  immer abhaengig von der Sehnenkoordinate. Es ist nun moeglich Sehnen- in Bogenlaengen zu verwandeln und Zusatzpunkte zu interpolieren.

## 2.3 GS PLOT

### 2.3.1 Moeglichkeiten des GS PLOT:

Im Hauptprogramm werden Ausgabedaten des GS2D eingelesen, sowie Steuerwerte im Dialog erfragt. Es koennen folgende Plots erzeugt werden:

1) Der Verlauf der integralen Grenzschichtparameter  $c_f$ ,  $\delta^*$  und  $\theta$  ueber der Koerperlaenge. Die Kurven werden mit der unter 2.2.1 erwähnten Splineroutine erzeugt.

2) Geschwindigkeitsprofile auf oder ueber der Koerperkontur. Beginnend bei  $NXT=3$  wird jedes fuenfte Profil geplottet.

3) Geschwindigkeitsprofile an max. 5 x-Stationen, wobei U wahlweise gegen  $\gamma$  oder y-Koordinaten geplottet wird. Auf einem Bild erscheint jeweils das Profil an der gewuenschten Station, sowie das vorangehende und das folgende Profil.

Die Plotausgabe kann auf dem Bildschirm eines Graphikterminals oder auf einem Plotter erfolgen.

### III

#### Zusammenfassung der Berechnungsergebnisse

##### 1. Allgemeine Erfahrungen

Als Fortsetzungsverfahren benoetigt das GS2D Informationen ueber die Form des ersten Grenzschichtprofils. Gute Berechnungsergebnisse an den ersten x-Stationen kann man daher nur bei Grenzschichten erwarten, deren Eintrittsprofil dem im IVPL generierten Profil aehnlich ist.

Da das IVPL eine verhaeltnismaessig duenne Grenzschicht liefert, ergeben sich besonders dann schlechte Uebereinstimmungen mit Messergebnissen, wenn die zu berechnende Grenzschichtdicke schon am Anfang "gross" ist (siehe Bsp. 2.6).

Eine zweite Schwaeche zeigte sich bei turbulenten Grenzschichten mit Druckanstieg. Das Programm ist nicht in der Lage, einen stark abfallenden, gegen einen Abloesungspunkt strebenden  $\zeta_f$ -Verlauf korrekt wiederzugeben.

Der in der Programmbeschreibung erwahnte Fall der turbulenten Abloesung duerfte daher gar nicht, oder nur sehr selten auftreten.

Sobald genuegend Erfahrungen vorliegen, ist eine Programmversion geplant, die es ermoeglicht, sowohl auf die Form des Initialprofils Einfluss zu nehmen, als auch ein anderes Turbulenzkonzept zu verwenden.

##### 2. Berechnungsbeispiele

###### 2.1 Cebeci Beispiel 1

Es handelt sich um ein NACA0012 Profil bei  $Re = 10^6$ . Der Umschlagspunkt liegt bei  $x=0.2XL$ . Die Plots zeigen die Verlaeufe der integralen Parameter (vergl. [1] S.271), die Entwicklung der Profilform ueber der Koerperkontur, sowie Geschwindigkeitsprofile im laminaren und turbulenten Bereich. (siehe Anhang Bild bis ).

###### 2.2 Cebeci Beispiel 2

Eine durch  $\frac{u}{U_\infty} \cdot 1 - \frac{x}{L}$  analytisch gegebene Geschwindigkeitsverteilung fuehrt zu einer rein laminar angenommenen Stroemung mit positivem Druckgradienten. Dieses Beispiel diente der Ueberpruefung der numerischen Uebereinstimmung mit der Originalversion (vergl. [1] S.269). Die Plots zeigen u.a. typische Laminarprofile mit beginnender Abloesungstendenz.

###### 2.3 Die laminare Plattengrenzschicht ohne Druckgradient nach Prandtl und Blasius

Die sehr gute Uebereinstimmung der Ergebnisse mit der analytischen Aehnlichkeitsloesung zeigt die Gegenueberstellung einer Tabelle aus [6] und der Ergebnisse des

GS2D. Da die Definition der Normalenkoordinate in beiden Faellen uebereinstimmt und die Ergebnisse von  $x$  unabhaengig sind, ist ein direkter Vergleich moeglich. Den Funktionen  $f$ ,  $f'$  und  $f''$  aus [6] entsprechen F, U und V. Ein Plot zeigt Laminarprofile mit stabileren Formen als in Beisp. 2.2.

Die folgenden Beispiele 2.4 bis 2.6 stammen aus den fuer die Stanford Konferenz 1968 [4] ausgewahlten Messungen.

#### 2.4 Die turbulente Plattengrenzschicht nach Wieghardt

Die Messungen wurden an einer 5m langen Platte bei einer Anstroemgeschwindigkeit von 33 m/s durchgefuehrt. Bei diesem Beispiel wurden drei Berechnungslaeufe vorgenommen, um die Unabhaengigkeit der Ergebnisse von der Netzteilung zu zeigen. Ein Lauf mit 25 x-Stationen und 37  $\eta$ -Punkten bei  $x=0$ , ein Lauf mit doppelter Punktzahl in x-Richtung und ein Lauf mit 25 x-Stationen, aber 109  $\eta$ -Punkten am Startpunkt. Auszuege aus den Ausgabelisten stehen auf Seite 47 bis 50. In die geplotteten Bilder wurden Messergebnisse eingezeichnet, wobei die Uebereinstimmung zwischen Berechnung und Messung wird mit zunehmender Laenge immer besser wird und unabhaengig von den verschiedenen Netzen ist.

#### 2.5 Turbulente Grenzschicht nach Klebanoff und Schubauer

Eine Messung auf einem Tragfluegel bei einer Anstroehmgeschwindigkeit von 46.2 m/s und zuerst leicht negativem, dann stark positivem Druckgradienten. Es wurden 38 Stationen gemessen. Berechnungen und Messungen stimmen, wie schon erwahnt, in der Naehe des Abloesungspunktes schlecht ueberein, die in die Plots eingezeichneten Messpunkte zeigen groessere Abweichungen im letzten Drittel des Koerpers.

#### 2.6 Schubauer und Spangenberg Flow B

Dieses Beispiel, eine turbulente Stroemung mit positivem Druckgradienten bei einer Reynoldszahl von  $6.77 \cdot 10^6$ , zeigt wegen der beschriebenen Maengel des IVPL eine schlechte Uebereinstimmung mit den Messungen. Die Tabelle auf Seite 56 stellt berechnete und gemessene Grenzschichtdicken gegenueber, die geplotteten Geschwindigkeitsprofile zeigen dagegen die gleiche Tendenz wie die Gemessenen (vergl. [4])

Nun folgen zwei Beispiele fuer die Berechnung rotations-symmetrischer Grenzschichten.

#### 2.7 Modellmessung Luftschiff "Akron"

Diese Grenzschichtmessungen (9 Profile) wurden einem 5.6m langem Modell eines Luftschiffes bei einer Anstroehmgeschwindigkeit von 40. m/s vorgenommen, die Stroemung war voll turbulent. Die Plots zeigen gute Uebereinstimmung mit den Messungen bei den Geschwindigkeitsprofilen, Messwerte fuer die Integralen Parameter wurden in [7] nicht veroeffentlicht.

### 2.8 Lyon's Modell A

Hierbei handelt es sich um Messungen am Modell eines luftschiffähnlichen Körpers, bei einer Geschwindigkeit von 393m/s. Der Umschlagspunkt liegt bei dieser Strömung auf halber Körperlänge. Die Versuchsbeschreibung und Ergebnisse (Geschwindigkeitsprofile) sind in [8] und [9] veröffentlicht. Die Berechnungen stimmen insbesondere im turbulenten Teil der Strömung gut mit den Messungen überein, der CF-Verlauf zeigt die Charakteristik einer gemischten Strömung (vergl. Beisp. 2.1).

IV

Literatur:

- [1] T.Cebeci,P.Bradshaw "Momentum Transfer in Boundary Layers", 1977 Hemisphere Publishing Corp., Mc Graw Hill Book Company New York usw.
- [2] H.B.Keller "Accurate Difference Method for Two-Point Boundary-Value Problems", SIAM Journal of Numerical Analysis, Vol. 11, 1974
- [3] H.Spaeth "Spline Algorithmen", R. Oldenbourg Verlag, 1978
- [4] "Proceedings of the AFOSR-IFP-Stanford Conference 1968", Thermosciences Division, Department of Mech. Engineering, Stanford University, California
- [5] K.Wieghardt "Theoretische Stroemungslehre", Teubner Verlag Stuttgart, 1974
- [6] H.Schlichting "Grenzschichttheorie"  
Verlag G.Braun, Karlsruhe 1965
- [7] Hugh B. Freeman "Measurements of Flow in the Boundary-Layer of a 1/40-Scale Model of the U.S. Airship Akron", NACA Report No.430, 1932
- [8] Hilda M. Lyon "Effect of Turbulence on Drag of Airship Models", Aeronautical Research Committee Reports No.1511, 1932
- [9] Hilda M. Lyon "A Study of the Flow in the Boundary Layer of Streamline Bodies", Aeronautical Research Committee Reports No.1622, 1934
- [10] W. Mangler "Zusammenhang zwischen ebenen und rotationssymmetrischen Grenzschichten in kompressiblen Fluessigkeiten", in ZAMM 28, 1948.

V

## Programmlisten

```
C Program GSDG.FOR
C Das Program dient der Datensenerierung fuer das
C Program GS2D.FOR.
C
C von: Andreas Achner und Jochen Marzi
C
C 18.11.1983
C
C DIMENSION X(100),UE(100),RRO(100),XI(200),UEI(200),
1      RROI(200),P2(200),P2I(200),XSEHNE(100)
CHARACTER JANE*2
C
C
C WRITE(*,5)27,27,12,27,27
PRINT*, 'Wollen Sie eine Eingabedatei interaktiv erstellen ? '
PRINT*, '<JA/NE>'
READ(*,2) JANE
IF(JANE.EQ.'NE' .OR. JANE.EQ.'ne') GOTO1000
PRINT*, ''
PRINT*, 'Eingabe der Anzahl der Wertepaare:'
READ*,N
PRINT*, ''
PRINT*, 'Geben Sie x als Bogenlaenge ein ? <JA/NE> '
READ(*,2) JANE
IF(JANE.EQ.'NE' .OR. JANE.EQ.'ne') THEN
  PRINT*, ''
  PRINT*, 'Im folgenden muessen Wertetripel X,UE,R0 eingesgeben werden.'
  PRINT*, 'entweder absolut oder bezogen auf die Koerperlaenge (X,R0)'
  PRINT*, 'und auf die Anstroemungsgeschwindigkeit.'
  PRINT*, ''
  PRINT*, 'Haben Sie fuer die Wertetripel eine Eingabedatei ?'
  PRINT*, 'E FOR008 I ! <JA/NE>'
READ(*,2) JANE
IF(JANE.EQ.'JA' .OR. JANE.EQ.'ja') THEN
  READ(8,*) (XSEHNE(I),UE(I),RRO(I),I=1,N)
ELSE
  DO 100 I=1,N
    WRITE(*,1)I,I,I
    READ*,XSEHNE(I),UE(I),RRO(I)
100  CONTINUE
END IF
PRINT*, ''
PRINT*, 'Eingabe der Koerperlaenge (Sehne) :'
READ*,XL
C
C
PRINT*, ''
PRINT*, 'Sind die Eingabedaten auf L und Uo bezogen?'
PRINT*, '<JA/NE>'
READ(*,2)JANE
IF(JANE.EQ.'JA' .OR. JANE.EQ.'ja') THEN
  PRINT*, ''
  PRINT*, 'Eingabe der Anstroemgeschwindigkeit!'
  READ*,UO
```

```
DO 101 I=1,N
      XSEHNE(I) = XSEHNE(I)*XL
      RRO(I)    = RRO(I)*XL
      UE(I)     = UE(I)*U0
101   CONTINUE
      END IF
      X(1) = XSEHNE(1)
      DO 102 I=2,N
          DXS = XSEHNE(I)-XSEHNE(I-1)
          DR  = RRO(I)-RRO(I-1)
          DX  = SQRT(DXS**2+DR**2)
          X(I)= X(I-1)+DX
102   CONTINUE
      ELSE
          PRINT*, ''
          PRINT*, 'Haben Sie fuer die Wertetripel eine Eingabedatei ?'
          PRINT*, '[ FOR008 ] ! <JA/NE>'
          READ(*,2) JANE
          IF(JANE.EQ.'JA' .OR. JANE.EQ.'Ja') THEN
              READ(8,*) (X(I),UE(I),RRO(I),I=1,N)
          ELSE
              PRINT*, 'Im folgenden muessen Wertetripel S[m], UE[m/s]'
              PRINT*, 'und Ro(x) [] eingesgeben werden.'
              DO 103 I=1,N
                  WRITE(*,1)I,I,I
                  READ*,X(I),UE(I),RRO(I)
103   CONTINUE
          END IF
      END IF
C
C
      PRINT*, ''
      PRINT*, 'Soll der Druckgradientenparameter berechnet werden?'
      PRINT*, 'Geben Sie : 1 fuer berechnen'
      PRINT*, '           2 fuer Eingabe'
      READ*,NP2
      IF(NP2.EQ.2) THEN
          DO 200 I=1,N
              WRITE(*,3) I
              READ*,P2(I)
200   CONTINUE
      ELSE
          P2(1) = 1.
          DO 202 I=2,N
              P2(I) = 0.
202   CONTINUE
      END IF
      PRINT*, ''
      PRINT*, 'Sollen Werte interpoliert werden ? <JA/NE> '
      READ(*,2) JANE
      IF(JANE.EQ.'JA' .OR. JANE.EQ.'Ja') THEN
          PRINT*, ''
          PRINT*, 'Wollen Sie eine bestimmte Anzahl von Werten'
          PRINT*, 'interpolieren ? <JA/NE>'
          PRINT*, 'Bei NE wird jeweils ein Zwischenpunkt interpoliert'
```

```
READ(*,2) JANE
IF(JANE.EQ.'JA' .OR. JANE.EQ.'Ja') THEN
    PRINT*, ''
    PRINT*, 'Wieviele Werte sollen zwischen 2 Einsatzerpunkten'
    PRINT*, 'lesen ?'
    READ*,MM
    MM = MM+1
ELSE
    MM = 2
END IF
C
C      Jetzt werden die interpolierten werte erzeugt.
C
CALL NUM1(N,X,UE,MM,XI,UEI,M1)
CALL NUM1(N,X,RRO,MM,XI,RROI,M1)
CALL NUM1(N,X,P2,MM,XI,P2I,M1)
ELSE
    M1 = N
    DO 201 I=1,M1
        XI(I) = X(I)
        UEI(I) = UE(I)
        RROI(I) = RRO(I)
        P2I(I) = P2(I)
201    CONTINUE
END IF
C
PRINT*, ''
PRINT*, 'Geben Sie die von Karmansche Variable KAPPA ein.'
PRINT*, 'Bei KAPPA < 0,39 oder > 0,41 wird 0,4 gesetzt.'
READ*,AKAPPA
C
PRINT*, ''
PRINT*, 'Handelt es sich um einen ebenen oder einen rotations-'
PRINT*, 'symmetrischen Koerper ?'
PRINT*, 'geben Sie bitte : 0 => eben'
PRINT*, '                                1 => rotationssymmetrisch'
READ*,KERE
C
PRINT*, ''
WRITE(*,4) M1
PRINT*, ''
PRINT*, 'Wo soll der Umschlasspunkt lesen ? [ x-Station im '
PRINT*, 'interpolierten System ]'
READ*,NTR
PRINT*, ''
PRINT*, 'Geben sie jetzt die Netzparameter VGP und DETA(1) ein'
READ*,VGP,DETA
PRINT*, ''
PRINT*, 'Geben Sie die kinematische Zahigkeit ein.'
READ*,CNU
C
WRITE(5,8) M1,NTR,NP2,DETA,VGP,CNU
WRITE(5,9) AKAPPA
WRITE(5,11) KERE
WRITE(5,6) (XI(I),UEI(I),P2I(I),RROI(I),I=1,M1)
```

```
      WRITE(5,10) XL
C
1  FORMAT(2X,'X('',I2,'') , UE('',I2,'') und R0('',I2,'') eingeben:')
2  FORMAT(A2)
3  FORMAT(2X,'F2('',I2,'') EINGEBEN')
4  FORMAT(2X,'Es sind jetzt Werte fuer',I2,' Stationen vorhanden.')
5  FORMAT(1X,A1,'1',3A1,'2',A1,'[2J')
6  FORMAT(4E14.6)
8  FORMAT(2X,3I3,2F14.8,E14.6)
9  FORMAT(2X,F8.5)
10 FORMAT(2X,F14.8)
11 FORMAT(2X,I2)
1000 END
C
```

```
C PROGRAM GS2D.FOR
C LOESUNG DER GS-GLEICHUNG
C VERFAHREN NACH CEBECKI
C
C von: Andreas Achner und Jochen Marzi
C
C Version vom 18.11.1983
C rotationssymmetrisch und eben
C
COMMON/BLCO/ NF,NX,NXT,NTR,NFLOW,ETAE,VGP,CNU,DETA(300),A(300),
1           ETA(300)
COMMON/BLCC/ X(60),UE(60),P1(60),P2(60),CEL(60),RX(60),CF(60),
1           P1P,P2P,RTHETA(60),RR0(60),PHI(60),XL,KENNZ,AKAPPA,
2           K,S(60),RXS(60),XSEHNE(60),DEL99(60)
COMMON/BLCP/ DELV(300),F(300,2),U(300,2),V(300,2),B(300,2),
1           T(300)
C
C
C PRINT*,'
PRINT*, 'Quellen und Senken koennen versehn,' 
PRINT*, 'aber die Grenzschichten bleiben bestehn.'
PRINT*,'
KENNZ = 0
ITMAX = 10
CEL(1) = 0.0
NX = 1
CALL INPUT
WRITE(7,*),NXT
WRITE(7,*),X(1),RR0(1),PHI(1)
CALL GRID
CALL IVPL
C
C
C
25   WRITE(6,999)
      WRITE(6,1000),NX,S(NX),XSEHNE(NX)
      RX(NX) = UE(NX)*X(NX)/CNU
      WRITE(6,1001),RX(NX),UE(NX)
      IF(NX.GT.1) CEL(NX) = .5*(X(NX)+X(NX-1))/(X(NX)-X(NX-1))
      IT = 0
      P1P = P1(NX)+CEL(NX)
      P2P = P2(NX)+CEL(NX)
      IF(NX.GT.1) THEN
        IF(K.EQ.1) THEN
          CALL TRANSC
          DO 13 J=1,NP
            B(J,2) = ((1.+T(J))**2)
13      CONTINUE
        END IF
      END IF
      IF(NX.LT.NTR) GOTO 60
      CALL EDDY
60      IT = IT+1
      IF(IT.LE.ITMAX) GOTO 70
```

```
        /
        WRITE(6,2000)
        GOTO 90

C
C
70    CALL CMOM
        CALL SOLV3

C
C
KONVERGENZ
61    IF(NX.GE.NTR) GOTO 62
C
LAMINAR
IF(ABS(DELV(1)).GT.1.E-05) GOTO 60
GOTO 75
C
TURBULENT
62    IF(ABS(DELV(1)/(V(1,2)+.5*DELV(1))).GT..02) GOTO 60
C
62    IF(ABS(DELV(1)).GT.1.E-05) GOTO 60
C
ANWACHSEN
75    IF(NX.EQ.1) GOTO 90
        IF(NP.EQ.300) GOTO 90
        IF(ABS(V(NP,2)).LE.1.0E-03) GOTO 90
        CALL GROWTH
        IT = 0
        GOTO 60
90    CALL OUTPUT
        GOTO 25

C
C
999   FORMAT('-----')
      1-----')
1000   FORMAT(/5X,'NX      = ',I3,16X,'S      = ',F10.3,4X,
      1      'X-Sehne = ',F10.3)
1001   FORMAT(/5X,'Re(x) = ',E14.6,5X,'Ue(x) = ',F10.4)
2000   FORMAT(/5X,'Iterationsanzahl GT ITMAX')
      END

C
C
SUBROUTINE INPUT
COMMON/BLC0/ NF,NX,NXT,NTR,NFLOW,ETAET,VGF,CNU,DETA(300),A(300),
      1      ETA(300)
COMMON/BLCC/ X(60),UE(60),P1(60),P2(60),CEL(60),RX(60),CF(60),
      1      P1P,P2P,RTHETA(60),RRO(60),PHI(60),XL,KENNZ,AKAPPA,
      2      K,S(60),RXS(60),XSEHNE(60),DEL99(60)

C
C
READ(5,*) NXT,NTR,NP2,DETA(1),VGP,CNU
READ(5,*) AKAPPA
READ(5,*) K
READ(5,*) (S(I),UE(I),P2(I),RRO(I),I=1,NXT)
READ(5,*) XL
DO 10 I=1,NXT
      X(I)=S(I)
10    CONTINUE
      XSEHNE(1) = S(1)
```

```

DO 20 I=2,NXT
      DS      = S(I)-S(I-1)
      DR      = RRO(I)-RRO(I-1)
      DXS     = SQRT(ABS(DS**2-DR**2))
      XSEHNE(I) = XSEHNE(I-1)+DXS
20   CONTINUE
      IF(K.EQ.1) CALL TRANSX
      IF(K.EQ.0) THEN
         ETAE = 8.0
      ELSE
         ETAE = 16.0
      END IF
      WRITE(6,5000) NXT,NTR,NP2,ETAE,DETA(1),VGP,CNU
C
C      Steigungswinkel
C
      DX0      = XSEHNE(2)-XSEHNE(1)
      DRO      = (RRO(2)-RRO(1))/DX0
      PHI(1)   = ATAN(DRO)
      DXN      = XSEHNE(NXT)-XSEHNE(NXT-1)
      DRN      = (RRO(NXT)-RRO(NXT-1))/DXN
      PHI(NXT)= ATAN(DRN)
      NXT1    = NXT-1
      DO 101 I=2,NXT1
         DXV      = XSEHNE(I+1)-XSEHNE(I)
         DRV      = (RRO(I+1)-RRO(I))/DXV
         DXR      = XSEHNE(I)-XSEHNE(I-1)
         DRR      = (RRO(I)-RRO(I-1))/DXR
         PHI(I)  = ATAN(0.5*(DRV+DRR))
101   CONTINUE
      GOTO(50,100) NP2
C
C      Parameter des Drucksradianten
C
      50   DO 80 I=2,NXT
            IF(I.NE.NXT) THEN
               A1      = (S(I)-S(I-1))*(S(I+1)-S(I-1))
               A2      = (S(I)-S(I-1))*(S(I+1)-S(I))
               A3      = (S(I+1)-S(I))*(S(I+1)-S(I-1))
               DUDS   = -(S(I+1)-S(I))/A1*UE(I-1)+(S(I+1)-2.*S(I)-
               S(I-1))/A2*UE(I)+(S(I)-S(I-1))/A3*UE(I+1)
               P2(I) = S(I)/UE(I)*DUDS
            ELSE
               A1      = (S(I-1)-S(I-2))*(S(I)-S(I-2))
               A2      = (S(I-1)-S(I-2))*(S(I)-S(I-1))
               A3      = (S(I)-S(I-1))*(S(I)-S(I-2))
               DUDS   = (S(I)-S(I-1))/A1*UE(I-2)-(S(I)-S(I-2))/A2*
               UE(I-1)+(2.*S(I)-S(I-2)-S(I-1))/A3*UE(I)
               P2(I) = S(I)/UE(I)*DUDS
            END IF
80    CONTINUE
100   DO 90 I=1,NXT
            P1(I) = 0.5*(P2(I)+1.0)
90    CONTINUE
      RETURN

```

```
C
5000 FORMAT(//2X,'NXT = ',I3,8X,'NTR = ',I3,8X,'NP2 = ',I3/
1      2X,'ETAE= ',E14.6,3X,'DETA1 = ',E14.6,3X,
2      'VGP = ',E14.6,'NUE = ',E14.6//)
END
C
C
C
C
SUBROUTINE GRID
COMMON/BLCO/ NP,NX,NXT,NTR,NFLOW,ETAE,VGP,CNU,DETA(300),A(300),
1           ETA(300)
COMMON/BLCC/ X(60),UE(60),P1(60),P2(60),CEL(60),RX(60),CF(60),
1           P1P,P2P,RTHETA(60),RRO(60),PHI(60),XL,KENNZ,AKAPPA,
2           K,S(60),RXS(60),XSEHNE(60),DEL99(60)
C
C
IF((VGP-1.0).LE..001) THEN
  NP = ETAE/DETA(1) + 1.0001
ELSE
  NP = ALOG((ETAE/DETA(1))*(VGP-1.0)+1.)/ALOG(VGP)+1.0001
END IF
IF(NP.LE.300) THEN
  ETA(1) = 0.0
  DO 20 J = 2,300,1
    DETA(J) = VGP*DETA(J-1)
    A(J) = .5*DETA(J-1)
    ETA(J) = ETA(J-1)+DETA(J-1)
20  CONTINUE
ELSE
  WRITE(6,3000)
  STOP
END IF
RETURN
C
3000 FORMAT(/5X,'NP GT 300 => Programmende ')
END
C
C
C
SUBROUTINE IVPL
COMMON/BLCO/ NP,NX,NXT,NTR,NFLOW,ETAE,VGP,CNU,DETA(300),A(300),
1           ETA(300)
COMMON/BLCP/ DELV(300),F(300,2),U(300,2),V(300,2),B(300,2),
1           T(300)
COMMON/BLCC/ X(60),UE(60),P1(60),P2(60),CEL(60),RX(60),CF(60),
1           P1P,P2P,RTHETA(60),RRO(60),PHI(60),XL,KENNZ,AKAPPA,
2           K,S(60),RXS(60),XSEHNE(60),DEL99(60)
C
ETANPQ = 0.25*ETA(NP)
ETAU15 = 1.5/ETA(NP)
DO 30 J=1,NP
  ETAB = ETA(J)/ETA(NP)
  ETAB2 = ETAB**2
  F(J,2) = ETANPQ*ETAB2*(3.0-.5*ETAB2)
```

```
      U(J,2) = 0.5*ETAB*(3.-ETAB2)
      V(J,2) = ETAU15*(1.-ETAB2)
      B(J,2) = 1.0
30    CONTINUE
      RETURN
      END
C
C
      SUBROUTINE EDDY
      COMMON/BLCO/ NP,NX,NXT,NTR,NFLOW,ETA,E,VGP,CNU,DETA(300),A(300),
1           ETA(300)
      COMMON/BLCP/ DELV(300),F(300,2),U(300,2),V(300,2),B(300,2),
1           T(300)
      COMMON/BLCC/ X(60),UE(60),P1(60),P2(60),CEL(60),RX(60),CF(60),
1           P1F,P2F,RTHETA(60),RR0(60),PHI(60),XL,KENNZ,AKAPPA,
2           K,S(60),RXS(60),XSEHNE(60),DEL99(60)
C
      RXS(1)=0.
      DO 12 I=2,NXT
          RXS(I)=UE(I)*S(I)/CNU
12    CONTINUE
      IF(V(1,2).LE.0.) THEN
          WRITE(6,7002)
          KENNZ = 1
          CALL OUTPUT
      END IF
      IF(AKAPPA.LT.0.39 ,OR, AKAPPA.GT.0.41) AKAPPA = 0.4
      GAMTR = 1.0
      UEINTG = 0.0
      U1 = 1.0/UE(NTR-1)
      DO 10 I=NTR,NX
          U2 = 1.0/UE(I)
          UEINTG = UEINTG+(U1+U2)*(S(I)-S(I-1))*5
          U1 = U2
10    CONTINUE
      GG = 8.35E-04*UE(NX)**3/(RXS(NTR-1)**1.34*CNU**2)
      EXPTM = GG*(S(NX)-S(NTR-1))*UEINTG
      IF(EXPTM.LE.10.0) THEN
          GAMTR = 1.0-EXP(-EXPTM)
      ELSE
          WRITE(6,7000) GG,UEINTG,EXPTM
      END IF
      IFLGD = 0
      RX2 = SQRT(RXS(NX))
      RX4 = SQRT(RX2)
      PPLUS = P2(NX)/(RX4*V(1,2)**1.5)
      RX2KAP = RX2*(AKAPPA**2)
      CN = SQRT(ABS(1.0-11.8*PPLUS))
      CRSQV = CN*RX4*SQRT(V(1,2))/26.0
      EDV0 = 0.0168*RX2*(ETA(NP)-F(NP,2)+F(1,2))*GAMTR
      DO 50 J=1,NP
          IF(IFLGD.EQ.1) THEN
              EDV = EDV0
          ELSE
              YOA = CRSQV*ETA(J)
```

```
      /
EDVI = RX2KAP*ETA(J)**2*V(J,2)*(1.0-EXP(-YOA))**2*GAMTR
IF(EDVI.LT.EDVO) THEN
  EDV = EDVI
ELSE
  IFLGD = 1
  EDV = EDVO
END IF
END IF
B(J,2) = (1.+EDV)*(1.+T(J))**(2*K)
50  CONTINUE
RETURN
7000 FORMAT(/2X,'GG = ',E14.6,2X,'UEINTG = ',E14.6,2X,'EXPTM = ',E14.6)
7002 FORMAT(/2X,'Programmende, da V(1,2) negativ')
END

C
C
C
C
C
SUBROUTINE CMOM
COMMON/BLCO/ NP,NX,NXT,NTR,NFLOW,ETAE,VGP,CNU,DETA(300),A(300),
1           ETA(300)
COMMON/BLCC/ X(60),UE(60),P1(60),P2(60),CEL(60),RX(60),CF(60),
1           P1P,P2P,RTHETA(60),RR0(60),PHI(60),XL,KENNZ,AKAPPA,
2           K,S(60),RXS(60),XSEHNE(60),DEL99(60)
COMMON/BLCP/DELV(300),F(300,2),U(300,2),V(300,2),B(300,2),
1           T(300)
COMMON/BLC6/S1(300),S2(300),S3(300),S4(300),S5(300),S6(300),
1           R1(300),R2(300),R3(300)

DO 60 J=2,NP
  USB = .5*(U(J,2)**2+U(J-1,2)**2)
  FVB = .5*(F(J,2)*V(J,2)+F(J-1,2)*V(J-1,2))
  FB = .5*(F(J,2)+F(J-1,2))
  UB = .5*(U(J,2)+U(J-1,2))
  VB = .5*(V(J,2)+V(J-1,2))
  DERBV = (B(J,2)*V(J,2)-B(J-1,2)*V(J-1,2))/DETA(J-1)
  IF(NX.GT.1) THEN
    CFB = .5*(F(J,1)+F(J-1,1))
    CVB = .5*(V(J,1)+V(J-1,1))
    CFVB = .5*(F(J,1)*V(J,1)+F(J-1,1)*V(J-1,1))
    CUSB = .5*(U(J,1)**2+U(J-1,1)**2)
    CDERBV = (B(J,1)*V(J,1)-B(J-1,1)*V(J-1,1))/DETA(J-1)
  ELSE
    CFB = 0.0
    CVB = 0.0
    CFVB = 0.0
    CUSB = 0.0
  END IF
  S1(J) = B(J,2)/DETA(J-1)+(P1P*F(J,2)-CEL(NX)*CFB)*0.5
  S2(J) = -B(J-1,2)/DETA(J-1)+(P1P*F(J-1,2)-CEL(NX)*CFB)*
1          0.5
  S3(J) = .5*(P1P*V(J,2)+CEL(NX)*CVB)
  S4(J) = .5*(P1P*V(J-1,2)+CEL(NX)*CVB)
  S5(J) = -P2P*U(J,2)
```

```
S6(J) = -P2P*U(J-1,2)
IF(NX.EQ.1) THEN
    CRB = -P2(NX)
ELSE
    CLB = CDERBV+P1(NX-1)*CFVB+P2(NX-1)*(1.0-CUSB)
    CRB = -P2(NX)+CEL(NX)*(CFVB-CUSB)-CLB
END IF
R2(J) = CRB-(DERBV+P1P*FVB-P2P*USB-CEL(NX)*(CFB*
1           VB-CVB*FB))
R1(J) = F(J-1,2)-F(J,2)+DETA(J-1)*UB
R3(J-1) = U(J-1,2)-U(J,2)+DETA(J-1)*VB
60    CONTINUE
R1(1) = 0.0
R2(1) = 0.0
R3(NP) = 0.0
RETURN
END

C
C
C
C
C
SUBROUTINE SOLV3
COMMON/BLCO/ NP,NX,NXT,NTR,NFLOW,ETAE,VGP,CNU,DETA(300),A(300),
1           ETA(300)
COMMON/BLCP/DELV(300),F(300,2),U(300,2),V(300,2),B(300,2),
1           T(300)
COMMON/BLC6/S1(300),S2(300),S3(300),S4(300),S5(300),S6(300),
1           R1(300),R2(300),R3(300)
DIMENSION W1(300),W2(300),W3(300),A11(300),A12(300),A13(300),
1           A21(300),A22(300),A23(300),G11(300),G12(300),G13(300),
2           G21(300),G22(300),G23(300),DELU(300),DELF(300)

C
C
C
C
W-ELEMENTE,J = 1
W1(1) = R1(1)
W2(1) = R2(1)
W3(1) = R3(1)

C
ALFA-ELEMENTE,J = 1
C
A11(1) = 1.0
A12(1) = 0.0
A13(1) = 0.0
A21(1) = 0.0
A22(1) = 1.0
A23(1) = 0.0

C
GAMMA-ELEMENTE,J = 2
C
G11(2) = -1.0
G12(2) = -0.5*DETA(1)
G13(2) = 0.0
G21(2) = S4(2)
```

```
G23(2) = -2.0*S2(2)/DETA(1)
G22(2) = G23(2)+S6(2)
```

C  
C  
C VORWAERTS

```
DO 50 J=2,NP
    IF(J.EQ.2) GOTO 51
    DEN     = (A13(J-1)*A21(J-1)-A23(J-1)*A11(J-1)-A(J)*
1           (A12(J-1)*A21(J-1)-A22(J-1)*A11(J-1)))
    DEN1   = A22(J-1)*A(J)-A23(J-1)
    G11(J) = (A23(J-1)+A(J)*(A(J)*A21(J-1)-A22(J-1)))/DEN
    G12(J) = -(A(J)*A(J)+G11(J)*(A12(J-1)*A(J)-A13(J-1)))/DEN1
    G13(J) = (G11(J)*A13(J-1)+G12(J)*A23(J-1))/A(J)
    G21(J) = (S2(J)*A21(J-1)-S4(J)*A23(J-1)+A(J)*(S4(J)*
1           A22(J-1)-S6(J)*A21(J-1)))/DEN
    G22(J) = (-S2(J)+S6(J)*A(J)-G21(J)*(A(J)*A12(J-1)-
1           A13(J-1)))/DEN1
    G23(J) = G21(J)*A12(J-1)+G22(J)*A22(J-1)-S6(J)
51    A11(J) = 1.0
    A12(J) = -A(J)-G13(J)
    A13(J) = A(J)*G13(J)
    A21(J) = S3(J)
    A22(J) = S5(J)-G23(J)
    A23(J) = S1(J)+A(J)*G23(J)
    W1(J)  = R1(J)-G11(J)*W1(J-1)-G12(J)*W2(J-1)-G13(J)*
1           W3(J-1)
    W2(J)  = R2(J)-G21(J)*W1(J-1)-G22(J)*W2(J-1)-G23(J)*
1           W3(J-1)
    W3(J)  = R3(J)
```

50 CONTINUE

C  
C  
C RUECKWAERTS

```
DELU(NP) = W3(NP)
E1       = W1(NP)-A12(NP)*DELU(NP)
E2       = W2(NP)-A22(NP)*DELU(NP)
DELV(NP) = (E2*A11(NP)-E1*A21(NP))/(A23(NP)*A11(NP)-A13(NP)*
1           A21(NP))
DELF(NP) = (E1-A13(NP)*DELV(NP))/A11(NP)
NPX      = NP-1
DO 60 J=NPX,1,-1
    E3       = W3(J)-DELU(J+1)+A(J+1)*DELV(J+1)
    DEN2    = A21(J)*A12(J)*A(J+1)-A21(J)*A13(J)-A(J+1)*
1           A22(J)*A11(J)+A23(J)*A11(J)
    DELV(J) = (A11(J)*(W2(J)+E3*A22(J))-A21(J)*W1(J)-
1           E3*A21(J)*A12(J))/DEN2
    DELU(J) = -A(J+1)*DELV(J)-E3
    DELF(J) = (W1(J)-A12(J)*DELU(J)-A13(J)*DELV(J))/A11(J)
60 CONTINUE
```

C  
C  
C WRITE(6,4000) V(1,2),DELV(1)
DO 70 J=1,NP,1
 F(J,2) = F(J,2)+DELF(J)
 U(J,2) = U(J,2)+DELU(J)

```
V(J,2) = V(J,2)+DELV(J)
70    CONTINUE
      U(1,2) = 0.0
      RETURN
C
4000  FORMAT(/5X,'V-WAND = ',E14.6,5X,'DELTA V = ',E14.6)
      END
C
C
SUBROUTINE GROWTH
COMMON/BLCO/ NP,NX,NXT,NTR,NFLOW,ETAE,VGF,CNU,DETA(300),A(300),
1           ETA(300)
COMMON/BLCP/ DELV(300),F(300,2),U(300,2),V(300,2),B(300,2),
1           T(300)
C
NPO    = NP
NP1    = NP+1
NP     = NP+1
IF(NX.EQ.NTR) NP = NP+3
IF(NP.GT.300) NP = 300
C
C
PROFILE FUER NEUES NP
C
DO 35 J=NP1,NP
      F(J,1) = U(NPO,1)*(ETA(J)-ETA(NPO))+F(NPO,1)
      U(J,1) = U(NPO,1)
      V(J,1) = 0.0
      B(J,1) = B(NPO,1)
      F(J,2) = U(NPO,2)*(ETA(J)-ETA(NPO))+F(NPO,2)
      U(J,2) = U(NPO,2)
      V(J,2) = V(J,1)
      B(J,2) = B(NPO,2)
35    CONTINUE
NNP    = NP-(NP1-1)
WRITE(6,6000) NNP
RETURN
C
6000  FORMAT(/5X,'Transf.GS-Dicke = ',I3,3X,'Punkt(e) hinzusefuest')
      END
C
C
C
SUBROUTINE OUTPUT
COMMON/BLCO/ NP,NX,NXT,NTR,NFLOW,ETAE,VGF,CNU,DETA(300),A(300),
1           ETA(300)
COMMON/BLCC/ X(60),UE(60),P1(60),P2(60),CEL(60),RX(60),CF(60),
1           P1P,F2P,RTHETA(60),RRO(60),PHI(60),XL,KENNZ,AKAPPA,
2           K,S(60),RXS(60),XSEHNE(60),DEL99(60)
COMMON/BLCP/ DELV(300),F(300,2),U(300,2),V(300,2),B(300,2),
1           T(300)
C
DIMENSION UPLLOT(300,61),YPLLOT(300,61),ETAP(300,61),NQ(300),
1           Y(300),DELS(61),THETA(61),YQ(300),DYQ(300)
C
NQ(NX) = NP
```

```
IF(KENNZ.EQ.1) THEN
    WRITE(7,*) KENNZ
    WRITE(7,*) NXT
    WRITE(7,*) (S(I),RRO(I),PHI(I),CF(I),DELS(I),THETA(I),
1           NQ(I),I=2,NXT)
    WRITE(7,*) ((UPL0T(J,I),J=1,NQ(I)),I=2,NXT)
    WRITE(7,*) ((YPL0T(J,I),J=1,NQ(I)),I=2,NXT)
    WRITE(7,*) ((ETAP(J,I),J=1,NQ(I)),I=2,NXT)
    STOP
END IF
IF(NX.GT.1) THEN
    YQ(1) = 0.
    DO 40 J=2,NP
        YQ(J) = SQRT(CNU*X(NX)/UE(NX))*ETA(J)
        DYQ(J-1) = YQ(J)-YQ(J-1)
40    CONTINUE
    IF(K.EQ.1) THEN
        DO 41 J=1,NP
            Y(J) = XL/RRO(NX)*YQ(J)
41    CONTINUE
    ELSE
        DO 42 J=1,NP
            Y(J) = YQ(J)
42    CONTINUE
    END IF
END IF
C
39    WRITE(6,8000)
    WRITE(6,8001) (J,ETA(J),Y(J),F(J,2),U(J,2),V(J,2),B(J,2),J=1,NP,4)
    WRITE(6,8001) NP,ETA(NP),Y(NP),F(NP,2),U(NP,2),V(NP,2),B(NP,2)
    DO 50 J=1,NP
        UPL0T(J,NX) = U(J,2)
        YPL0T(J,NX) = Y(J)
        ETAP (J,NX) = ETA(J)
50    CONTINUE
C
IF(NX.EQ.1) THEN
    NX = NX+1
    IF(NX.GT.NXT) THEN
        STOP
    ELSE
        DO 250 J=1,NP
            F(J,1) = F(J,2)
            U(J,1) = U(J,2)
            V(J,1) = V(J,2)
            B(J,1) = B(J,2)
250   CONTINUE
        RETURN
    END IF
ELSE
C
C      Berechnung der integralen GS Parameter
C
F1      = 0.0
```

```
THETA1 = 0.0
DO 150 J=2,NP
    F2      = U(J,2)*(1.-U(J,2))
    THETA1  = THETA1+(F1+F2)*.5*DETA(J-1)
    F1      = F2
150    CONTINUE
    THETA(NX) = THETA1*X(NX)/SQRT(RX(NX))
    F3      = 0.0
    ENTH1   = 0.0
    DO 151 J=2,NP
        F4      = U(J,2)*(1-U(J,2)**2)
        ENTH1  = ENTH1+(F3+F4)*.5*DETA(J-1)
        F3      = F4
151    CONTINUE
    ENTH     = ENTH1*X(NX)/SQRT(RX(NX))
    DELS(NX) = (ETA(NP)-F(NP,2))*X(NX)/SQRT(RX(NX))
    H       = DELS(NX)/THETA(NX)
    CF(NX)  = 2.0*V(1,2)/SQRT(RX(NX))
    IF(K.EQ.1) THEN
        ENTH   = XL/RRO(NX)*ENTH
        THETA(NX)= XL/RRO(NX)*THETA(NX)
        DELS(NX) = XL/RRO(NX)*DELS(NX)
        CF(NX)  = CF(NX)*RRO(NX)/XL
    END IF
    RTHETA(NX) = UE(NX)*THETA(NX)/CNU
    RENTH    = UE(NX)*ENTH/CNU
    RDELS   = UE(NX)*DELS(NX)/CNU
    DO 152 J=2,NP
        IF(U(J,2),LT.0.99) DEL99(NX) = Y(J)
152    CONTINUE
    WRITE(6,9000) ENTH,THETA(NX),DELS(NX),H,CF(NX),RENTH,RTHETA(NX),
1                    RDELS,DEL99(NX),P2(NX)
    NX      = NX+1
    IF(NX.GT.NXT) THEN
        WRITE(7,*) KENNZ
        WRITE(7,*) (S(I),RRO(I),PHI(I),CF(I),DELS(I),THETA(I),
1                    NQ(I),I=2,NXT)
        WRITE(7,*) ((UPL0T(J,I),J=1,NQ(I)),I=2,NXT)
        WRITE(7,*) ((YPL0T(J,I),J=1,NQ(I)),I=2,NXT)
        WRITE(7,*) ((ETAP(J,I),J=1,NQ(I)),I=2,NXT)
        STOP
    ELSE
        DO 251 J=1,NP
            F(J,1) = F(J,2)
            U(J,1) = U(J,2)
            V(J,1) = V(J,2)
            B(J,1) = B(J,2)
251    CONTINUE
        RETURN
    END IF
END IF
C
8000  FORMAT(/1X,2X,'J',6X,'ETA',7X,'Y',11X,'F',13X,'U',13X,'V',13X,'B')
8001  FORMAT(' ',I3,F10.3,F10.7,4E14.6)
9000  FORMAT(/1X,6X,'EnTh',8X,'Theta',10X,'Delta*',9X,'H',13X,'Cf'/)
```

```
1      ,',5E14.6//  
2      ',6X,'REnth',7X,'RTheta',8X,'RDelta*',9X,'d99',11X,  
3      'P2//,',5E14.6)  
END  
  
C  
C  
C  
C  
  
SUBROUTINE TRANSC  
COMMON/BLCO/ NP,NX,NXT,NTR,NFLOW,ETA,E,VGP,CNU,DETA(300),A(300),  
1           ETA(300)  
COMMON/BLCC/ X(60),UE(60),P1(60),P2(60),CEL(60),RX(60),CF(60),  
1           P1P,P2P,RTHETA(60),RR0(60),PHI(60),XL,KENNZ,AKAPPA,  
2           K,S(60),RXS(60),XSEHNE(60),DEL99(60)  
COMMON/BLCP/DELV(300),F(300,2),U(300,2),V(300,2),B(300,2),  
1           T(300)  
  
C  
C      Die Subroutine TRANSC berechnet die Querkruemmung des  
C      Koerpers im rotationssymmetrischen Fall.  
C  
C  
DO 200 J=1,NP  
      Z      = ((XL/RR0(NX))**2)*2*(COS(PHI(NX)/XL))  
      Z1     = Z*SQRT(CNU*X(NX)/UE(NX))  
      Z2     = Z1*ETA(J)+1  
      T(J)   = -1.0+SQRT(Z2)  
200    CONTINUE  
RETURN  
END  
  
C  
C  
C      SUBROUTINE TRANSX  
C  
C  
C      Das Unterprogramm TRANSX berechnet die mandertransfor-  
C      mierte x-Koordinate  
C  
COMMON/BLCO/ NP,NX,NXT,NTR,NFLOW,ETA,E,VGP,CNU,DETA(300),A(300),  
1           ETA(300)  
COMMON/BLCC/ X(60),UE(60),P1(60),P2(60),CEL(60),RX(60),CF(60),  
1           P1P,P2P,RTHETA(60),RR0(60),PHI(60),XL,KENNZ,AKAPPA,  
2           K,S(60),RXS(60),XSEHNE(60),DEL99(60)  
  
C  
XX   = 0.  
XXX  = 0.  
XI   = 0.  
DO 100 I=2,NXT  
      XX = (RR0(I)**2/XL**2)  
      XI = XI+(XX+XXX)/2.*(S(I)-S(I-1))  
      XXX = XX  
      X(I) = XI  
100   CONTINUE  
RETURN  
END
```

```

C
C      PROGRAMM GSPLLOT.FOR
C      DIMENSION X(63),RRO(63),PHI(63),U(302,63),
C              1          ETA(302,63),CF(63),DELS(63),THETA(63),
C              2          XA(620),YA(620),YB(620),YC(620),YD(620),
C              3          ZZTEXT(10),YKO(302,63),
C              4          X0(63),S(63),ETAE(302),PHID(63),PSID(63),
C              5          XOCM(63),RR0CM(63),ETAECM(63),
C              6          NP(63),XCM(63),RCM(63),
C              7          R(63),DM(63)
C      CHARACTER JANE*2
C
C
C      READ(7,*) NXT
C      READ(7,* ) X(1),RRO(1),PHI(1)
C      READ(7,* ) KENNZ
C      IF(KENNZ.EQ.1) THEN
C          READ(7,* ) NXT
C      END IF
C      READ(7,* ) (X(I),RRO(I),PHI(I),CF(I),DELS(I),THETA(I),
C      1          NP(I),I=2,NXT)
C      READ(7,* ) ((U(J,I),J=1,NP(I)),I=2,NXT)
C      READ(7,* ) ((YKO(J,I),J=1,NP(I)),I=2,NXT)
C      READ(7,* ) ((ETA(J,I),J=1,NP(I)),I=2,NXT)
C      WRITE(*,5)27,27,12,27,27
C      PRINT*, ' Bitte geben Sie die losische Nummer Ihrer'
C      PRINT*, ' Plotaussabedatei ein. <10:99> '
C      READ*, NUM
C      PRINT*, ' '
C      PRINT*, ' Sollen integrale Werte und Profile gezeichnet werden?'
C      PRINT*, ' '
C      PRINT*, '<JA/NE>      Bei NEIN werden nur integrale Werte ge-'
C      PRINT*, '                      plottet.'
C      READ(*,1) JANE
C
C      Plotterinitialisierung
C
C      CALL PLOTS(0,0,NUM)
C      CALL XLIMIT(250.)
C
C      Blattnullpunkt
C
C      CALL PLOT(0.,4.,-3)
C
C      DIN A 4 Blatt zeichnen
C
C      CALL PLOT(0.,21.,2)
C      CALL PLOT(29.7,21.,2)
C      CALL PLOT(29.7,0.,2)
C      CALL PLOT(0.,0.,2)
C
C      PRINT*, ' '
C      PRINT*, 'Ueberschrift einseben '
C      READ(*,2) ZZTEXT

```

```
C
C      Berechnung und Plotten der integralen Werte
C
DO 100 I=1,NXT-1
      X(I) = X(I+1)
      CF(I)= CF(I+1)
100   CONTINUE
C
XO(1) = 0.
XO(2) = SQRT(ABS(X(1)**2-(RR0(2)-RR0(1))**2))
DO 440 I=3,NXT
      DX = X(I-1)-X(I-2)
      DR = RR0(I)-RR0(I-1)
      DX0 = SQRT(ABS(DX**2-DR**2))
      XO(I)= XO(I-1)+DX0
440   CONTINUE
C
C      CF Berechnung
C
CALL NUM1(X,CF,(NXT-1),XA,YA,M)
C
C      X-Achse
C
CALL PLOT(6.,2.5,-3)
CALL SCALE(XA(1),20.,M,1)
CALL AXIS(0.,0.,7HX BOGEN,-7,20.,0.,XA(M+1),
1           XA(M+2))
ACL = XA(M)/XA(M+2)
XO(NXT+1) = XA(M+1)
XO(NXT+2) = XO(NXT)/ACL
CALL AXIS(0.0,-1.1,7HX SEHNE,-7,20.,0.,XO(NXT+1),
1           XO(NXT+2))
C
C      CF Aussage
C
CALL SCALE(YA(10),17.,(M-9),1)
CALL AXIS (0.,0.,2HZCF,2,17.,90.,YA(M+1),YA(M+2))
CALL SYMBOL(-1.,13.,3,2,90.,-1)
CALL SYMBOL(2.0,18.,25,ZZTEXT,0,0,40)
DO 102 I=2,NXT
      X1 = (X(I)-XA(M+1))/XA(M+2)
      CF1 = (CF(I)-YA(M+1))/YA(M+2)
      CALL SYMBOL(X1,CF1,3,2,0,0,-1)
102   CONTINUE
C
C
C      CALL LINE (XA(10),YA(10),M-9,1,0,0)
C
C      DELTAX Berechnung
C
CALL NEWPEN(2)
DO 200 I=1,NXT-1
```

```
      DELS(I) = DELS(I+1)
200  CONTINUE
      CALL NUM1(X,DELS,(NXT-1),XA,YB,M)
C
C
      CALL SCALE (YB(10),17.,M-9,1)
      CALL AXIS (-2.,0.,11HVERDR,DICKE,11,17.,90.,YB(M+1),YB(M+2))
      CALL SYMBOL(-3.,13.,.3,10,90.,-1)
      DO 201 I=2,NXT
          X1      = (X(I)-XA(M+1))/XA(M+2)
          DELS1   = (DELS(I)-YB(M+1))/YB(M+2)
          CALL SYMBOL(X1,DELS1,.3,10,0.0,-1)
201  CONTINUE
C
C
      CALL LINE (XA(10),YB(10),M-9,1,0,0)
C
C
      THETA Berechnung
C
C
      DO 300 I=1,NXT-1
          THETA(I) = THETA(I+1)
300  CONTINUE
C
      CALL NUM1(X,THETA,(NXT-1),XA,YC,M)
C
C
      CALL NEWPEN(3)
      CALL SCALE (YC(10),17.,M-9,1)
      CALL AXIS (-4.,0.,16HIMPULSVERL,DICKE,16,17.,90.,YC(M+1),
1
      YC(M+2))
      CALL SYMBOL(-5.,13.,.3,11,90.,-1)
      DO 301 I=2,NXT
          X1      = (X(I)-XA(M+1))/XA(M+2)
          THETA1  = (THETA(I)-YC(M+1))/YC(M+2)
          CALL SYMBOL(X1,THETA1,.3,11,0.0,-1)
301  CONTINUE
C
C
      CALL LINE (XA(10),YC(10),M-9,1,0,0)
C
C
      Plotbeendigung
C
C
      CALL PLOT(0.,0.,-3)
      CALL PLOT(32.,-6.5,-3)
      IF(JANE.EQ.'NE' .OR. JANE.EQ.'ne') THEN
          CALL PLOT(4.,0.,999)
          PRINT*, '/'
          WRITE(*,3) NUM
          STOP
      ELSE
          CONTINUE
      END IF
C
C
C
C
```

```
CALL NEWPEN(1)
CALL PLOT(0.,4.,-3)

C
C DIN A 4 Blatt zeichnen
C
CALL PLOT(0.,21.,2)
CALL PLOT(29.7,21.,2)
CALL PLOT(29.7,0.,2)
CALL PLOT(0.,0.,2)

C
C
C CALL NUM1(X0,RRO,NXT,XA,YD,M)
C
CALL PLOT(2.,2.,-3)
CALL SCALE(XA,25.,M,1)
XA(M+1) = XA(1)
XA(M+2) = XA(M)/25.
CALL AXIS(0.0,0.0,7HX-SEHNE,-7,25.,0.,
1           XA(M+1),XA(M+2))
CALL SCALE(YD,3.5,M,1)
CALL LINE(XA,YD,M,1,0,0)
DO 450 I=1,NXT
    XOCM(I) = (XO(I)-XA(M+1))/XA(M+2)
    RROCM(I) = (RRO(I)-YD(M+1))/YD(M+2)
    XCM(I) = XOCM(I)
    RCM(I) = RROCM(I)
    CALL SYMBOL(XOCM(I),RROCM(I),.08,1,0.0,-1)
450 CONTINUE
DDX1 = XOCM(2)-XOCM(1)
DDR1 = (RROCM(2)-RROCM(1))/DDX1
PHI(1) = ATAN(DDR1)
DDXN = XOCM(NXT)-XOCM(NXT-1)
DDRN = (RROCM(NXT)-RROCM(NXT-1))/DDXN
PHI(NXT)= ATAN(DDRN)
NXT1 = NXT-1
DO 451 I=2,NXT1
    DDXV = XOCM(I+1)-XOCM(I)
    DDRV = (RROCM(I+1)-RROCM(I))/DDXV
    DDXR = XOCM(I)-XOCM(I-1)
    DDRR = (RROCM(I)-RROCM(I-1))/DDXR
    PHI(I) = ATAN(0.5*(DDRV+DDRR))

451 CONTINUE
CALL SYMBOL(2.0,18.,.3,ZZTEXT,0.0,40)
CALL SYMBOL(2.0,17.,.3,8HU IN XUE,0.0,8)
CALL SYMBOL(2.0,16.,.3,18HETA=SQRT(UE/CNU X),0.0,18)

C
C
C
ETAE(NXT) = ETA(NP(NXT),NXT)
ETAECM(NXT) = 12.
DO 500 I=(NXT-1),1,-1
    ETAE(I) = ETA(NP(I),I)
    ETAECM(I)= 12.*ETAE(I)/ETAE(NXT)
```

```

500  CONTINUE
      ETAECM(3) = 1.9
C
      XL = 62.5/REAL(NXT)
C
C
      PRINT*,'
      PRINT*, 'Wollen Sie die GS-Profile auf der Koerperoberflaeche'
      PRINT*, 'zeichnen ? <JA/NE> '
      READ(*,1) JANE
      IF(JANE.EQ.'JA' .OR. JANE.EQ.'Ja') THEN
C
C
      graphische Darstellung der GS-Profile auf der Koerperkontur
C
      PI = 4*ATAN(1.)
C
C
      Arbeitsschleife - Vorbereitung von Plotwerten
C
      DO 600 I=2,NXT
          PHID(I) = 180.*PHI(I)/PI
          PSID(I) = PHID(I)+90.
600  CONTINUE
C
C
      PROFILE
C
      DO 700 I=3,NXT,5
          CALL NEWPEN(1)
          NWP = NP(I)
          NWP1= NWP+1
          NWP2= NWP+2
          CALL PLOT(XOCM(I),RROCM(I),-3)
          IF(I .GT. 3 .AND. XOCM(I).LT.XL) THEN
              IF(XOCM(I) .LT. (XOCM(I-5)+XL)) GOTO 701
          END IF
          CALL SCALE(U(1,I),XL,NWP,1)
          CALL SCALE(ETA(1,I),ETAECM(I),NWP,1)
          CALL AXIS(0.0,0.0,' ',0,ETAECM(I),
1                  PSID(I),ETA(NWP1,I),ETA(NWP2,I))
          DO 711 J=2,NWP
              R(J) = SQRT(((ETA(J,I)/ETA(NWP2,I))**2) +
1                         ((U(J,I)/U(NWP2,I))**2))
              OM(J) = ATAN((ETA(J,I)/ETA(NWP2,I))/(U(J,I)/
1                         U(NWP2,I)))
              U(J,I) = (R(J)*COS(PHI(I)+OM(J)))
              ETA(J,I) = (R(J)*SIN(PHI(I)+OM(J)))
711  CONTINUE
          ETA(NWP1,I) = 0.
          ETA(NWP2,I) = 1.
          U(NWP1,I) = 0.
          U(NWP2,I) = 1.
          CALL NEWPEN(2)
          CALL LINE(U(1,I),ETA(1,I),NWP,1,0,0)
701  IF((NXT-5).GT.0) THEN
          XOCM(I+5) = XOCM(I+5)-XCM(I)
          IF(RROCM(I+5).GT.RCM(I)) THEN

```

```
      RROCM(I+5) = ABS(RROCM(I+5)-RCM(I))
      ELSE
        RROCM(I+5) = -ABS(RROCM(I+5)-RCM(I))
      END IF
      ELSE
        CONTINUE
      END IF
700    CONTINUE
      I   = I-5
      AKOR = -(RCM(I)+2.)
      CALL PLOT(17.,AKOR,-3)
    ELSE
C      Profile auf einer Ebene ueber dem Koerper
C
C
C
      YLA = 6.
      DO 750 I=3,NXT,5
        CALL NEWPEN(1)
        NWP = NP(I)
        NWP1= NWP+1
        NWP2= NWP+2
        IF(I.EQ.3) THEN
          CALL PLOT(XOCM(I),YLA,-3)
        ELSE
          CALL PLOT(XOCM(I),0.,-3)
        END IF
        IF(I.GT.3 .AND. XOCM(I).LE.XL) GOTO 749
        CALL SCALE(U(1,I),XL,NWP,1)
        CALL SCALE(ETA(1,I),ETAECM(I),NWP,1)
        CALL AXIS(0.0,0.0,' ',1,XL,0.0,
1           U(NWP1,I),U(NWP2,I))
        CALL AXIS(0.0,0.0,' ',1,ETAECM(I),
1           90.,ETA(NWP1,I),ETA(NWP2,I))
        CALL NEWPEN(2)
        CALL LINE(U(1,I),ETA(1,I),NWP,1,0,0)
749      IF((NXT-5).GT.0) THEN
        XOCM(I+5) = XOCM(I+5)-XCM(I)
      END IF
750    CONTINUE
      CALL PLOT(17.,-8.,-3)
    END IF
    PRINT*,'
    PRINT*,'Wollen Sie einzelne GS-Profile zeichnen?'
    PRINT*, '<JA/NE>'
    READ(*,1) JANE
    IF(JANE.EQ.'NE' .OR. JANE.EQ.'ne') THEN
      CALL PLOT(35.,0.,999)
      PRINT*,'
      WRITE(*,3) NUM
      STOP
    ELSE
      CONTINUE
    END IF
```

```

PRINT*,'
PRINT*, 'Wollen Sie eine Auftragung in physikalischen oder in'
PRINT*, 'dimensionslosen Koordinaten ?'
PRINT*, '1 = physikalische Koordinaten'
PRINT*, '2 = dimensionslose   -- '
READ*,KORKE
IF(KORKE.EQ.1) THEN
  DO 751 I=2,NXT
    DO 752 J=1,NP(I)
      ETA(J,I) = YKO(J,I)
752      CONTINUE
751      CONTINUE
END IF
799      CONTINUE
PRINT*,'
PRINT*, 'Einsaetze der x-Station des gewuenschten Profils:'
PRINT*, 'Es wird jeweils das x-1.,x.,x+1. Profil zezeichnet,' 
WRITE(*,6) NXT1
READ*,KK
KK = KK-1
C
CALL NEWPEN(1)
CALL PLOT(4.,0.,-3)
C
C
C
CALL PLOT(0.,21.,2)
CALL PLOT(29.7,21.,2)
CALL PLOT(29.7,0.,2)
CALL PLOT(0.,0.,2)
C
C
C
CALL SYMBOL(10.0,19.,.3,ZZTEXT,0.0,40)
CALL SYMBOL(20.0,10.0,.3,21HDIE X-STATIONEN SIND:,0.0,21)
CALL NUMBER(999.,999.,.3,REAL(KK),0.0,0)
KK1 = KK+1
CALL NUMBER(999.,999.,.3,REAL(KK1),0.0,0)
KK2 = KK+2
CALL NUMBER(999.,999.,.3,REAL(KK2),0.0,0)
C
CALL PLOT(6.,6.,-3)
AO = 0.
BO = 0.
A1 = 0.
B1 = 0.
IPEN = 1
C
DO 800 I=KK,KK+2,1
  JJ = I-KK+1
  NWP = NP(I)
  NWP1 = NWP+1
  NWP2 = NWP+2
  CALL SCALE(U(1,I),6.,NWP,1)
  CALL SCALE(ETA(1,I),12.,NWP,1)

```

-44-

```
CALL AXIS(A0,B0,8HU IN ZUE,-8,6.,0.,U(NWP1,I),U(NWP2,I))
IF(KORKE,EQ.1) THEN
    CALL AXIS(A1,B1,8HY IN [M],8,12.,90.,ETA(NWP1,I),ETA(NWP2,I))
ELSE
    CALL AXIS(A1,B1,3HETA,3,12.,90.,ETA(NWP1,I),ETA(NWP2,I))
END IF
CALL LINE(U(1,I),ETA(1,I),NWP,1,0,0)
CALL PLOT(2.,0.,-3)
A0    = 0.
B0    = B0-1.4
A1    = A1-3.4
B1    = 0.
IPEN = IPEN+1
CALL NEWPEN(IPEN)

800  CONTINUE
PRINT*,'
PRINT*, 'Wollen Sie weitere Profile zeichnen ?'
PRINT*, '<JA/NE> '
READ(*,1) JANE
IF(JANE,EQ.'JA',OR, JANE,EQ.'Ja') THEN
    CALL PLOT(25.,-6.,-3)
    GOTO 799
ELSE
    CONTINUE
END IF
PRINT*,'
WRITE(*,3) NUM
CALL PLOT(35.,0.,999)
1  FORMAT(A2)
2  FORMAT(10A4)
3  FORMAT(//X,'Zur Erinnerung: Ihre Aussabedatei ist: FOR0',I2)
4  FORMAT(2(1H1))
5  FORMAT(1X,A1,'1',3A1,'2',A1,['2J'])
6  FORMAT(3X,'geben Sie also bitte eine Zahl zwischen [2;',I2,'] an')
END

C
C
C
C
C

SUBROUTINE NUM1(X,Y,N,XX,YY,M)
DIMENSION X(63),Y(63),Y2(63),F(63),G(63),
1          A(63),B(63),C(63),D(63),
2          XX(620),YY(620)
NN    = N
Y2(1) = 1.
Y2(N) = 1.
CALL XXSPL(NN,X,Y,Y2,F,G,A,B,C,D)
N1    = N-1
M     = 10
M0    = M
K     = 1
J     = 1
DO 200 I=1,N1
    DX    = (X(I+1)-X(I))/REAL(M0)
```

```
      XX(J) = X(I)
      DO 300 J=K,M
           YY(J) = A(I)*(XX(J)-X(I))**3+B(I)*(XX(J)-
1          X(I))**2+C(I)*(XX(J)-X(I))+D(I)
           XX(J+1) = XX(J)+DX
300      CONTINUE
           K = J
           M = M + MO
200      CONTINUE
           YY(J) = Y(I)
           M = M-M0+1
           RETURN
           END
C
C
      SUBROUTINE XXSPL(N,X,Y,Y2,F,G,A,B,C,D)
      DIMENSION X(63),Y(63),Y2(63),F(63),G(63),A(63),B(63),
1          C(63),D(63)
C
C
      N1 = N-1
      G(1) = 0.
      F(1) = 0.
      U = Y2(1)
      V = Y2(N)
      F2 = 2.
      DO 20 K=1,N1
           J2 = K+1
           H2 = X(J2)-X(K)
           R2 = (Y(J2)-Y(K))/H2
           IF(K.EQ.1) THEN
               J1 = K
               H1 = H2
               R1 = R2
           ELSE
               F1 = 2.
               IF(K.EQ.2) F1 = 2.+U
               IF(K.EQ.N1) F2 = 2.+V
               Z = 1./((F1-G(J1))*H1+F2*H2)
               G(K)= Z*H2
               F(K)= Z*(6.*(R2-R1)-H1*F(J1))
           END IF
           J1 = K
           H1 = H2
           R1 = R2
20      CONTINUE
           Y2(N1) = F(N1)
           IF(N1.LE.2) GOTO 4
           N2 = N1-1
           DO 30 J1=2,N2
               K = N-J1
               Y2(K)=F(K)-G(K)*Y2(K+1)
30      CONTINUE
4        Y2(1) = U*Y2(2)
           Y2(N) = V*Y2(N1)
```

```
DO 40 K=1,N1
    H2    = X(K+1)-X(K)
    R2    = (Y(K+1)-Y(K))/H2
    A(K) = (Y2(K+1)-Y2(K))/(6.*H2)
    B(K) = 0.5*Y2(K)
    C(K) = R2-H2/6.*(Y2(K+1)+2*Y2(K))
    D(K) = Y(K)
40   CONTINUE
      RETURN
      END
```

VI

Berechnungsbeispiele - Ausgabelisten

1.Version: 109 Eta Punkte an der 1. x-Stelle

| NX            | =            | 2            | S             | =            | 0.040         | X-Sehne | = | 0.040 |
|---------------|--------------|--------------|---------------|--------------|---------------|---------|---|-------|
| Re(x)         | =            | 0.875497E+05 | Ue(x)         | =            | 33.0500       |         |   |       |
| V-WAND        | =            | 0.331830E+00 | DELTA V       | =            | 0.217247E-02  |         |   |       |
| V-WAND        | =            | 0.334003E+00 | DELTA V       | =            | -0.208627E-05 |         |   |       |
| J             | ETA          | Y            | F             | U            | V             |         |   |       |
| 1             | 0.000        | 0.0000000    | 0.000000E+00  | 0.000000E+00 | 0.334001E+00  |         |   |       |
| 5             | 0.009        | 0.0000012    | 0.124094E-04  | 0.287912E-02 | 0.333988E+00  |         |   |       |
| 9             | 0.019        | 0.0000026    | 0.609103E-04  | 0.637856E-02 | 0.333974E+00  |         |   |       |
| 13            | 0.032        | 0.0000043    | 0.169234E-03  | 0.106319E-01 | 0.333955E+00  |         |   |       |
| 17            | 0.047        | 0.0000064    | 0.373839E-03  | 0.158016E-01 | 0.333933E+00  |         |   |       |
| 21            | 0.066        | 0.0000089    | 0.730295E-03  | 0.220850E-01 | 0.333905E+00  |         |   |       |
| 25            | 0.089        | 0.0000120    | 0.132276E-02  | 0.297216E-01 | 0.333869E+00  |         |   |       |
| 29            | 0.117        | 0.0000158    | 0.227807E-02  | 0.390029E-01 | 0.333821E+00  |         |   |       |
| 33            | 0.151        | 0.0000204    | 0.378666E-02  | 0.502825E-01 | 0.333757E+00  |         |   |       |
| 37            | 0.192        | 0.0000259    | 0.613354E-02  | 0.639897E-01 | 0.333666E+00  |         |   |       |
| 41            | 0.242        | 0.0000327    | 0.974415E-02  | 0.806454E-01 | 0.333531E+00  |         |   |       |
| 45            | 0.302        | 0.0000409    | 0.152523E-01  | 0.100880E+00 | 0.333322E+00  |         |   |       |
| 49            | 0.376        | 0.0000508    | 0.236002E-01  | 0.125456E+00 | 0.332985E+00  |         |   |       |
| 53            | 0.466        | 0.0000630    | 0.361864E-01  | 0.155288E+00 | 0.332422E+00  |         |   |       |
| 57            | 0.575        | 0.0000777    | 0.550826E-01  | 0.191467E+00 | 0.331461E+00  |         |   |       |
| 61            | 0.707        | 0.0000956    | 0.8333500E-01 | 0.235271E+00 | 0.329789E+00  |         |   |       |
| 65            | 0.868        | 0.0001174    | 0.125496E+00  | 0.288151E+00 | 0.326856E+00  |         |   |       |
| 69            | 1.064        | 0.0001438    | 0.188122E+00  | 0.351646E+00 | 0.321696E+00  |         |   |       |
| 73            | 1.302        | 0.0001760    | 0.280801E+00  | 0.427164E+00 | 0.312671E+00  |         |   |       |
| 77            | 1.591        | 0.0002151    | 0.417138E+00  | 0.515449E+00 | 0.297139E+00  |         |   |       |
| 81            | 1.942        | 0.0002626    | 0.616201E+00  | 0.615548E+00 | 0.271261E+00  |         |   |       |
| 85            | 2.370        | 0.0003203    | 0.902726E+00  | 0.723054E+00 | 0.230646E+00  |         |   |       |
| 89            | 2.889        | 0.0003906    | 0.130670E+01  | 0.828109E+00 | 0.173229E+00  |         |   |       |
| 93            | 3.520        | 0.0004759    | 0.185912E+01  | 0.915506E+00 | 0.105232E+00  |         |   |       |
| 97            | 4.287        | 0.0005796    | 0.258569E+01  | 0.971243E+00 | 0.448889E-01  |         |   |       |
| 101           | 5.220        | 0.0007057    | 0.350462E+01  | 0.994527E+00 | 0.107780E-01  |         |   |       |
| 105           | 6.354        | 0.0008589    | 0.463580E+01  | 0.999594E+00 | 0.102320E-02  |         |   |       |
| 109           | 7.731        | 0.0010452    | 0.601351E+01  | 0.100000E+01 | 0.203100E-04  |         |   |       |
| 109           | 7.731        | 0.0010452    | 0.601351E+01  | 0.100000E+01 | 0.203100E-04  |         |   |       |
| EnTh          | Theta        | Delta*       | H             | Cf           |               |         |   |       |
| 0.1411183E-03 | 0.897579E-04 | 0.232243E-03 | 0.258744E+01  | 0.225762E-02 |               |         |   |       |
| REnTh         | RTheta       | RDelta*      | d99           | P2           |               |         |   |       |
| 0.309013E+03  | 0.196457E+03 | 0.508321E+03 | 0.639567E-03  | 0.140922E-02 |               |         |   |       |

-----

NX = 7 S = 0.487 X-Sehne = 0.487

Re(x) = 0.106430E+07 Ue(x) = 33.0000

GG = 0.313800E+05 UEINTG = 0.135746E-01 EXPTM = 0.190409E+03

V-WAND = 0.157778E+01 DELTA V = 0.178961E+00

V-WAND = 0.175674E+01 DELTA V = -0.681093E-03

Transf.GS-Dicke = 1 Punkt(e) hinzusefuest

V-WAND = 0.175606E+01 DELTA V = -0.358483E-05

Transf.GS-Dicke = 1 Punkt(e) hinzusefuest

V-WAND = 0.175605E+01 DELTA V = -0.170793E-05

| J  | ETA   | Y         | F            | U            | V            | B            |
|----|-------|-----------|--------------|--------------|--------------|--------------|
| 1  | 0.000 | 0.0000000 | 0.000000E+00 | 0.000000E+00 | 0.175605E+01 | 0.100000E+01 |
| 5  | 0.009 | 0.0000041 | 0.652430E-04 | 0.151369E-01 | 0.175589E+01 | 0.100000E+01 |
| 9  | 0.019 | 0.0000090 | 0.320230E-03 | 0.335337E-01 | 0.175557E+01 | 0.100008E+01 |
| 13 | 0.032 | 0.0000150 | 0.889674E-03 | 0.558866E-01 | 0.175441E+01 | 0.100061E+01 |
| 17 | 0.047 | 0.0000223 | 0.196493E-02 | 0.830182E-01 | 0.175011E+01 | 0.100291E+01 |
| 21 | 0.066 | 0.0000312 | 0.383623E-02 | 0.115837E+00 | 0.173622E+01 | 0.101073E+01 |
| 25 | 0.089 | 0.0000420 | 0.693691E-02 | 0.155157E+00 | 0.169752E+01 | 0.103349E+01 |
| 29 | 0.117 | 0.0000551 | 0.118959E-01 | 0.201195E+00 | 0.160634E+01 | 0.109177E+01 |
| 33 | 0.151 | 0.0000711 | 0.195806E-01 | 0.252710E+00 | 0.143407E+01 | 0.122229E+01 |
| 37 | 0.192 | 0.0000905 | 0.310992E-01 | 0.306555E+00 | 0.118664E+01 | 0.147591E+01 |
| 41 | 0.242 | 0.0001140 | 0.477607E-01 | 0.358740E+00 | 0.912412E+00 | 0.191632E+01 |
| 45 | 0.302 | 0.0001427 | 0.710397E-01 | 0.406089E+00 | 0.662763E+00 | 0.262864E+01 |
| 49 | 0.376 | 0.0001775 | 0.102596E+00 | 0.447316E+00 | 0.471285E+00 | 0.366913E+01 |
| 53 | 0.466 | 0.0002198 | 0.144394E+00 | 0.483250E+00 | 0.342935E+00 | 0.497880E+01 |
| 57 | 0.575 | 0.0002713 | 0.198903E+00 | 0.515632E+00 | 0.258961E+00 | 0.648489E+01 |
| 61 | 0.707 | 0.0003338 | 0.269279E+00 | 0.545655E+00 | 0.198703E+00 | 0.832184E+01 |
| 65 | 0.868 | 0.0004098 | 0.359485E+00 | 0.573598E+00 | 0.151526E+00 | 0.108286E+02 |

|     |        |           |              |              |              |              |
|-----|--------|-----------|--------------|--------------|--------------|--------------|
| 69  | 1.064  | 0.0005022 | 0.474384E+00 | 0.599402E+00 | 0.114862E+00 | 0.143383E+01 |
| 73  | 1.302  | 0.0006145 | 0.619934E+00 | 0.623219E+00 | 0.874563E-01 | 0.190607E+01 |
| 77  | 1.591  | 0.0007510 | 0.803481E+00 | 0.645510E+00 | 0.728969E-01 | 0.230728E+01 |
| 81  | 1.942  | 0.0009170 | 0.103478E+01 | 0.669638E+00 | 0.586484E-01 | 0.286248E+01 |
| 85  | 2.370  | 0.0011186 | 0.132597E+01 | 0.692665E+00 | 0.455160E-01 | 0.364665E+01 |
| 89  | 2.889  | 0.0013638 | 0.169106E+01 | 0.712699E+00 | 0.362748E-01 | 0.448220E+01 |
| 93  | 3.520  | 0.0016617 | 0.214807E+01 | 0.735224E+00 | 0.350801E-01 | 0.448220E+01 |
| 97  | 4.287  | 0.0020239 | 0.272235E+01 | 0.761594E+00 | 0.336859E-01 | 0.448220E+01 |
| 101 | 5.220  | 0.0024642 | 0.344702E+01 | 0.792291E+00 | 0.321484E-01 | 0.448220E+01 |
| 105 | 6.354  | 0.0029993 | 0.436534E+01 | 0.827556E+00 | 0.299755E-01 | 0.448220E+01 |
| 109 | 7.731  | 0.0036497 | 0.553296E+01 | 0.866512E+00 | 0.264223E-01 | 0.448220E+01 |
| 113 | 9.406  | 0.0044403 | 0.701881E+01 | 0.906501E+00 | 0.212598E-01 | 0.448220E+01 |
| 117 | 11.442 | 0.0054013 | 0.890372E+01 | 0.943358E+00 | 0.150659E-01 | 0.448220E+01 |
| 121 | 13.916 | 0.0065694 | 0.112768E+02 | 0.972318E+00 | 0.869898E-02 | 0.448220E+01 |
| 125 | 16.924 | 0.0079892 | 0.142318E+02 | 0.990330E+00 | 0.380578E-02 | 0.448220E+01 |
| 129 | 20.580 | 0.0097150 | 0.178698E+02 | 0.998204E+00 | 0.909140E-03 | 0.448220E+01 |
| 131 | 22.694 | 0.0107127 | 0.199815E+02 | 0.100000E+01 | 0.661461E-03 | 0.448220E+01 |

|              |              |              |              |              |
|--------------|--------------|--------------|--------------|--------------|
| EnTh         | Theta        | Delta*       | H            | Cf           |
| 0.157630E-02 | 0.897128E-03 | 0.128023E-02 | 0.142703E+01 | 0.340435E-02 |

|              |              |              |              |              |
|--------------|--------------|--------------|--------------|--------------|
| REnth        | RTheta       | RDeltak*     | d99          | P2           |
| 0.344489E+04 | 0.196061E+04 | 0.279784E+04 | 0.760783E-02 | 0.177092E-01 |

2. Version : 37 Eta Punkte an der 1. x-Stelle

|    |   |   |   |   |       |         |   |       |
|----|---|---|---|---|-------|---------|---|-------|
| NX | = | 2 | S | = | 0.040 | X-Sehne | = | 0.040 |
|----|---|---|---|---|-------|---------|---|-------|

|       |   |              |       |   |         |
|-------|---|--------------|-------|---|---------|
| Re(x) | = | 0.875497E+05 | Ue(x) | = | 33.0500 |
|-------|---|--------------|-------|---|---------|

|        |   |              |         |   |               |
|--------|---|--------------|---------|---|---------------|
| V-WAND | = | 0.330374E+00 | DELTA V | = | 0.217649E-02  |
| V-WAND | = | 0.332550E+00 | DELTA V | = | -0.209454E-05 |

| J  | ETA   | Y         | F            | U            | V             |
|----|-------|-----------|--------------|--------------|---------------|
| 1  | 0.000 | 0.0000000 | 0.000000E+00 | 0.000000E+00 | 0.332548E+00  |
| 5  | 0.049 | 0.0000067 | 0.402648E-03 | 0.163635E-01 | 0.332478E+00  |
| 9  | 0.132 | 0.0000179 | 0.291099E-02 | 0.439923E-01 | 0.332341E+00  |
| 13 | 0.273 | 0.0000369 | 0.123602E-01 | 0.906232E-01 | 0.331979E+00  |
| 17 | 0.510 | 0.0000689 | 0.431671E-01 | 0.169196E+00 | 0.330627E+00  |
| 21 | 0.910 | 0.0001231 | 0.137298E+00 | 0.300553E+00 | 0.324493E+00  |
| 25 | 1.587 | 0.0002145 | 0.413024E+00 | 0.511836E+00 | 0.296214E+00  |
| 29 | 2.729 | 0.0003689 | 0.117046E+01 | 0.795527E+00 | 0.191304E+00  |
| 33 | 4.656 | 0.0006297 | 0.293499E+01 | 0.983537E+00 | 0.271340E-01  |
| 37 | 7.917 | 0.0010702 | 0.618422E+01 | 0.100000E+01 | -0.514008E-05 |
| 37 | 7.917 | 0.0010702 | 0.618422E+01 | 0.100000E+01 | -0.514008E-05 |

|              |              |              |              |              |
|--------------|--------------|--------------|--------------|--------------|
| EnTh         | Theta        | Delta*       | H            | Cf           |
| 0.142521E-03 | 0.905956E-04 | 0.234211E-03 | 0.258523E+01 | 0.224780E-02 |

|              |              |              |              |              |
|--------------|--------------|--------------|--------------|--------------|
| REnth        | RTheta       | RDeltak*     | d99          | P2           |
| 0.311941E+03 | 0.198290E+03 | 0.512627E+03 | 0.629725E-03 | 0.140922E-02 |

|    |   |   |   |   |       |         |   |       |
|----|---|---|---|---|-------|---------|---|-------|
| NX | = | 7 | S | = | 0.487 | X-Sehne | = | 0.487 |
|----|---|---|---|---|-------|---------|---|-------|

|       |   |              |       |   |         |
|-------|---|--------------|-------|---|---------|
| Re(x) | = | 0.106430E+07 | Ue(x) | = | 33.0000 |
|-------|---|--------------|-------|---|---------|

GG = 0.313800E+05 UEINTG = 0.135746E-01 EXPTM = 0.190409E+03

V-WAND = 0.157366E+01 DELTA V = 0.177865E+00  
V-WAND = 0.175152E+01 DELTA V = -0.669788E-03

Transf.GS-Dicke = 1 Punkt(e) hinzugefuegt

V-WAND = 0.175085E+01 DELTA V = -0.818114E-05

| J  | ETA    | Y         | F            | U            | V            | B            |
|----|--------|-----------|--------------|--------------|--------------|--------------|
| 1  | 0.000  | 0.0000000 | 0.000000E+00 | 0.000000E+00 | 0.175084E+01 | 0.100000E+01 |
| 5  | 0.049  | 0.0000232 | 0.211902E-02 | 0.860734E-01 | 0.174407E+01 | 0.100337E+01 |
| 9  | 0.132  | 0.0000625 | 0.151502E-01 | 0.224768E+00 | 0.153038E+01 | 0.114230E+01 |
| 13 | 0.273  | 0.0001287 | 0.590695E-01 | 0.384010E+00 | 0.772155E+00 | 0.225423E+01 |
| 17 | 0.510  | 0.0002407 | 0.165527E+00 | 0.497309E+00 | 0.302727E+00 | 0.558677E+01 |
| 21 | 0.910  | 0.0004297 | 0.383149E+00 | 0.579912E+00 | 0.141865E+00 | 0.115273E+02 |
| 25 | 1.587  | 0.0007490 | 0.800112E+00 | 0.645811E+00 | 0.718837E-01 | 0.233294E+02 |
| 29 | 2.729  | 0.0012882 | 0.157694E+01 | 0.707437E+00 | 0.363263E-01 | 0.449629E+02 |
| 33 | 4.658  | 0.0021989 | 0.300716E+01 | 0.774141E+00 | 0.328706E-01 | 0.449629E+02 |
| 37 | 7.917  | 0.0037372 | 0.569329E+01 | 0.870980E+00 | 0.258048E-01 | 0.449629E+02 |
| 41 | 13.420 | 0.0063351 | 0.107903E+02 | 0.967421E+00 | 0.984828E-02 | 0.449629E+02 |
| 45 | 22.715 | 0.0107230 | 0.199955E+02 | 0.100000E+01 | 0.511925E-03 | 0.449629E+02 |
| 45 | 22.715 | 0.0107230 | 0.199955E+02 | 0.100000E+01 | 0.511925E-03 | 0.449629E+02 |

| EnTh         | Theta        | Delta*       | H            | Cf           |
|--------------|--------------|--------------|--------------|--------------|
| 0.158098E-02 | 0.899742E-03 | 0.128398E-02 | 0.142705E+01 | 0.339425E-02 |
| REnth        | RTheta       | RDelta*      | d99          | P2           |
| 0.345513E+04 | 0.196632E+04 | 0.280604E+04 | 0.722678E-02 | 0.177092E-01 |

Tabelle 7.1. Die Funktion  $f(\eta)$  der Grenzschicht an der längsangeströmten ebenen Platte, nach L. HOWARTH [11]

| $\eta = y / \sqrt{U_\infty x}$ | $f$     | $f' = u / U_\infty$ | $f''$   |
|--------------------------------|---------|---------------------|---------|
| 0                              | 0       | 0                   | 0.33206 |
| 0,2                            | 0,00664 | 0,06641             | 0,33199 |
| 0,4                            | 0,02656 | 0,13277             | 0,33147 |
| 0,6                            | 0,05974 | 0,19894             | 0,33008 |
| 0,8                            | 0,10611 | 0,26471             | 0,32739 |
| 1,0                            | 0,16557 | 0,32979             | 0,32301 |
| 1,2                            | 0,23795 | 0,39378             | 0,31659 |
| 1,4                            | 0,32298 | 0,45627             | 0,30787 |
| 1,6                            | 0,42032 | 0,51676             | 0,29667 |
| 1,8                            | 0,52952 | 0,57477             | 0,28293 |
| 2,0                            | 0,65003 | 0,62977             | 0,26675 |
| 2,2                            | 0,78120 | 0,68132             | 0,24835 |
| 2,4                            | 0,92230 | 0,72899             | 0,22809 |
| 2,6                            | 1,07252 | 0,77246             | 0,20646 |
| 2,8                            | 1,23099 | 0,81152             | 0,18401 |
| 3,0                            | 1,39682 | 0,84605             | 0,16136 |
| 3,2                            | 1,56911 | 0,87609             | 0,13913 |
| 3,4                            | 1,74696 | 0,90177             | 0,11788 |
| 3,6                            | 1,92954 | 0,92333             | 0,09809 |
| 3,8                            | 2,11605 | 0,94112             | 0,08013 |
| 4,0                            | 2,30576 | 0,95552             | 0,06424 |
| 4,2                            | 2,49806 | 0,96696             | 0,05052 |
| 4,4                            | 2,69238 | 0,97587             | 0,03897 |
| 4,6                            | 2,88826 | 0,98269             | 0,02948 |
| 4,8                            | 3,08534 | 0,98779             | 0,02187 |
| 5,0                            | 3,28329 | 0,99155             | 0,01591 |
| 5,2                            | 3,48189 | 0,99425             | 0,01134 |
| 5,4                            | 3,68094 | 0,99616             | 0,00793 |
| 5,6                            | 3,88031 | 0,99748             | 0,00543 |
| 5,8                            | 4,07990 | 0,99838             | 0,00365 |
| 6,0                            | 4,27964 | 0,99898             | 0,00240 |
| 6,2                            | 4,47948 | 0,99937             | 0,00155 |
| 6,4                            | 4,67938 | 0,99961             | 0,00098 |
| 6,6                            | 4,87931 | 0,99977             | 0,00061 |
| 6,8                            | 5,07928 | 0,99987             | 0,00037 |
| 7,0                            | 5,27926 | 0,99992             | 0,00022 |
| 7,2                            | 5,47925 | 0,99996             | 0,00013 |
| 7,4                            | 5,67924 | 0,99998             | 0,00007 |
| 7,6                            | 5,87924 | 0,99999             | 0,00004 |
| 7,8                            | 6,07923 | 1,00000             | 0,00002 |
| 8,0                            | 6,27923 | 1,00000             | 0,00001 |
| 8,2                            | 6,47923 | 1,00000             | 0,00001 |
| 8,4                            | 6,67923 | 1,00000             | 0,00000 |
| 8,6                            | 6,87923 | 1,00000             | 0,00000 |

| J  | ETA   | Y         | F            | U            | V            |
|----|-------|-----------|--------------|--------------|--------------|
| 1  | 0.000 | 0.0000000 | 0.000000E+00 | 0.000000E+00 | 0.332020E+00 |
| 5  | 0.600 | 0.0000000 | 0.597165E-01 | 0.198878E+00 | 0.329981E+00 |
| 9  | 1.200 | 0.0000000 | 0.237835E+00 | 0.393593E+00 | 0.316455E+00 |
| 13 | 1.800 | 0.0000000 | 0.529187E+00 | 0.574428E+00 | 0.282823E+00 |
| 17 | 2.400 | 0.0000000 | 0.921625E+00 | 0.728558E+00 | 0.228084E+00 |
| 21 | 3.000 | 0.0000000 | 0.139576E+01 | 0.845637E+00 | 0.161467E+00 |
| 25 | 3.600 | 0.0000000 | 0.192815E+01 | 0.923038E+00 | 0.982374E-01 |
| 29 | 4.200 | 0.0000000 | 0.249644E+01 | 0.966806E+00 | 0.506297E-01 |
| 33 | 4.800 | 0.0000000 | 0.308361E+01 | 0.987738E+00 | 0.219122E-01 |
| 37 | 5.400 | 0.0000000 | 0.367917E+01 | 0.996150E+00 | 0.792549E-02 |
| 41 | 6.000 | 0.0000000 | 0.427786E+01 | 0.998980E+00 | 0.238920E-02 |
| 45 | 6.600 | 0.0000000 | 0.487754E+01 | 0.999775E+00 | 0.599198E-03 |
| 49 | 7.200 | 0.0000000 | 0.547747E+01 | 0.999961E+00 | 0.124815E-03 |
| 53 | 7.800 | 0.0000000 | 0.607746E+01 | 0.999997E+00 | 0.215572E-04 |
| 54 | 7.950 | 0.0000000 | 0.622746E+01 | 0.100000E+01 | 0.134931E-04 |

VII

1) Beispiel fuer eine moesliche Kommandoprozedur :

```
$ASS GEOEING.DAT FOR008
$ASS EINGABE.DAT FOR005
$ASS AUSGABE.DAT FOR006
$ASS PLOTAUS.DAT FOR007
$ASS/USER_MODE SYS$COMMAND SYS$INPUT
$R GSIG
$R GS2D
$ASS/USER_MODE SYS$COMMAND SYS$INPUT
$R GSPLT
```

Beispiel fuer die Benutzung der angesebenen Kommandoprozedur:

Aufruf:

@RG5

Das Programm meldet sich mit:

Wollen Sie eine Einsabedatei interaktiv erstellen ?  
<JA/NE>

JA

Einsabe der Anzahl der Wertepaare:  
7

Geben Sie x als Bogenlaenze ein ? <JA/NE>  
NE

Im folgenden muessen Wertetripel X,UE,R0 eingesgeben werden,  
entweder absolut oder bezogen auf die Koerperlaenze (X,R0)  
und auf die Anstroemsgeschwindigkeit.

Haben Sie fuer die Wertetripel eine Einsabedatei ?  
[ FOR008 ] ! <JA/NE>

NE

X(1) , UE(1) und R0(1) eingesen:  
0.,1.,0.  
X(2) , UE(2) und R0(2) eingesen:  
.1.,9875,0.  
X(3) , UE(3) und R0(3) eingesen:  
.2.,975,0.  
X(4) , UE(4) und R0(4) eingesen:  
.3.,9625,0.  
X(5) , UE(5) und R0(5) eingesen:  
.4.,95,0.

X(6) , UE(6) und R0(6) eingeben:  
.5,.935,0.  
X(7) , UE(7) und R0(7) eingeben:  
.55,.93125,0.

Einsaabe der Koerperlaense:  
.55

Sind die Einsabedaten auf L und Uo bezogen?  
<JA/NE>  
NE

Soll der Druckgradientparameter berechnet werden?  
Geben Sie : 1 fuer berechnen  
                  2 fuer Einsaabe  
1

Sollen Werte interpoliert werden ? <JA/NE>  
JA

Wollen Sie eine bestimmte Anzahl von Werten  
interpolieren ? <JA/NE>  
Bei NE wird jeweils ein Zwischenpunkt interpoliert  
NE

Geben Sie die von Karmansche Variable KAPPA ein.  
Bei KAPPA < 0.39 oder > 0.41 wird 0.4 gesetzt  
.395

Es sind jetzt Werte fuer 13 Stationen vorhanden.

Wo soll der Umschlasspunkt liegen ? [ x-Station im  
interpolierten System ]  
99

Geben Sie jetzt die Netzparameter VGF und DETA(1) ein  
1.0,0.2

Geben Sie die kinematische Zähigkeit ein  
1.5E-06

Quellen und Senken koennen versehn',  
aber die Grenzschichten bleiben bestehn'.

FORTRAN STOP

Bitte geben Sie die losische Nummer Ihrer  
Plotaussabedatei ein. <10:99>  
11

Sollen integrale Werte und Profile gezeichnet werden?  
<JA/NE>      Bei NEIN werden nur integrale Werte ge-  
                  flottet.  
JA

Ueberschrift einseben  
CEBECI FLOW 2

Wollen Sie die GS-Profile auf der Koerperoberflaeche  
zeichnen ? <JA/NE>

NE

Wollen Sie einzelne GS-Profile zeichnen?  
<JA/NE>

JA

Wollen Sie eine Auftresung in physikalischen oder in  
dimensionslosen Koordinaten ?

1 = physikalische Koordinaten

2 = dimensionslose --

1

Einsabe der x-Station des gewuenschten Profils:  
(Es wird jeweils das x-1,.x.,x+1. Profil gezeichnet,  
seben Sie also bitte eine Zahl zwischen [2;12] an  
4

Wollen Sie weitere Profile zeichnen ?

<JA/NE>

NE

Zur Erinnerung: Ihre Aussabedatei ist: FOR011  
FORTRAN STOP

\$

2) Beispiele fuer Einsabedateien fuer GS2D :

CEBECI FLOW 1

25,9,1,.025,1.14,1.5E-05  
0.39  
0  
0.00001 0.00001 1. 0.00001  
.005 12. 0. .007576  
.0125 15.075 0. .01894  
.025 16.71 0. .02615  
.05 17.61 0. .03555  
.075 17.16 0. .042  
.1 17.82 0. .04683  
.15 17.82 0. .05345  
.2 17.75 0. .05737  
.25 17.61 0. .05941  
.30 17.43 0. .06002  
.35 17.235 0. .05903  
.4 17.025 0. .05803  
.45 16.83 0. .05549  
.5 16.63 0. .05294

|     |        |    |        |
|-----|--------|----|--------|
| .55 | 16.41  | 0. | .04929 |
| .6  | 16.2   | 0. | .04563 |
| .65 | 16.005 | 0. | .04114 |
| .7  | 15.795 | 0. | .03664 |
| .75 | 15.57  | 0. | .03144 |
| .8  | 15.33  | 0. | .02623 |
| .85 | 15.0   | 0. | .02036 |
| .9  | 14.67  | 0. | .01448 |
| .95 | 14.28  | 0. | .00807 |
| 1.  | 13.725 | 0. | .00126 |
| 1.  |        |    |        |

### CEBEKI FLOW 2

12,99,2,0.2,1.0,1.5E-06  
.4  
0  
0.  
.05  
.1  
.15  
.2  
.25  
.3  
.35  
.4  
.45  
.5  
.55  
.55

|        |    |           |    |
|--------|----|-----------|----|
| 0.     | 1. | 0.        | 0. |
| .99375 |    | -0.006289 | 0. |
| .9875  |    | -0.012658 | 0. |
| .98125 |    | -0.019108 | 0. |
| .975   |    | -0.025641 | 0. |
| .96875 |    | -0.032258 | 0. |
| .9625  |    | -0.038961 | 0. |
| .95625 |    | -0.045752 | 0. |
| .95    |    | -0.052632 | 0. |
| .94375 |    | -0.059603 | 0. |
| .9375  |    | -0.066667 | 0. |
| .93125 |    | -0.073826 | 0. |

### PLATTE LAMINAR

6 10 2 .15 1. ,000015  
0.4  
0  
0.  
0.2  
0.4  
0.6  
0.8  
1.  
1.

PLATTE WIEGHARDT, TURBULENT 109 PKTE. AN DER ERSTEN X-STATION

25 3 1 .002 1.05 .0000151  
0.4  
0  
.0 33. 0. 0.  
.04 33.05 0. 0.  
.087 33.1 0. 0.  
.187 32.8 0. 0.  
.287 33. 0. 0.  
.387 32.8 0. 0.  
.487 33. 0. 0.  
.637 33. 0. 0.  
.787 33. 0. 0.  
.937 32.9 0. 0.  
1.087 33. 0. 0.  
1.237 33. 0. 0.  
1.437 32.9 0. 0.  
1.687 32.9 0. 0.  
1.987 33. 0. 0.  
2.287 33. 0. 0.  
2.587 32.9 0. 0.  
2.887 33. 0. 0.  
3.187 33. 0. 0.  
3.487 33. 0. 0.  
3.787 33. 0. 0.  
4.087 33. 0. 0.  
4.387 33. 0. 0.  
4.687 33.1 0. 0.  
4.987 33. 0. 0.  
5.

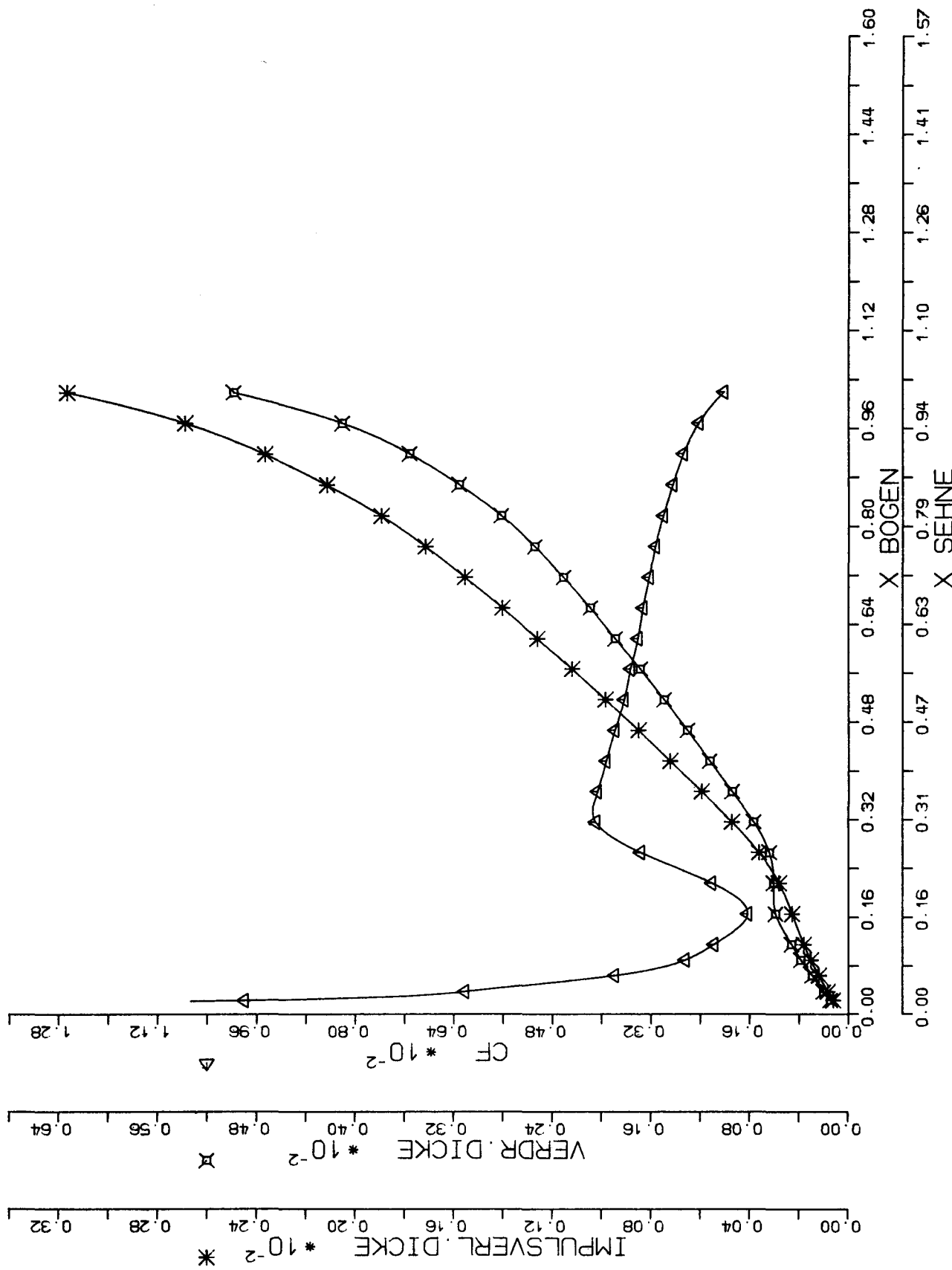
Versleich zwischen berechneten und gemessenen Grenzschichtdicken fuer Schubauer-Spannbergs Flow B (Beisp. 2.6)

| x-Stat. | x[m]  | d99(sem.[cm]) | d99(ber.[cm]) |
|---------|-------|---------------|---------------|
| 5       | .508  | 3.055         | .6641         |
| 7       | 1.016 | 4.171         | 1.6435        |
| 11      | 1.524 | 5.997         | 2.7559        |
| 15      | 2.032 | 8.269         | 4.3851        |
| 19      | 2.54  | 11.386        | 6.7307        |
| 23      | 3.068 | 16.597        | 8.8521        |

VIII

Graphische Darstellung der Berechnungs-  
ergebnisse

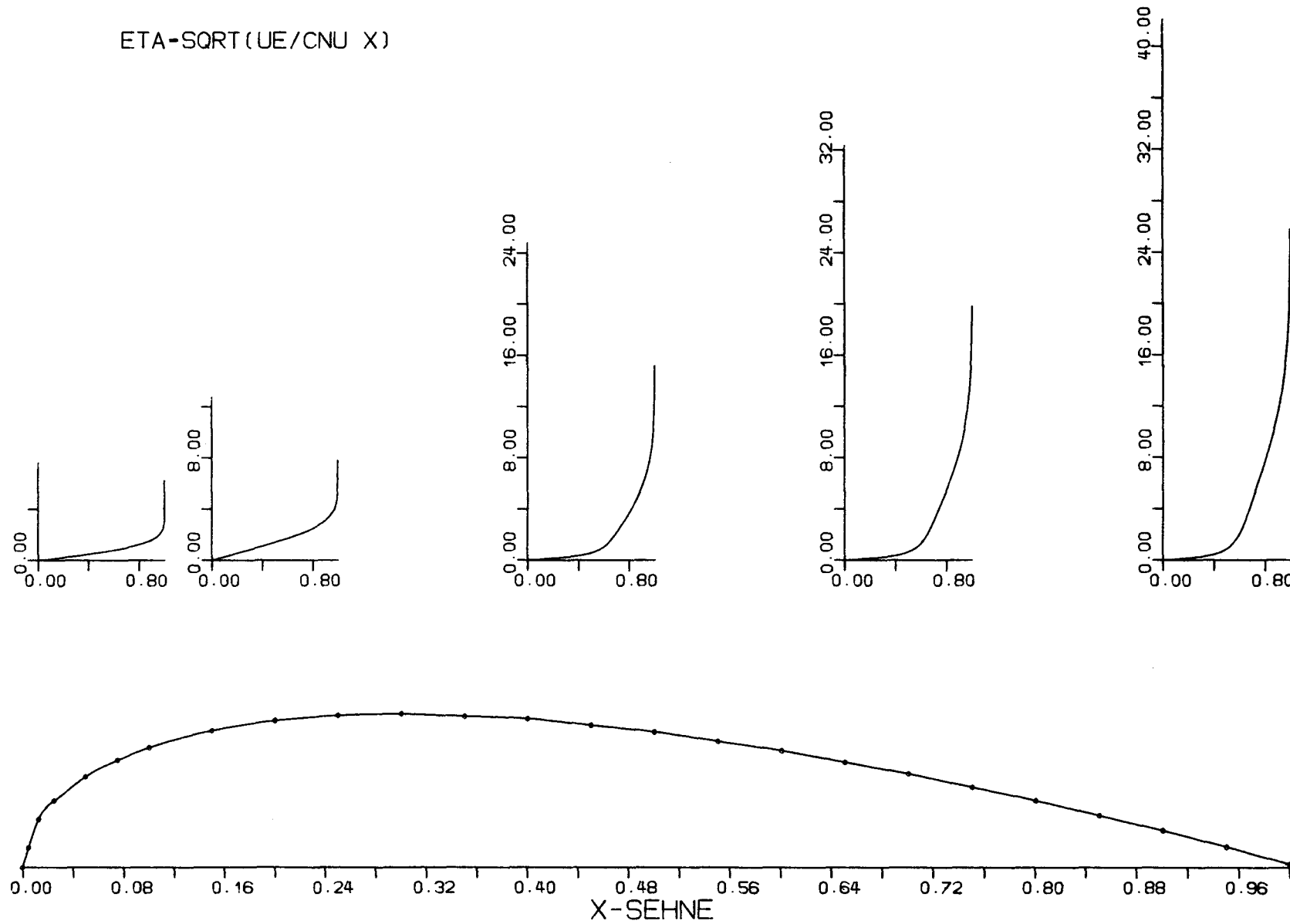
CEBECI FLOW 1 (NACA 0012)



CEBECI FLOW 1 (NACA 0012)

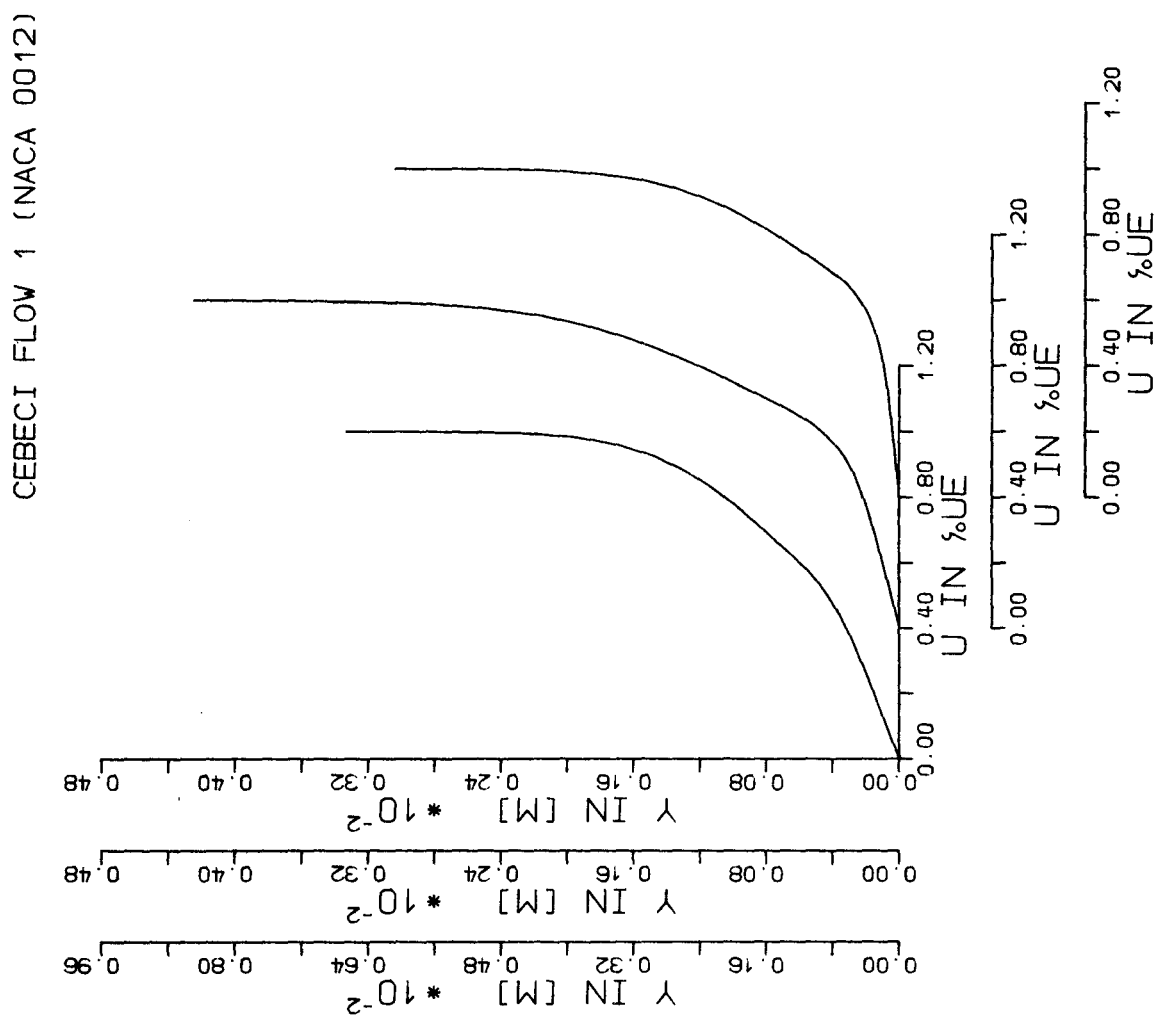
U IN %UE

ETA-SQRT(UE/CNU X)

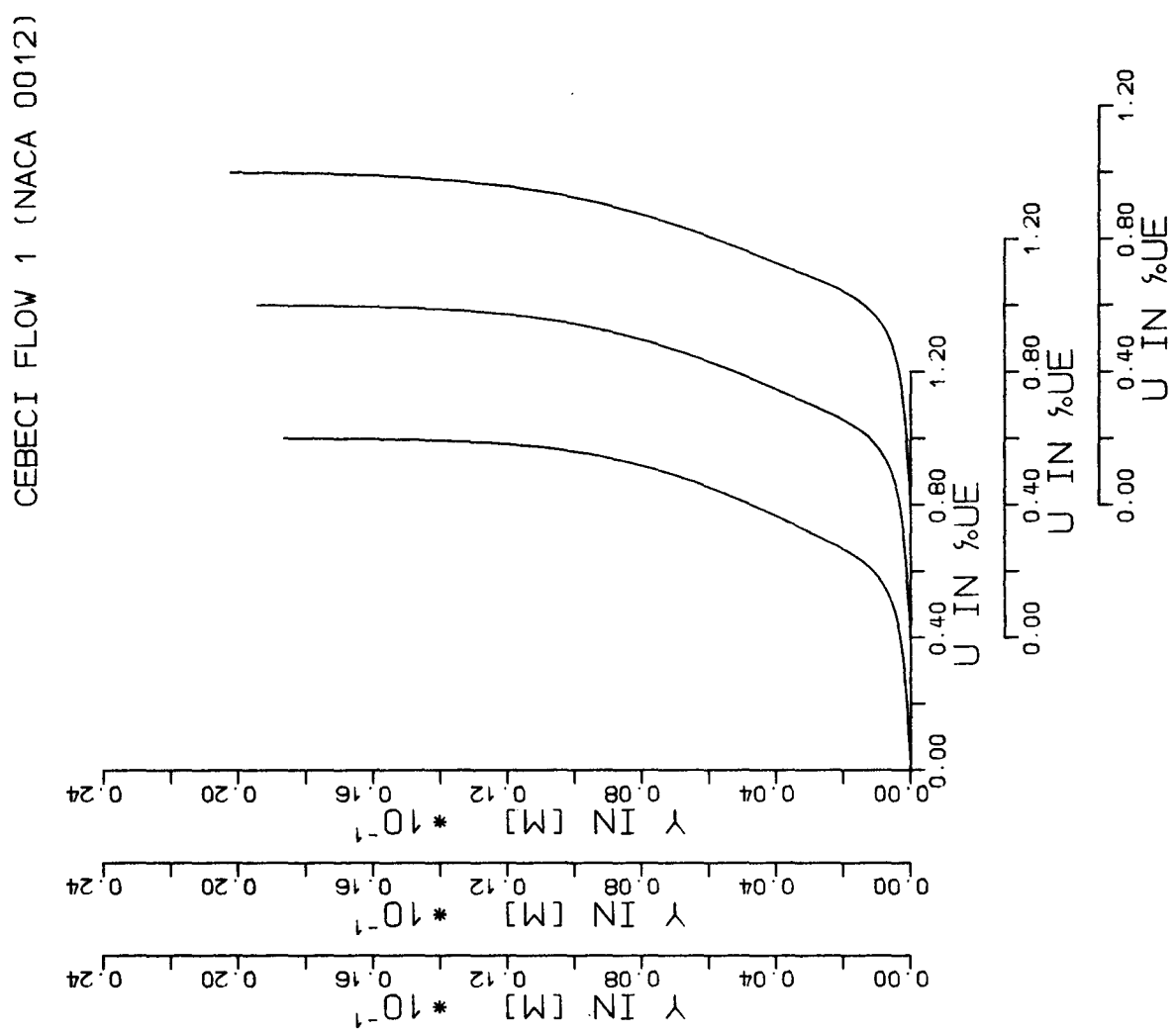


-60-

DIE X-STATIONEN SIND: 9. 10. 11.

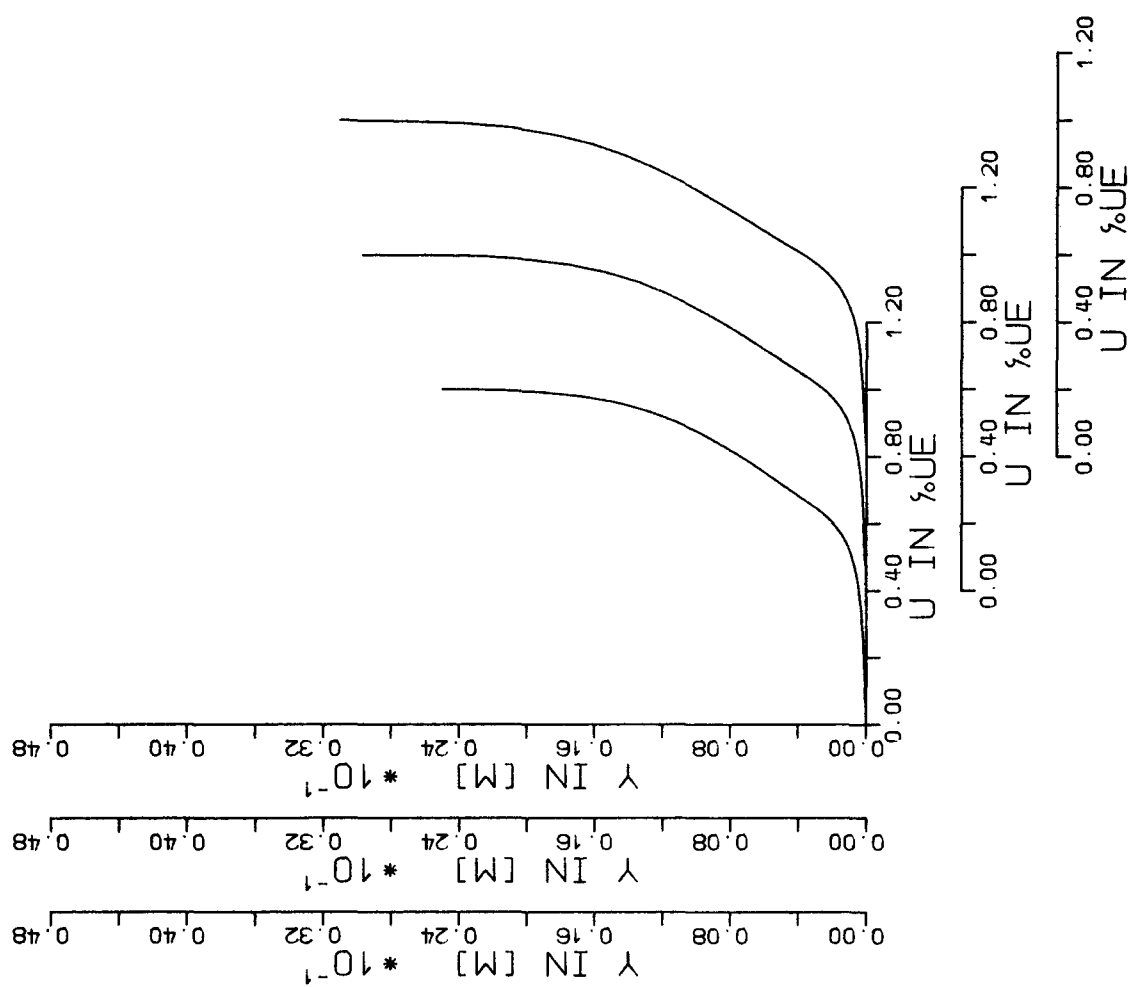


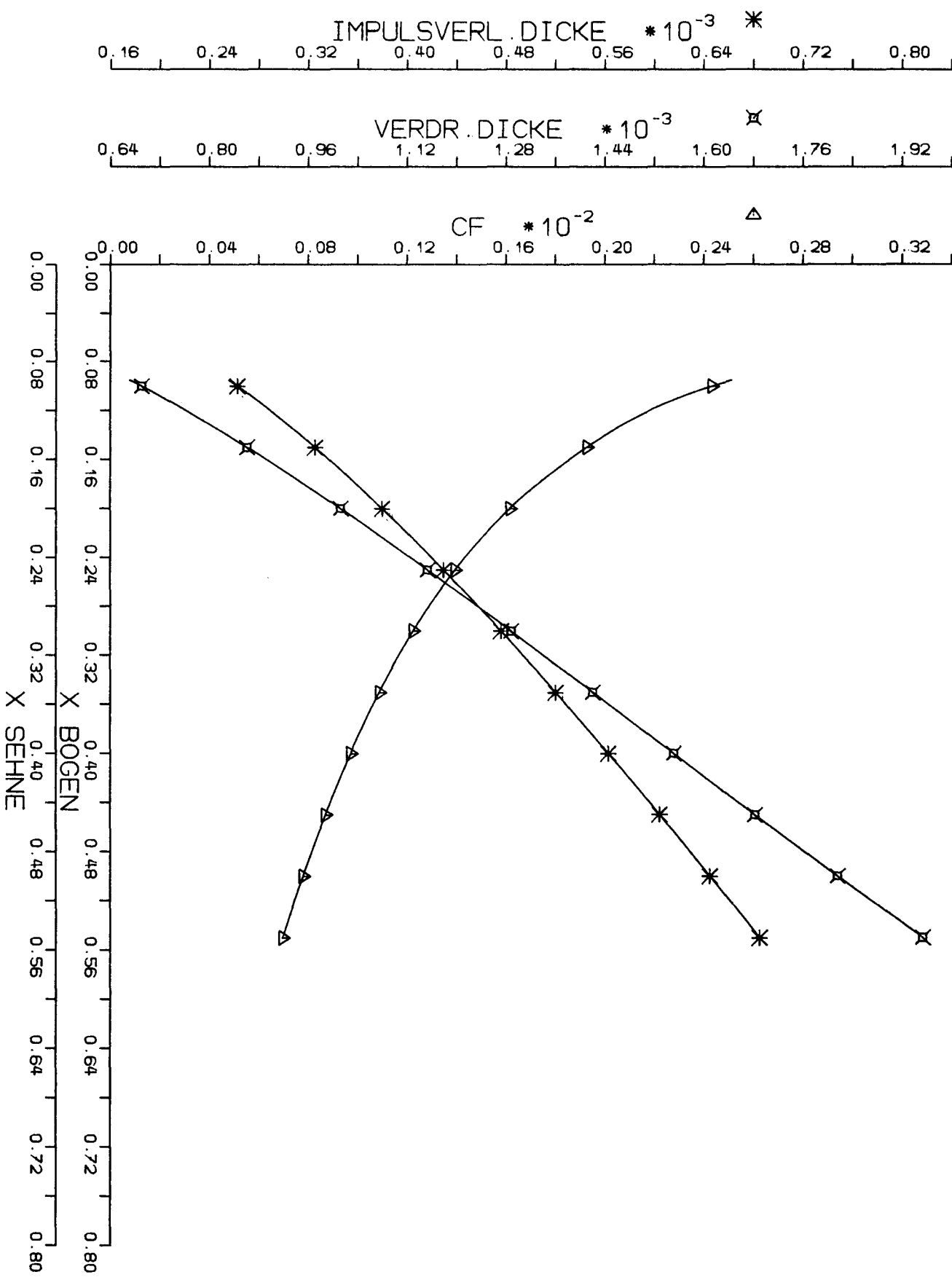
DIE X-STATIONEN SIND: 19. 20. 21.



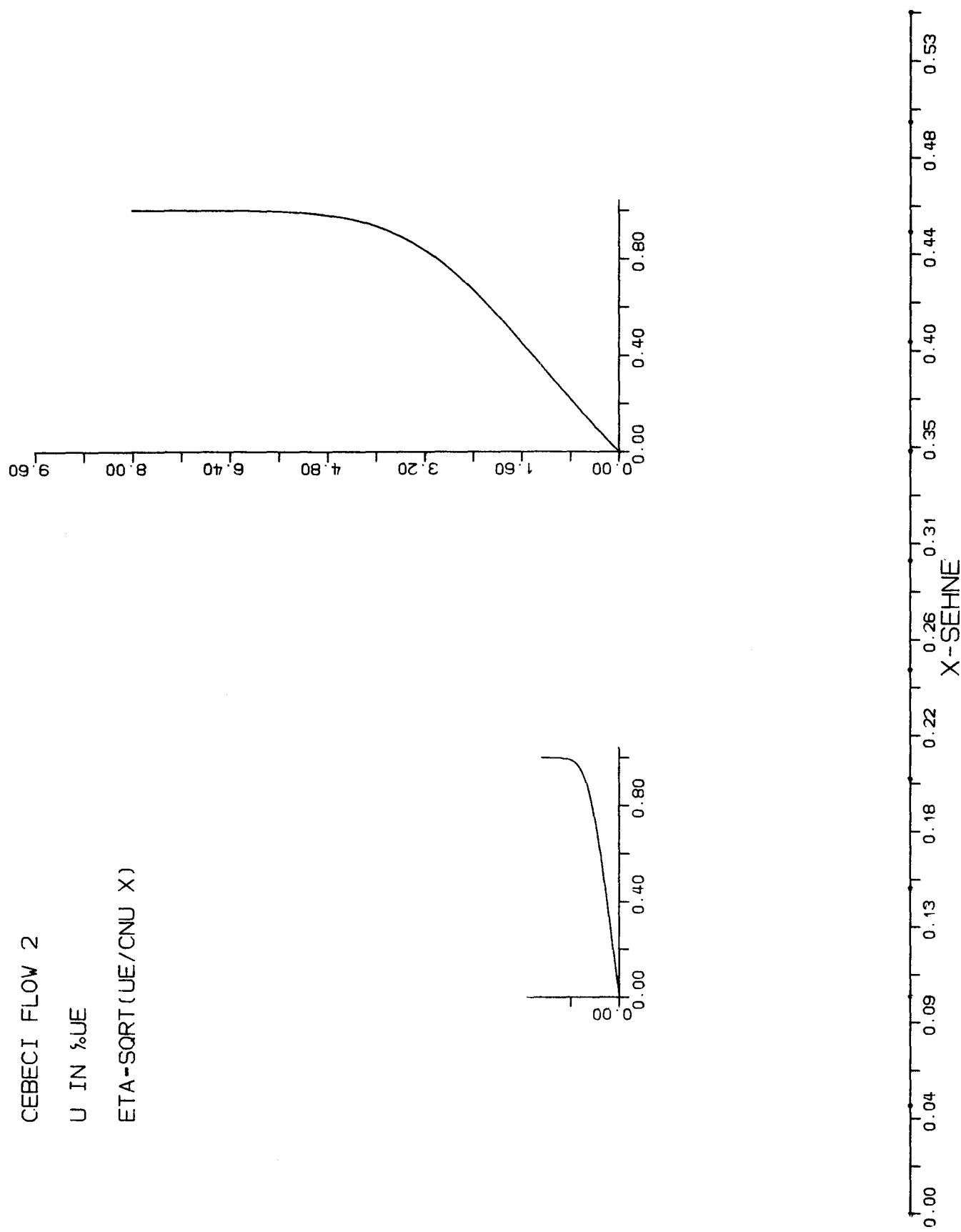
DIE X-STATIONEN SIND: 23, 24, 25.

CEBECI FLOW 1 (NACA 0012)



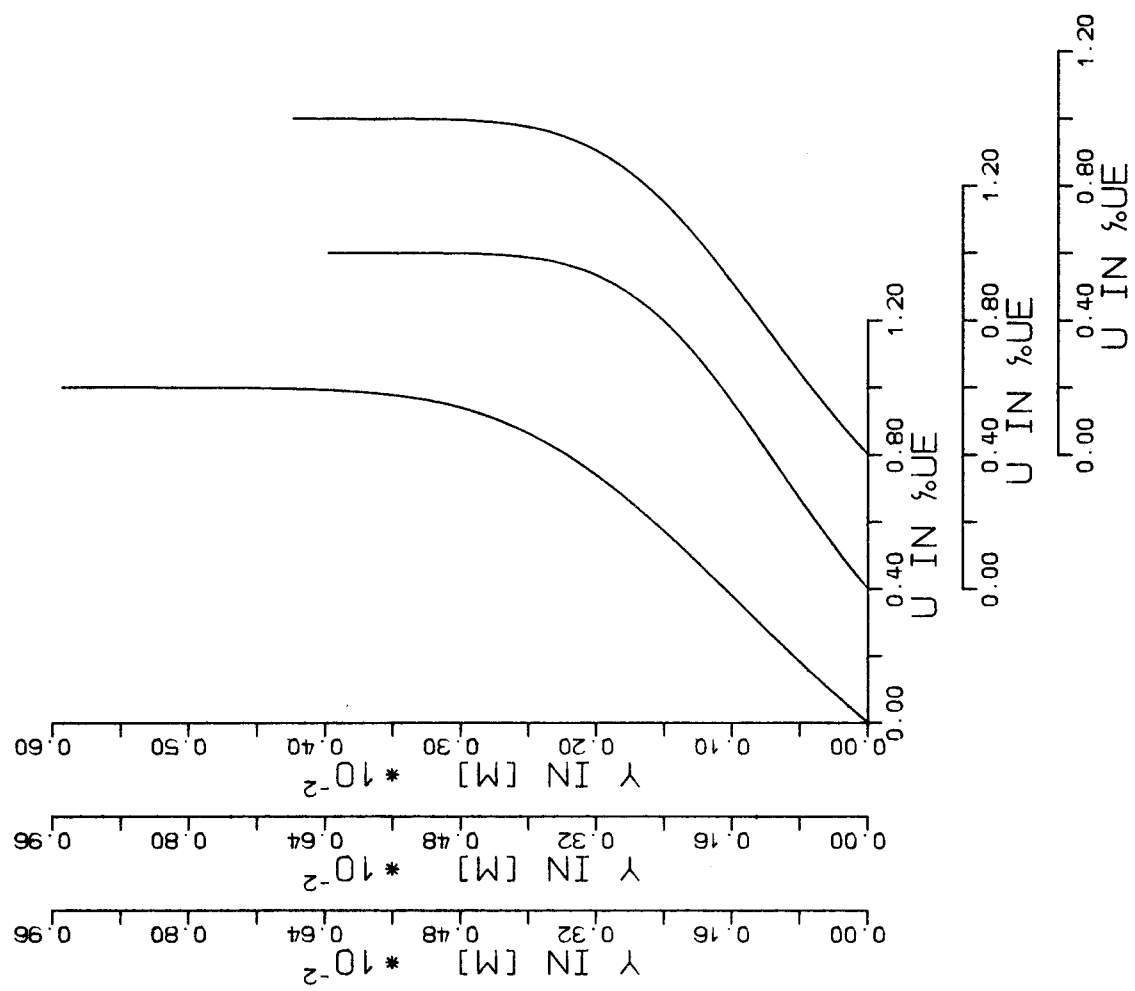


CEBECI FLOW 2  
U IN %UE  
ETA-SQRT(UE/CNU X)

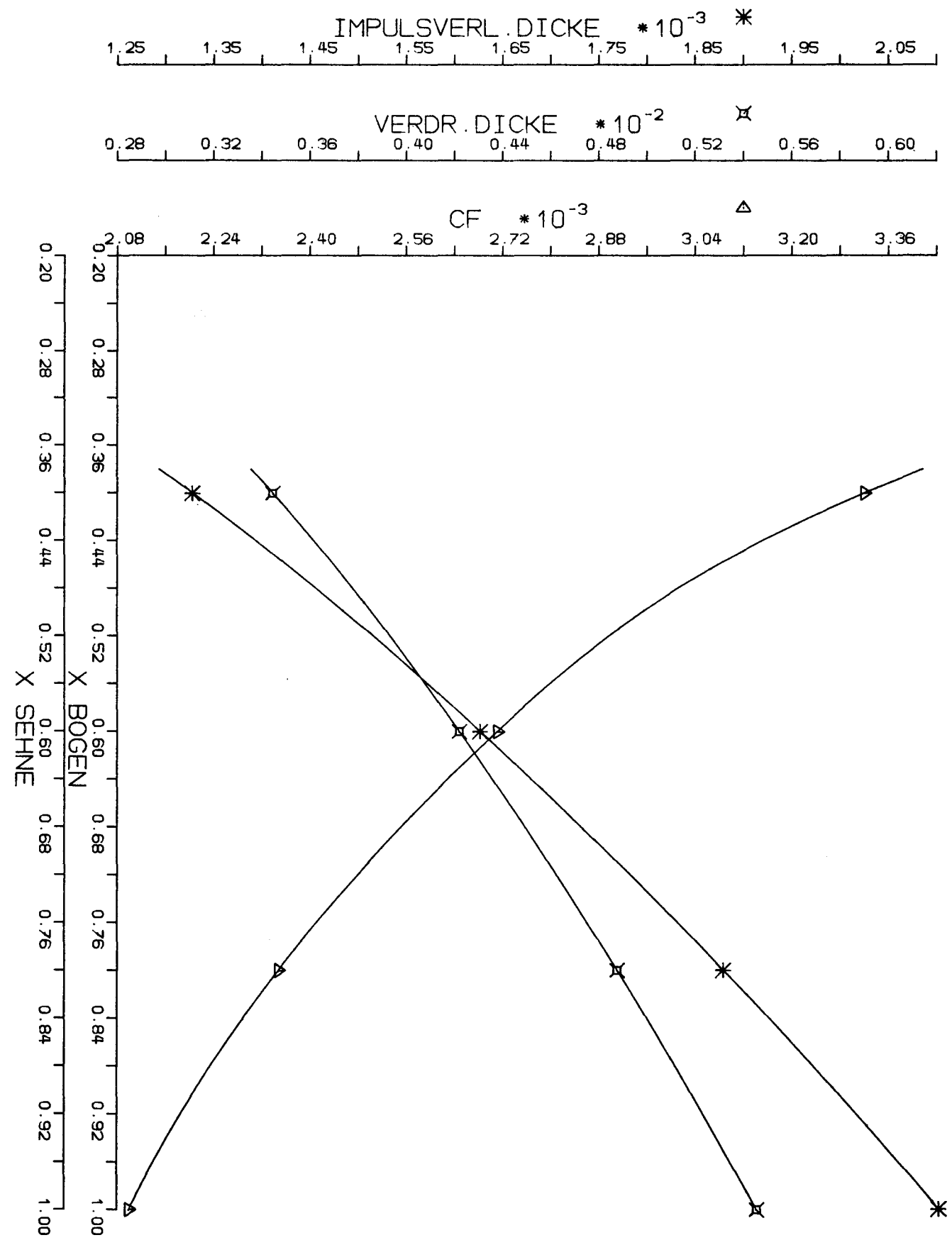


DIE X-STATIONEN SIND: 8. 9. 10.

CEBECI FLOW 2



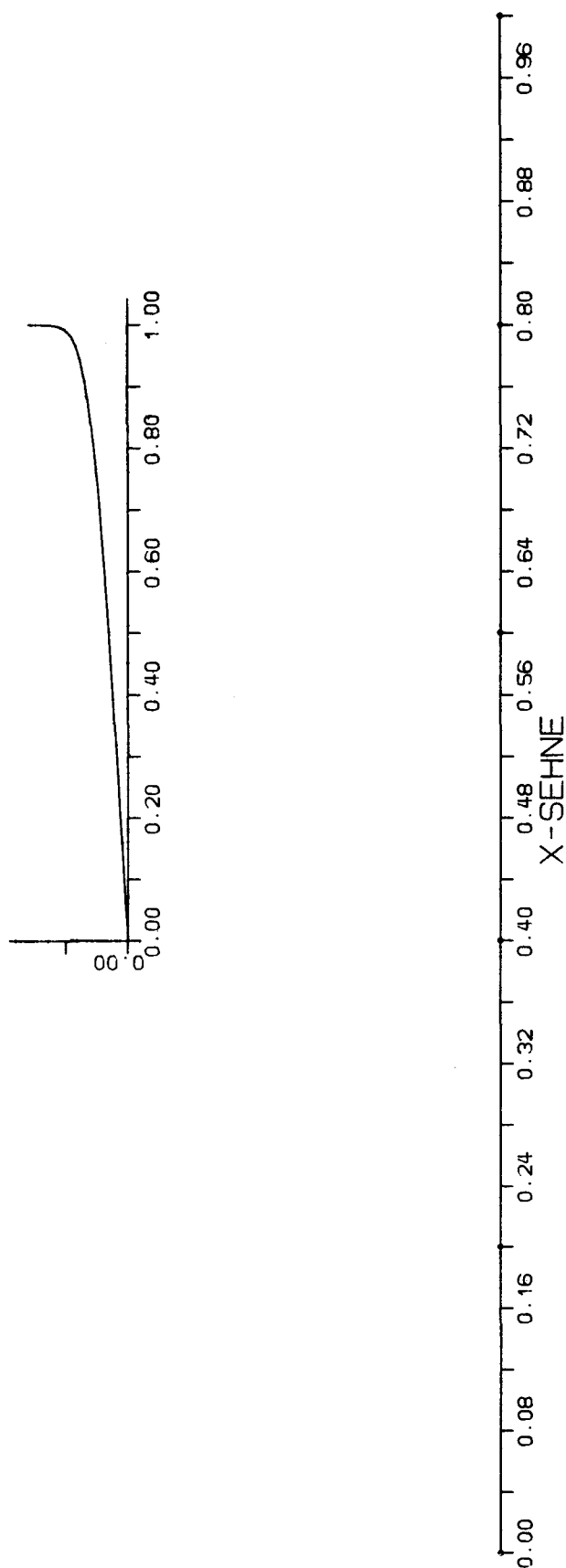
PLATTE LAMINAR



PLATTE LAMINAR

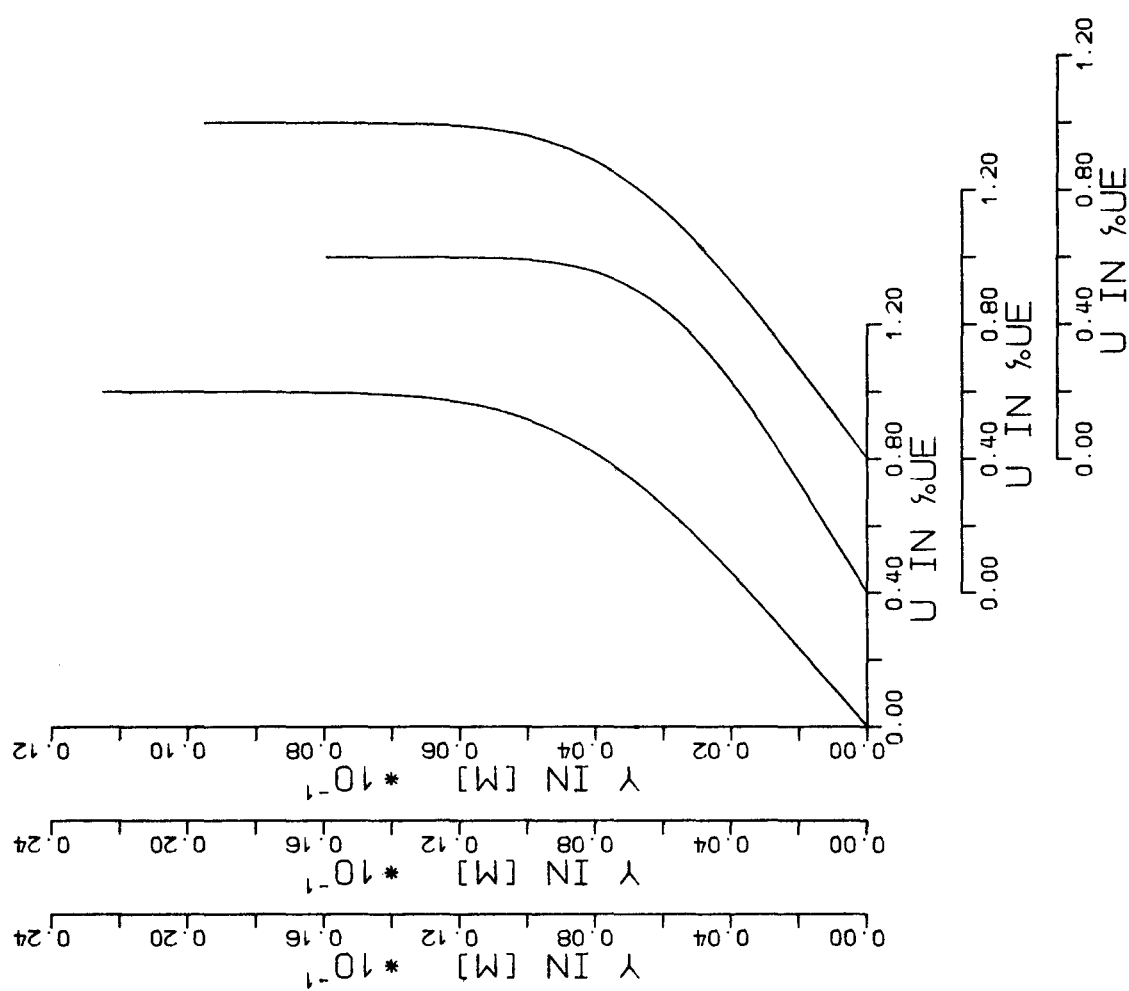
$U$  IN  $\%UE$

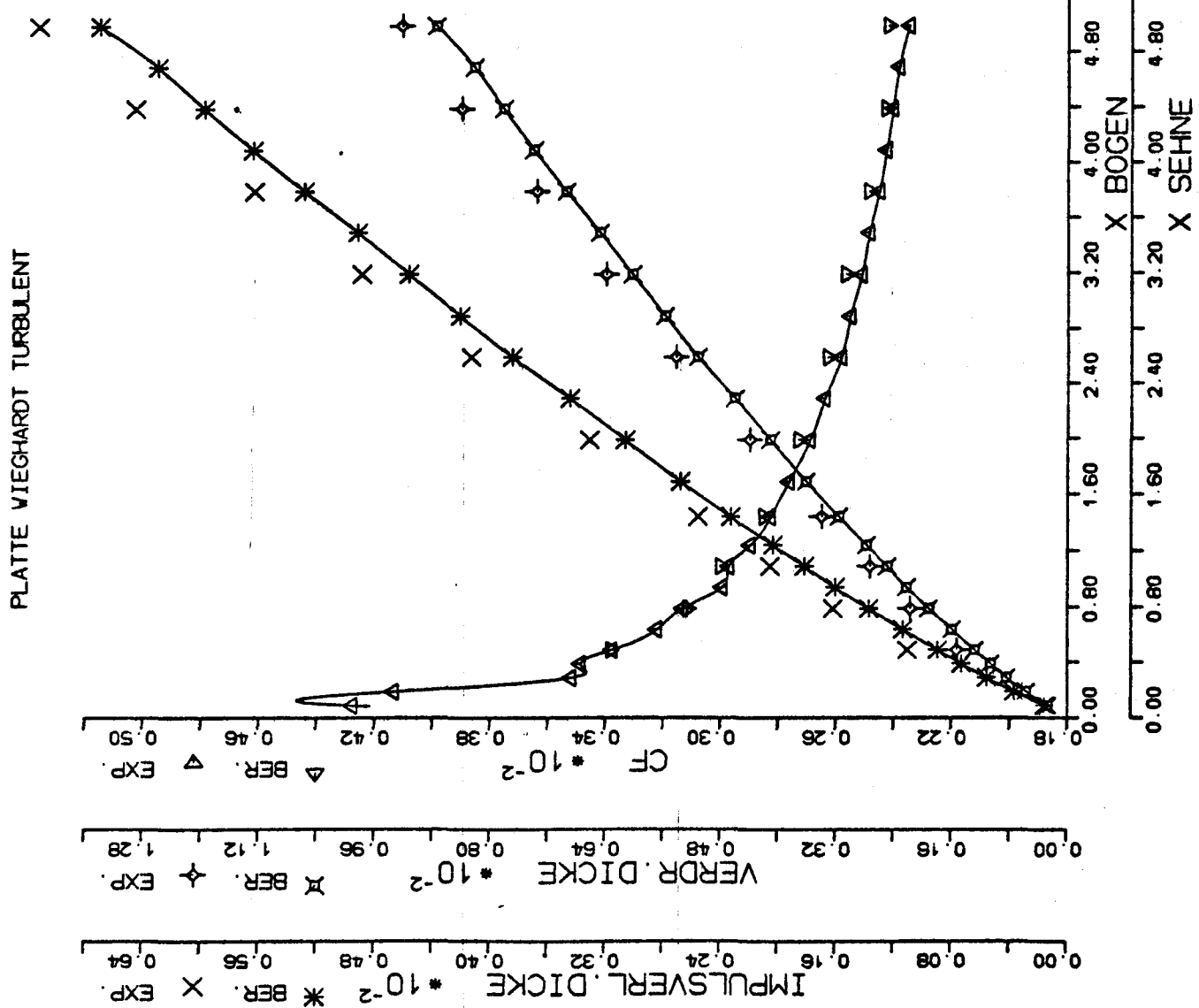
ETA-SQRT(UE/CNU X)



DIE X-STATIONEN SIND: 2.3.4.

PLATTE LAMINAR

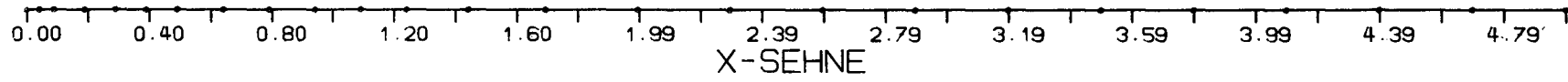
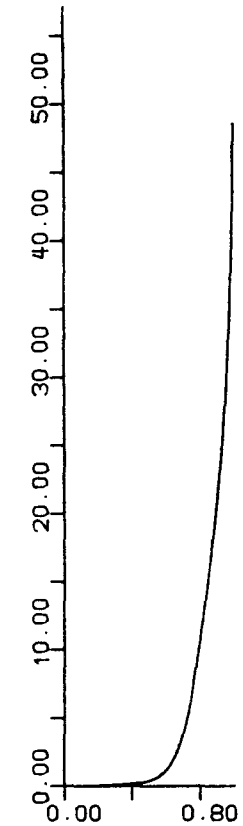
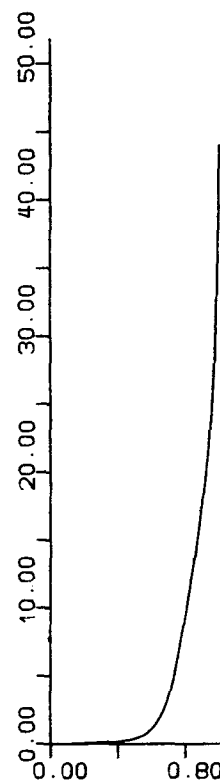
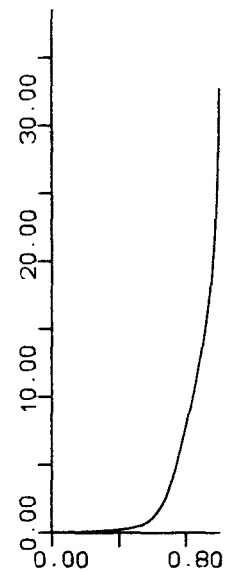
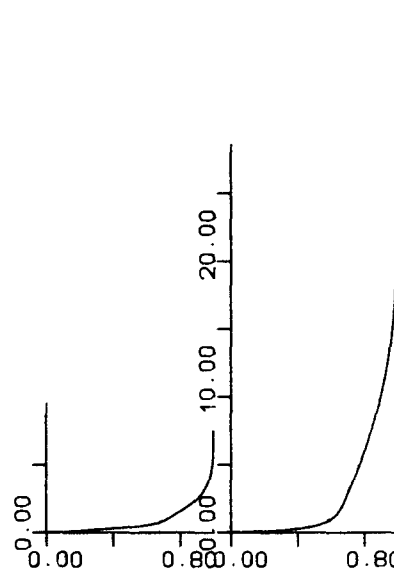




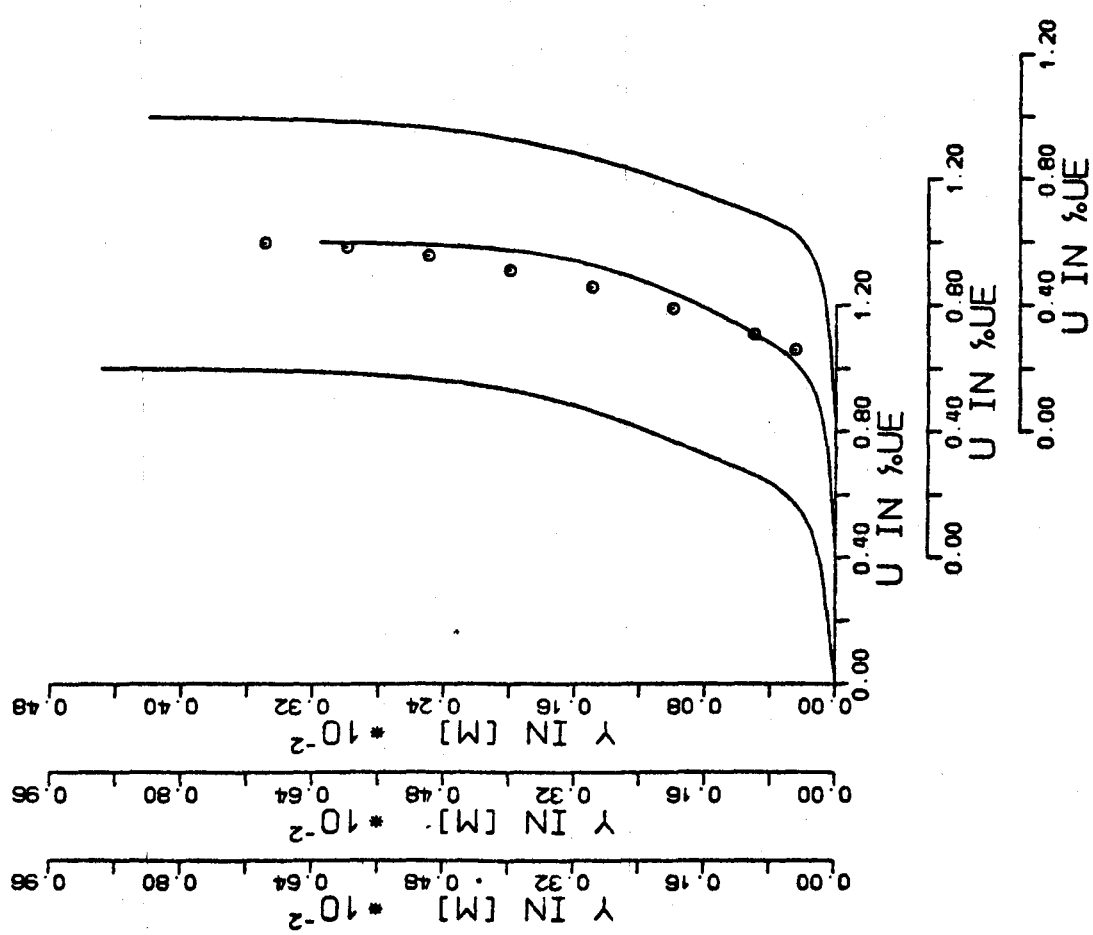
PLATTE WIEGHARDT TURBULENT

U IN %UE

ETA-SQRT(UE/CNU X)



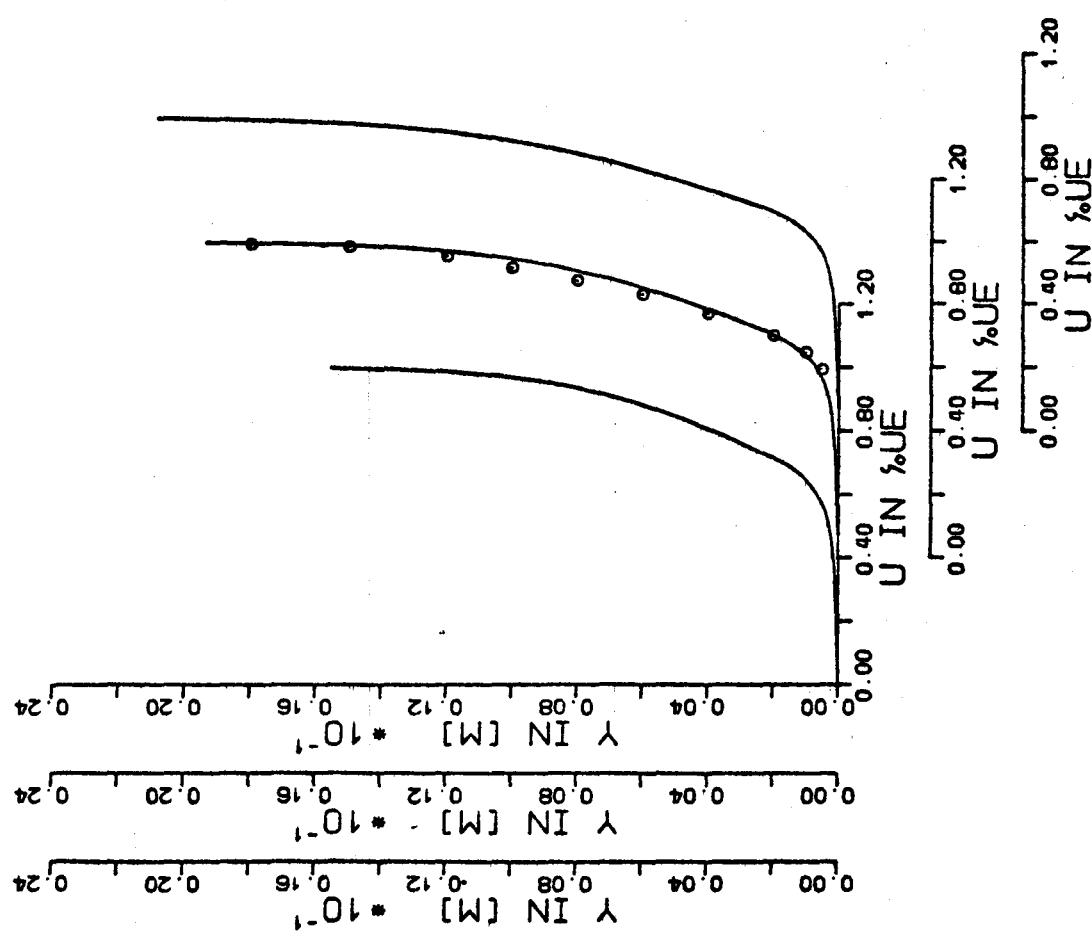
PLATTE WIEGHARDT TURBULENT



PLATTE WIEGHARDT TURBULENT

DIE X-STATIONEN SIND: 9. 10. 11.

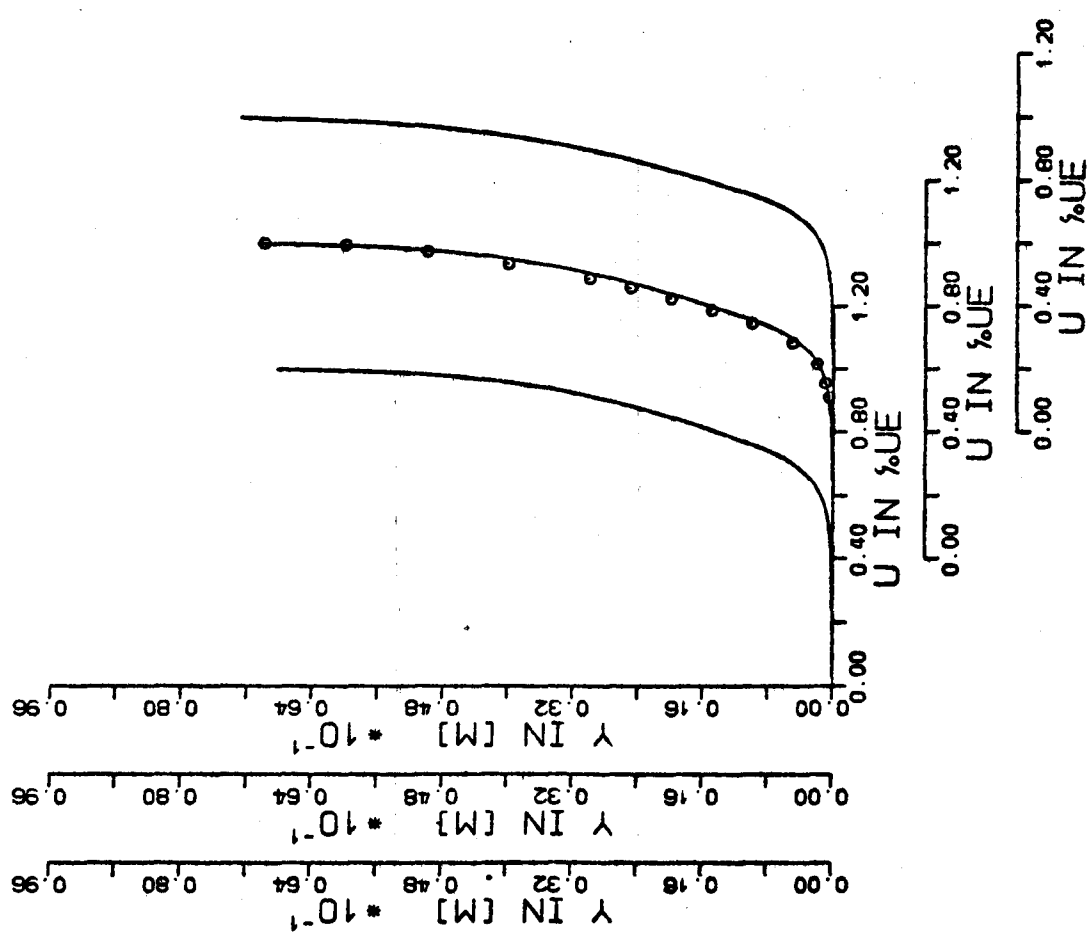
-72-



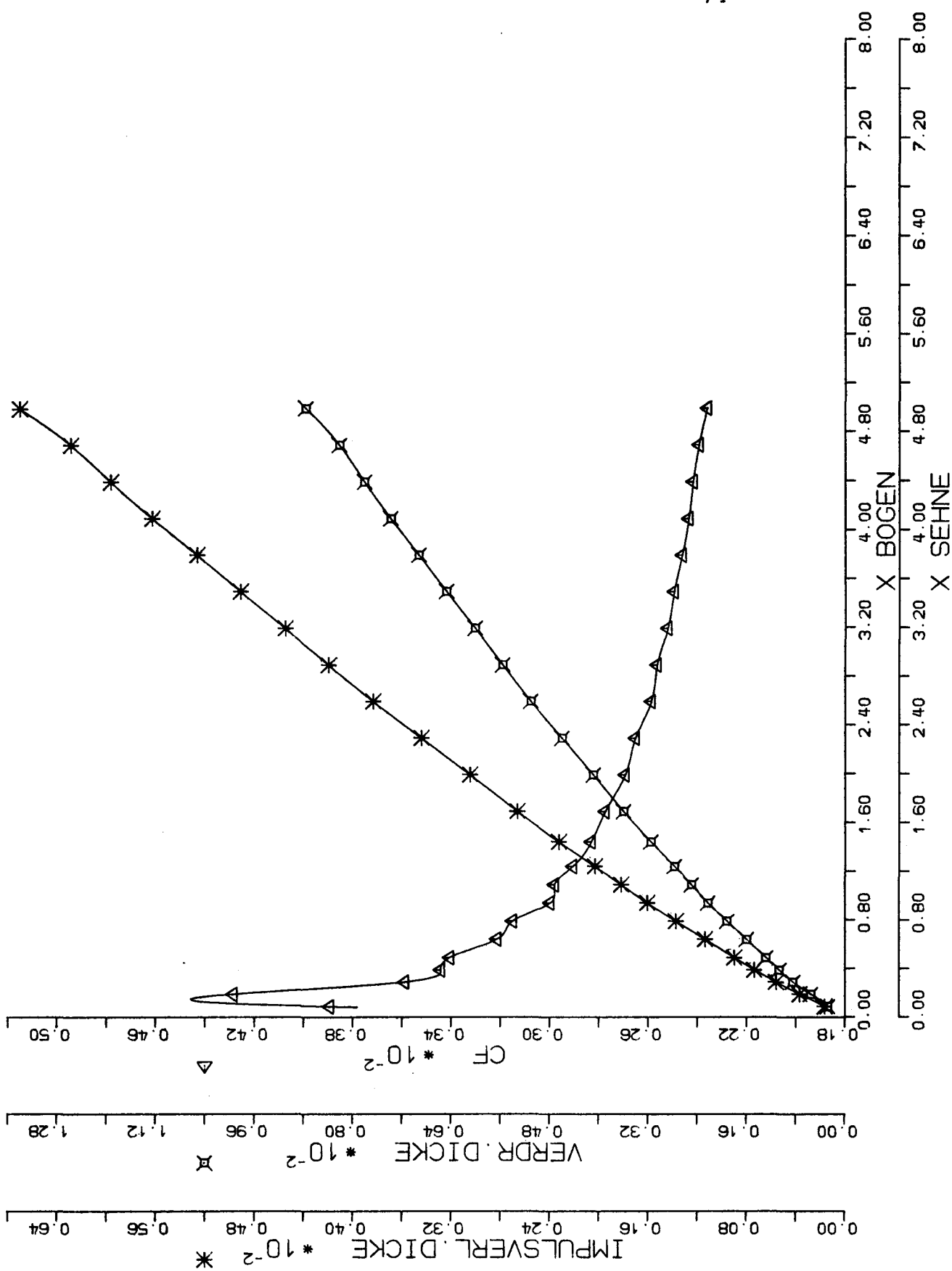
PLATTE VIEGHARDT TURBULENT

DIE X-STATIONEN SIND: 22.23.24.

-73-



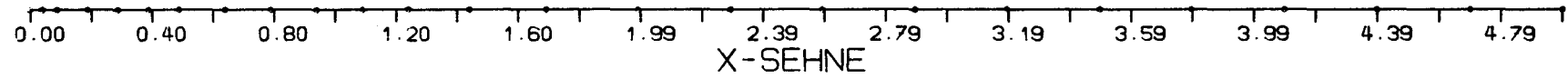
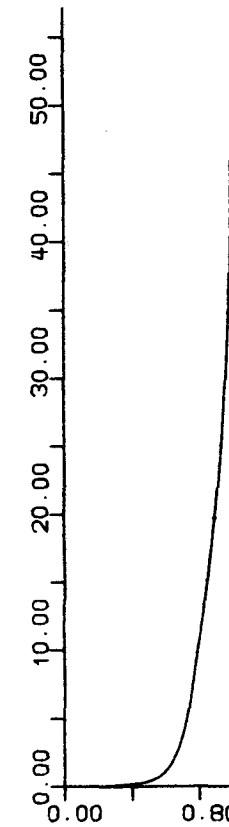
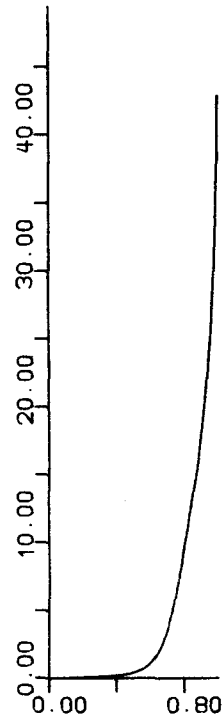
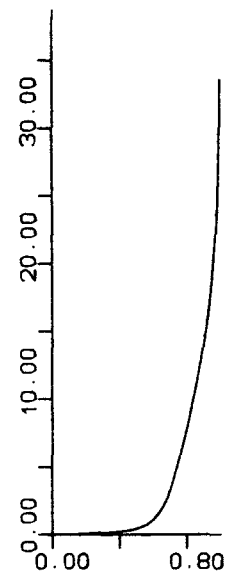
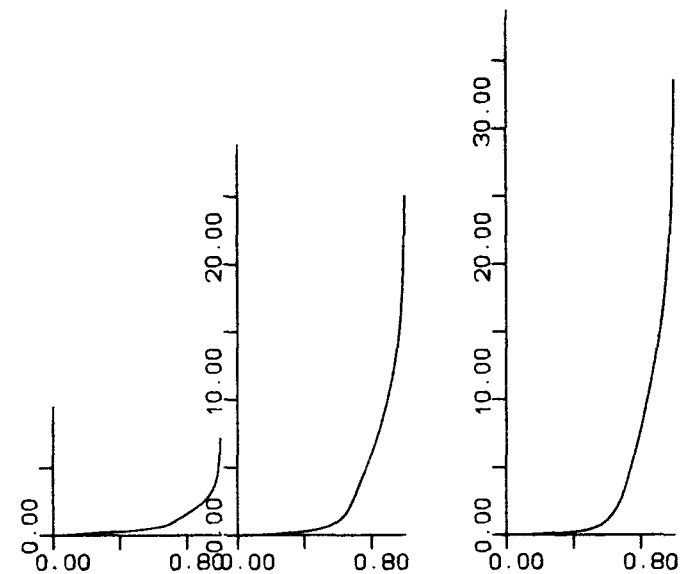
PLATTE TURB. ANDERE ETA-EINTEILUNG



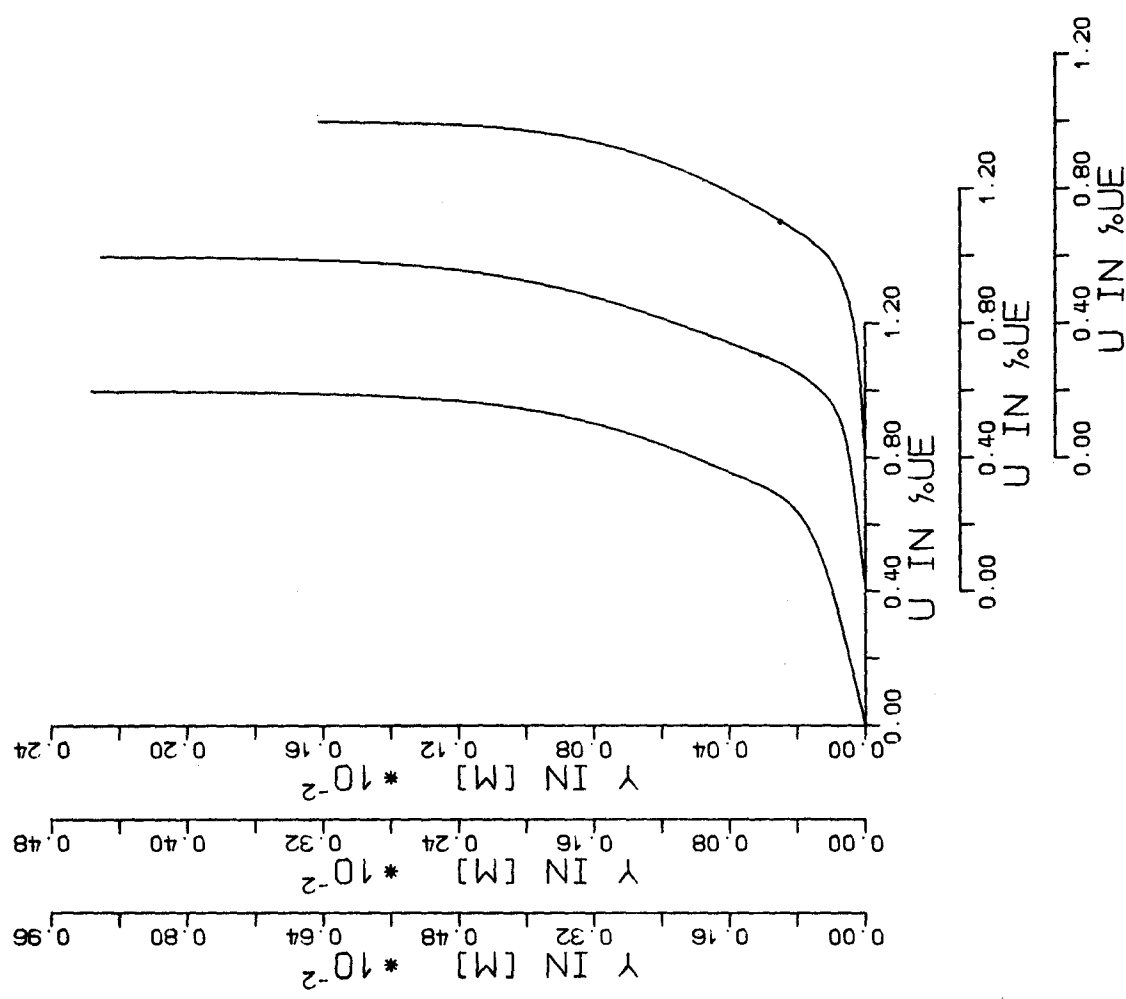
PLATTE TURB. ANDERE ETA-EINTEILUNG

U IN %UE

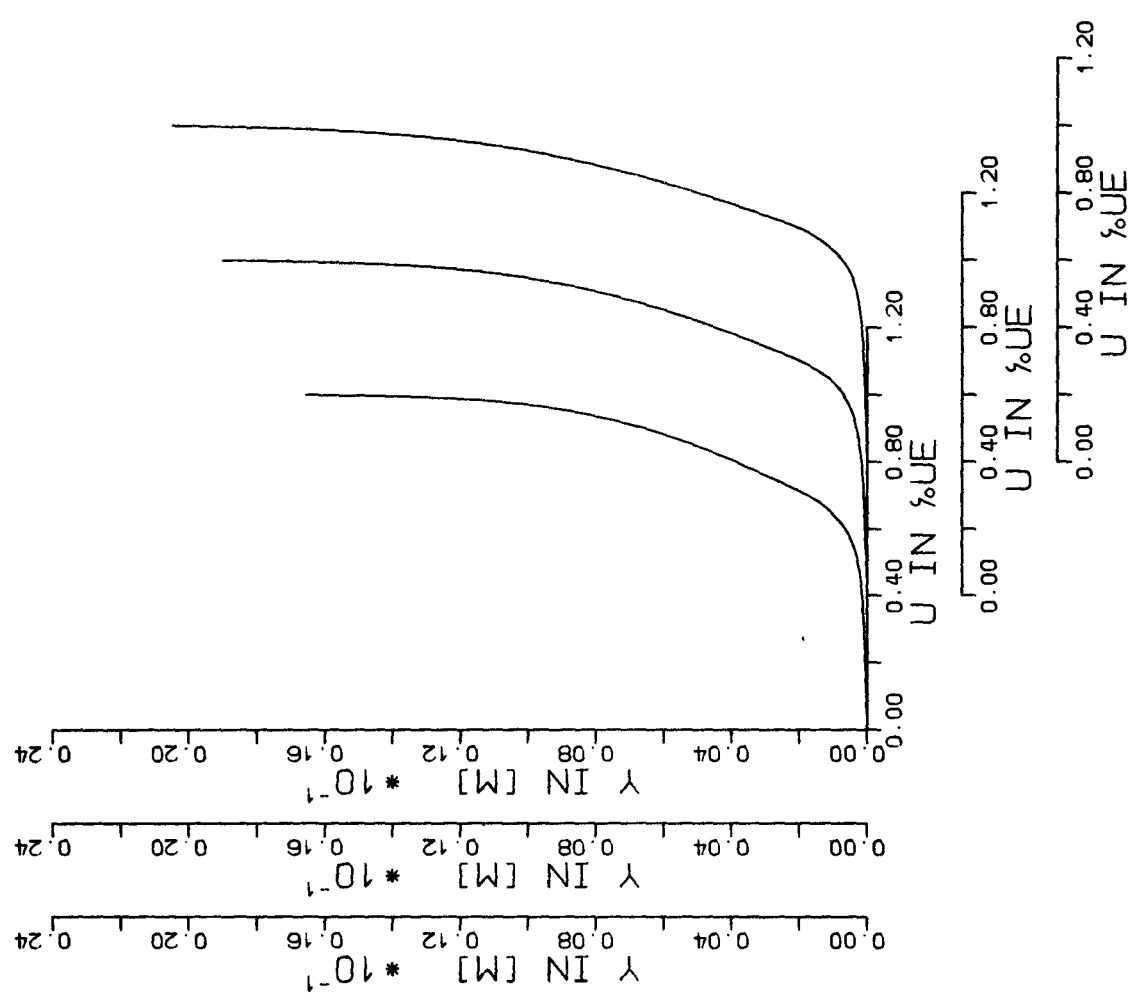
ETA-SQRT(UE/CNU X)



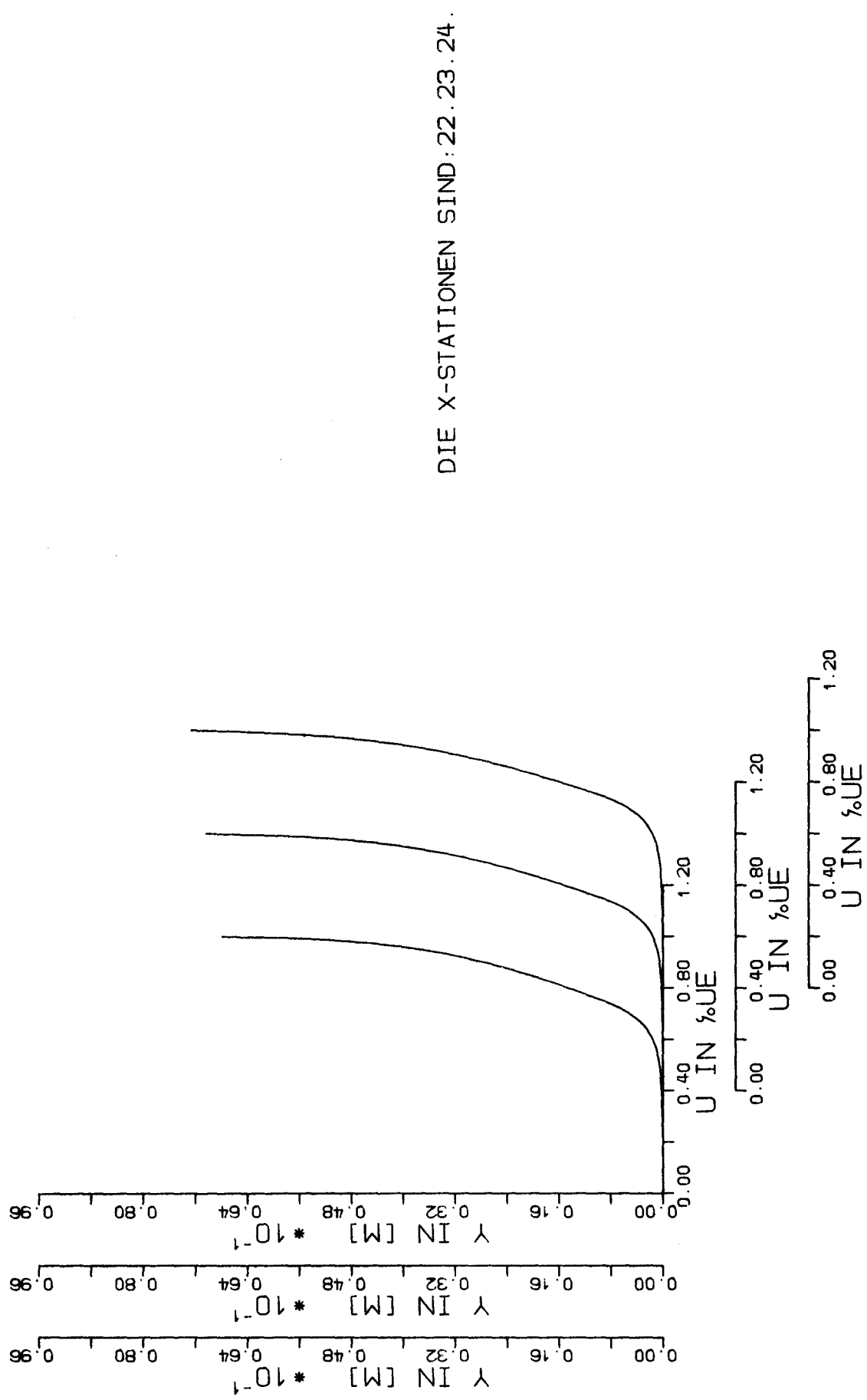
PLATTE TURB. ANDERE ETA-EINTEILUNG



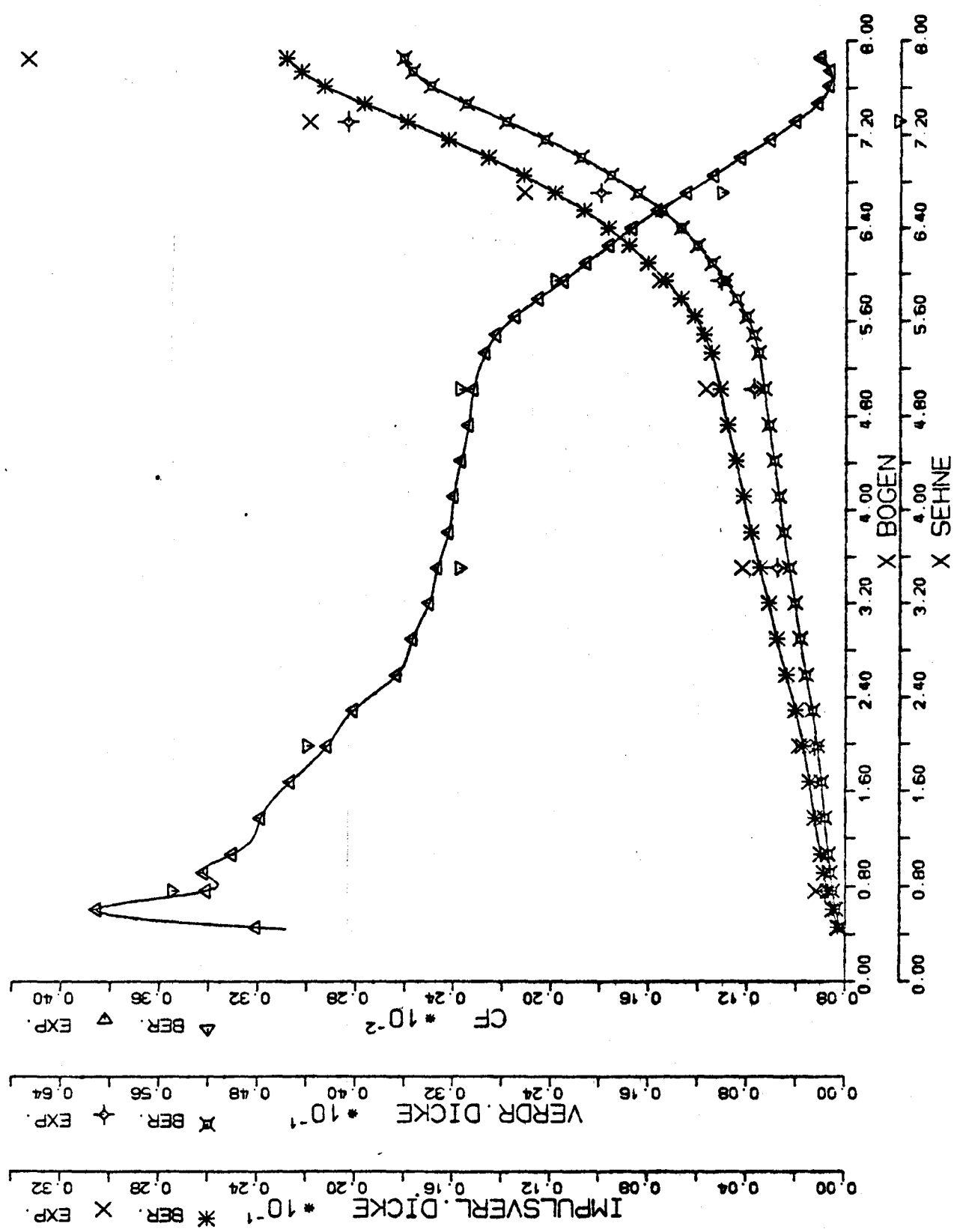
PLATTE TURB. ANDERE ETA-EINTEILUNG



PLATTE TURB. ANDERE ETA-EINTEILUNG



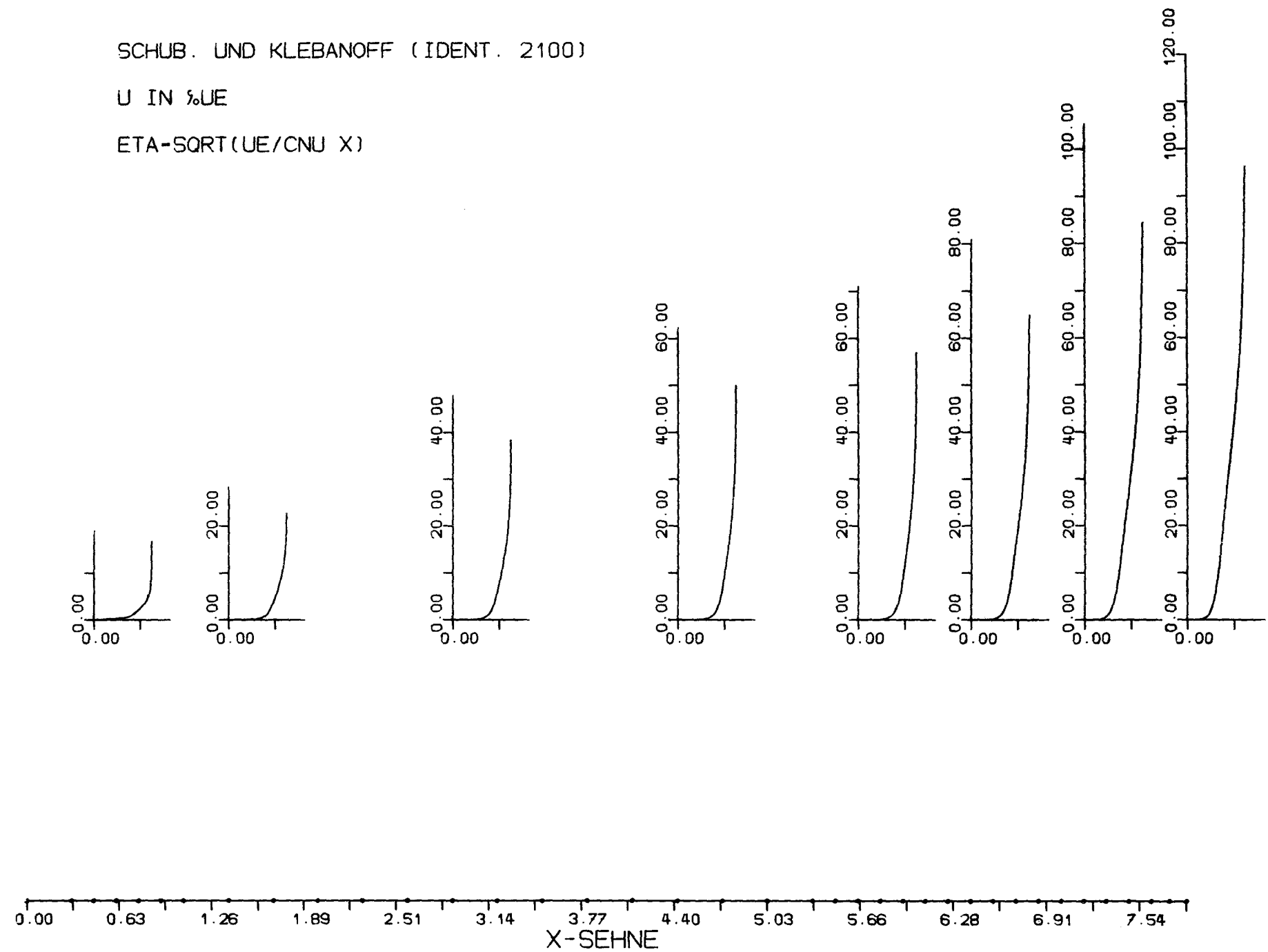
-79-



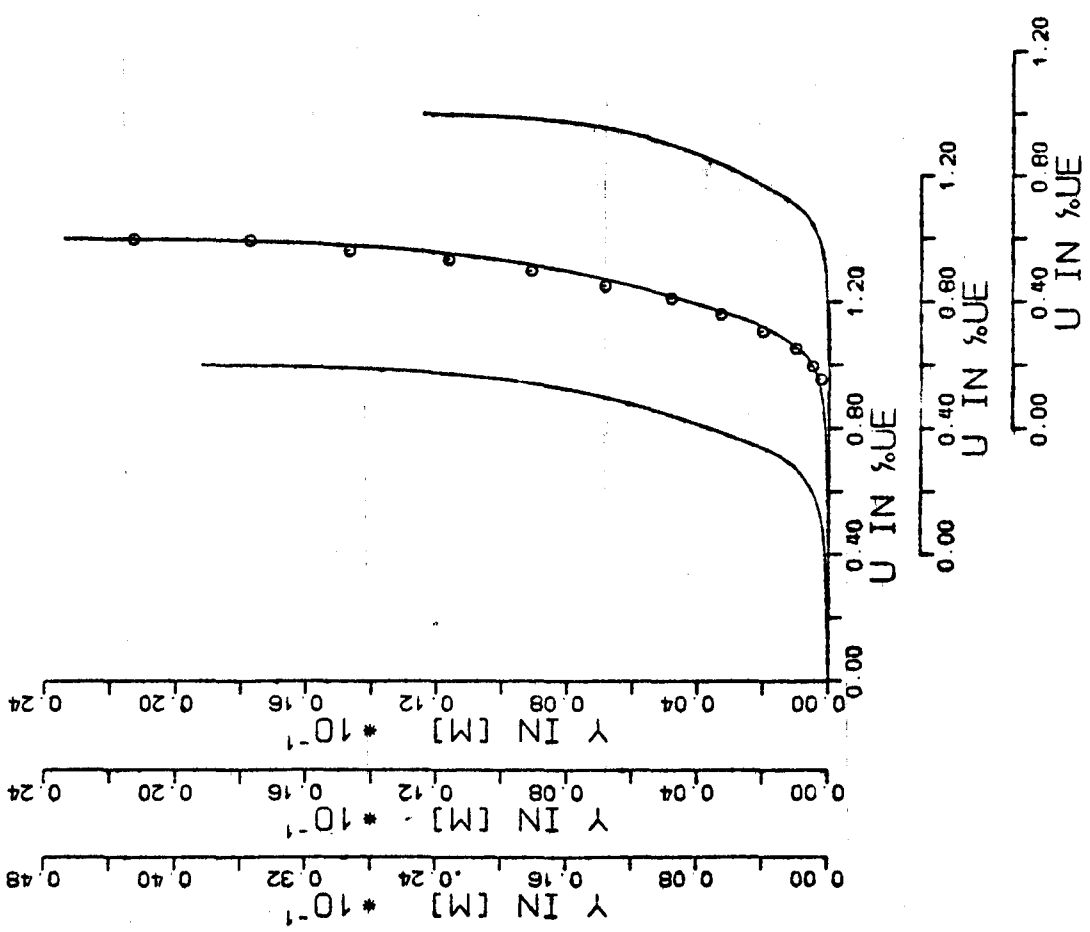
SCHUB. UND KLEBANOFF (IDENT. 2100)

U IN %UE

ETA-SQRT(UE/CNU X)

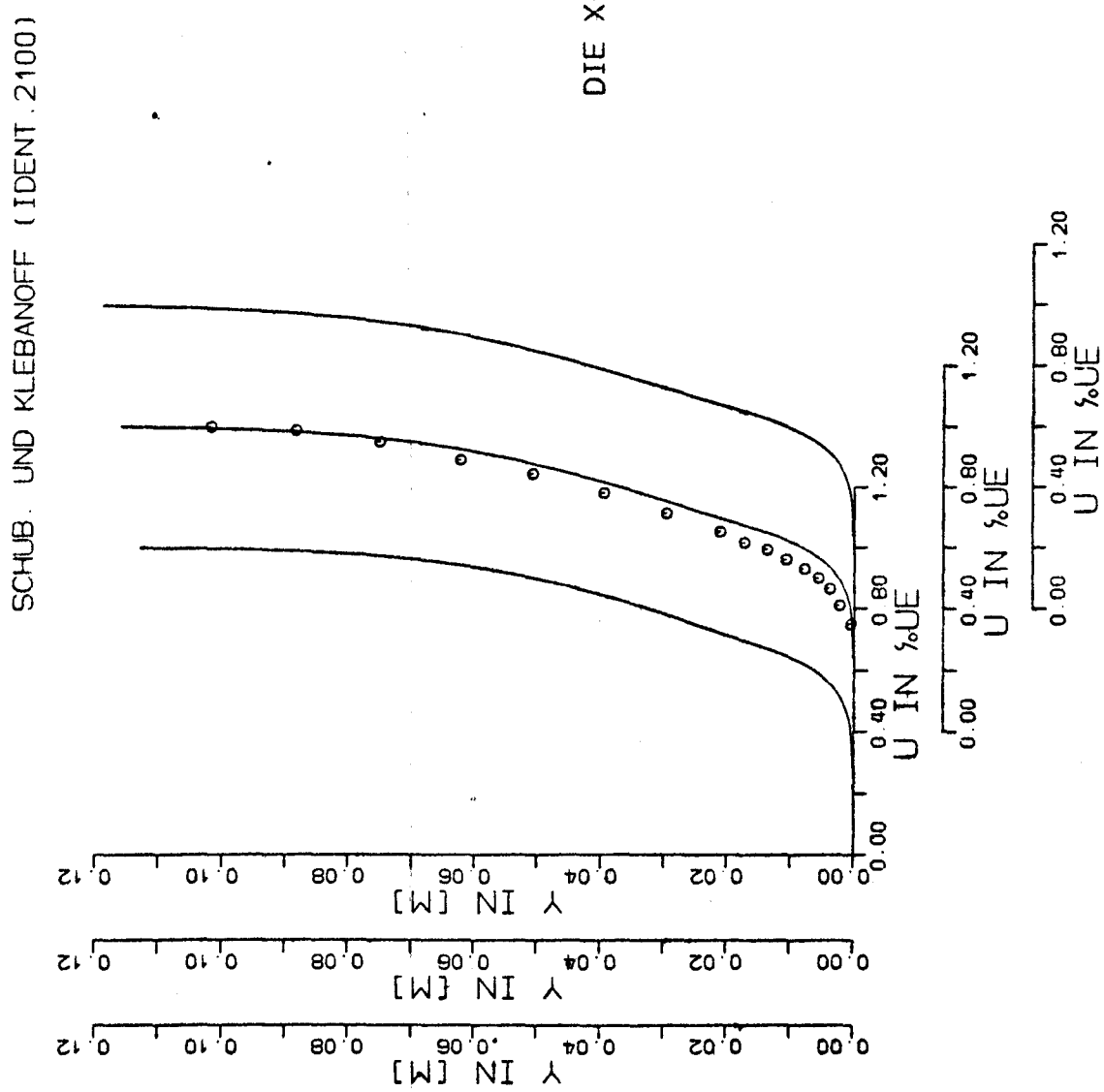


SCHUB. UND KLEBANOFF (IDENT. 2100)

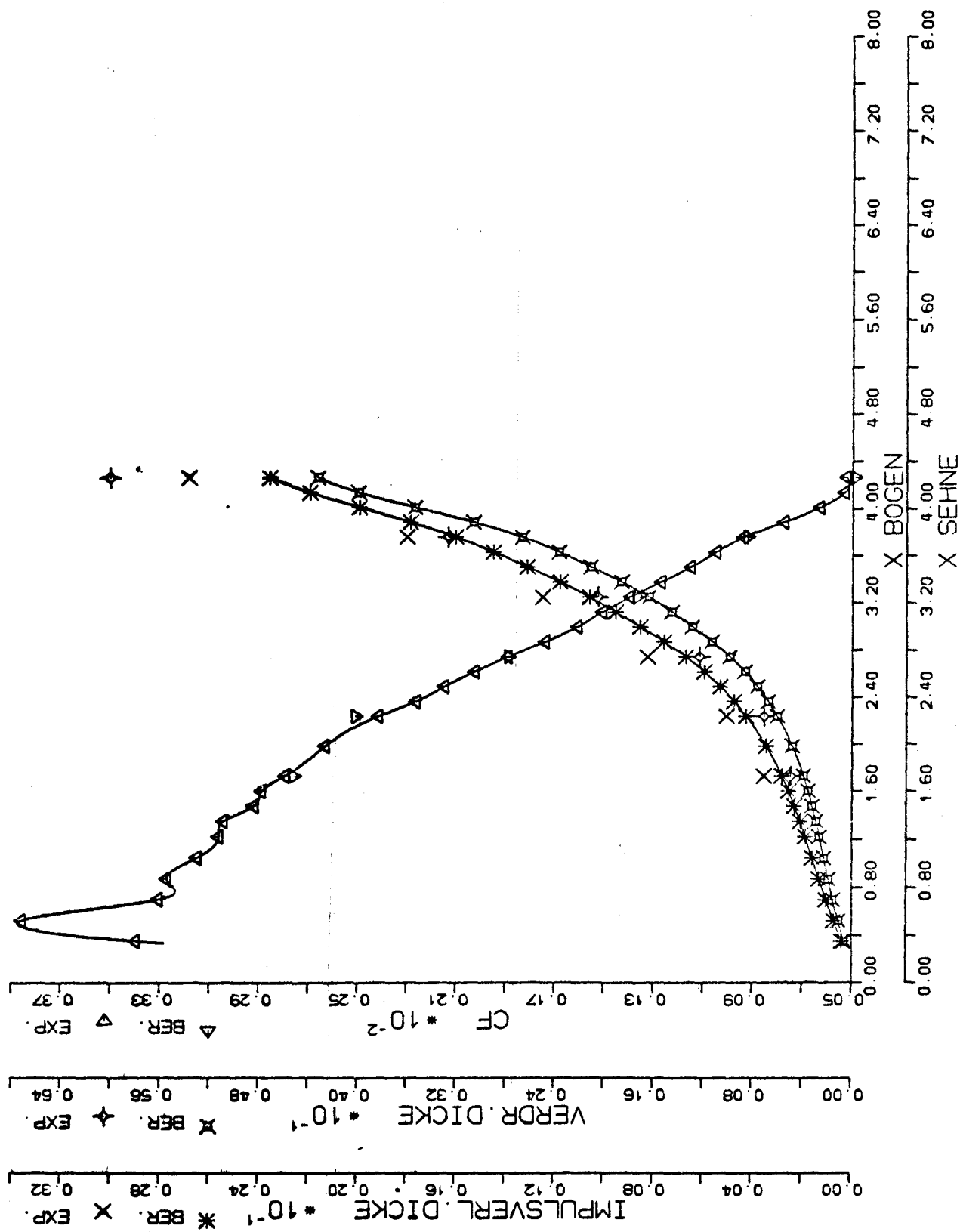


DIE X-STATIONEN SIND: 9, 10, 11.

DIE X-STATIONEN SIND: 29, 30, 31.



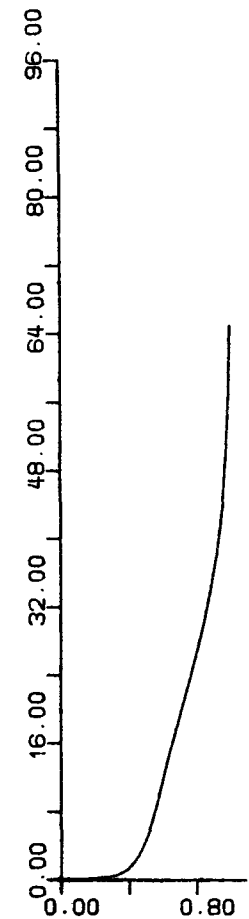
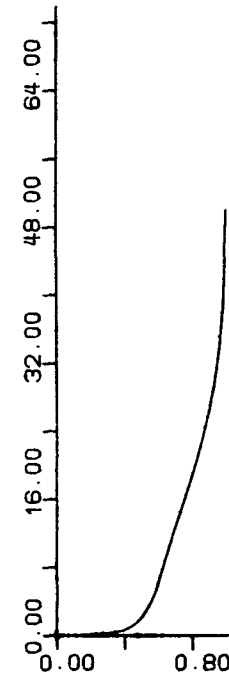
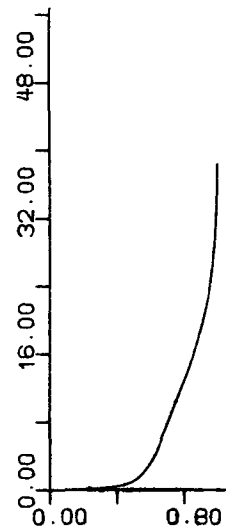
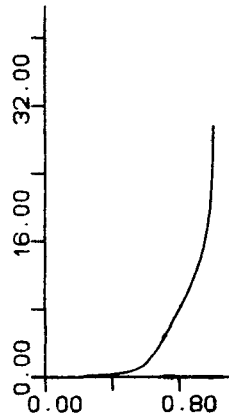
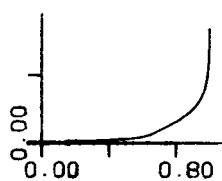
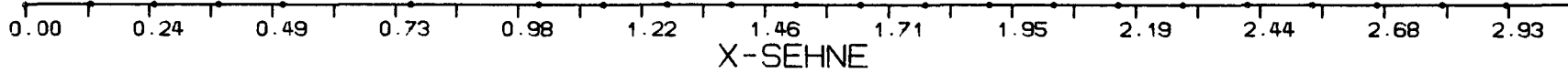
SCHUB. UND SPANGENBERG FLOW B



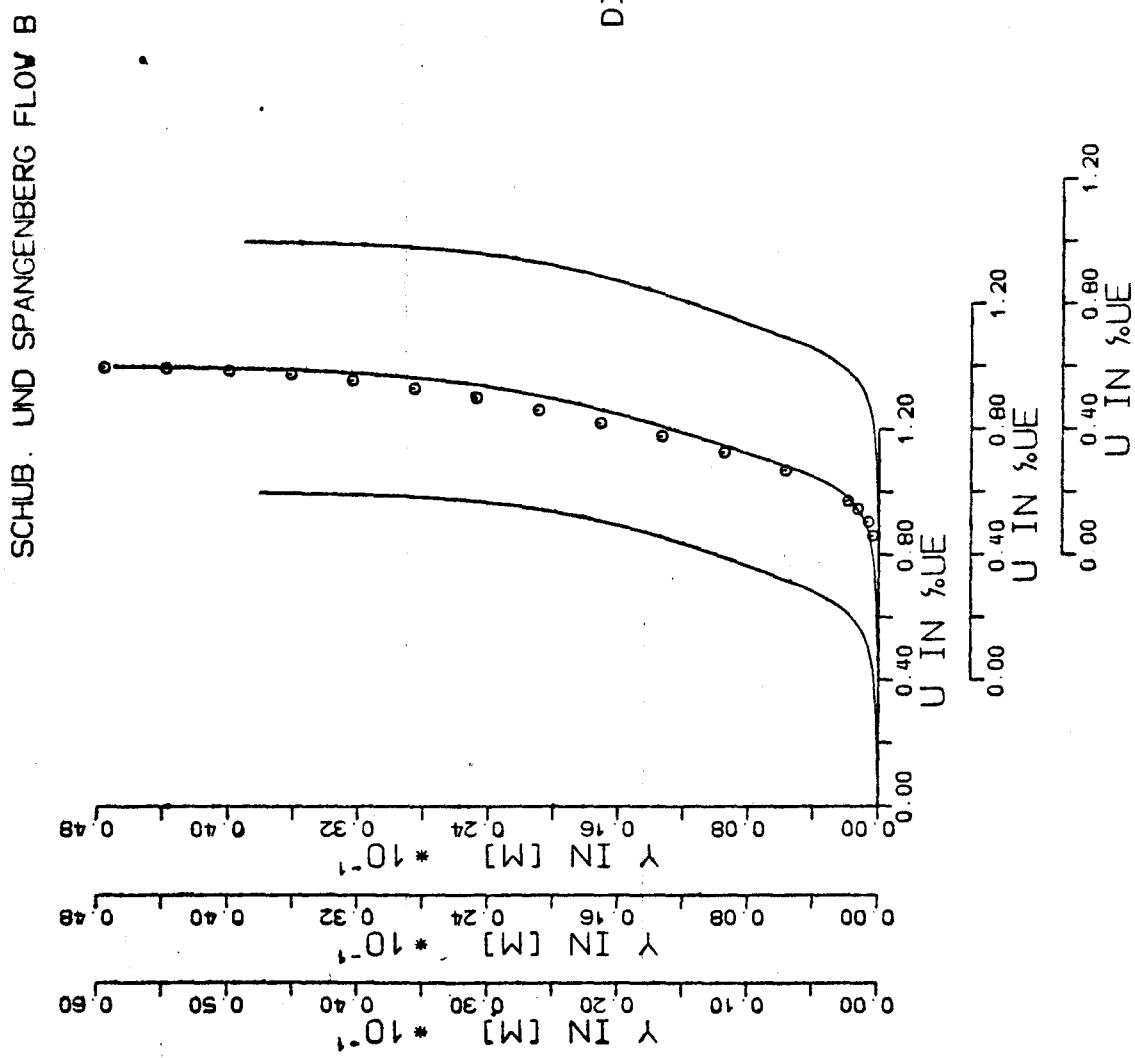
SCHUB. UND SPANGENBERG FLOW B

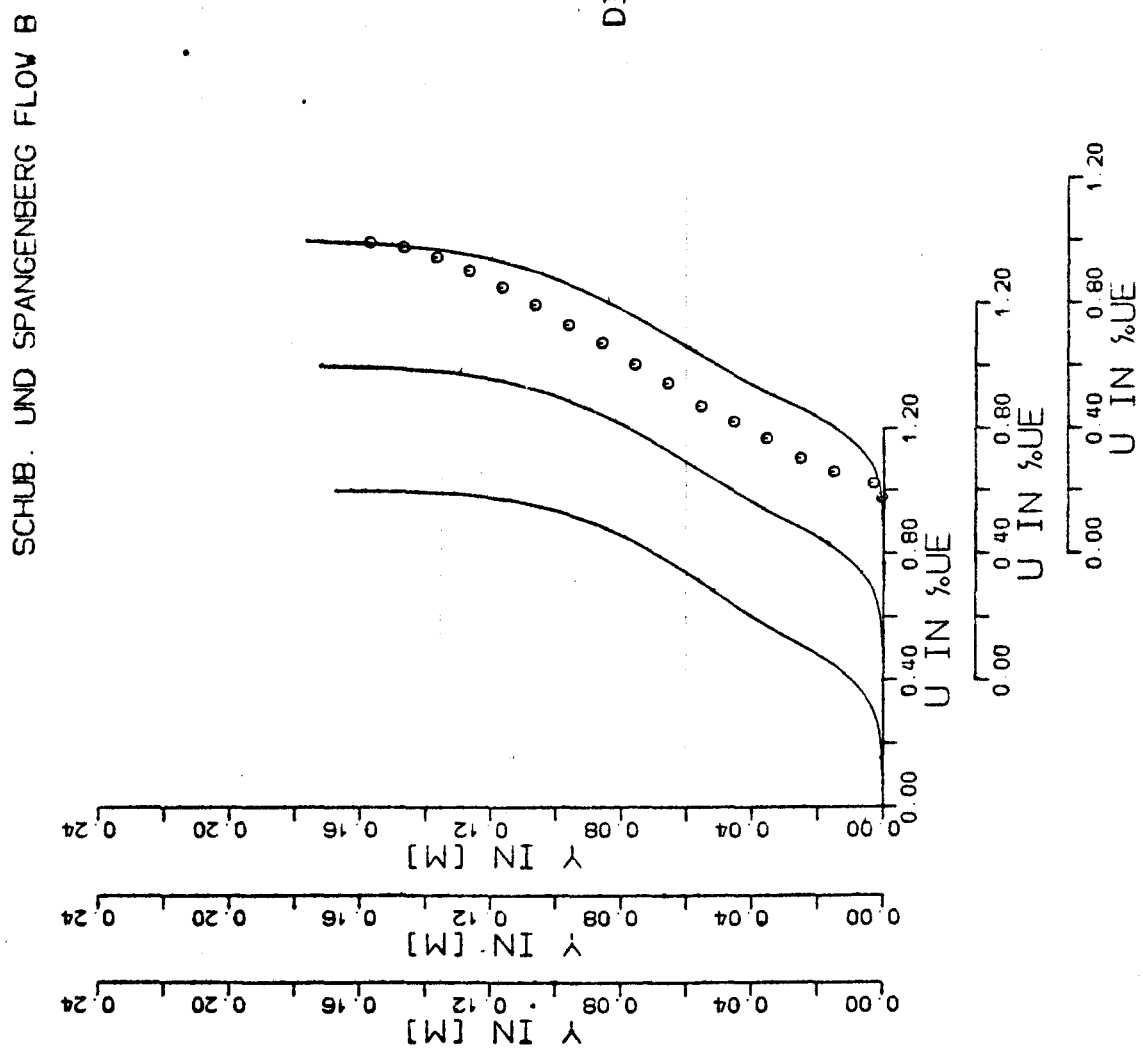
U IN %UE

ETA-SQRT(UE/CNU X)

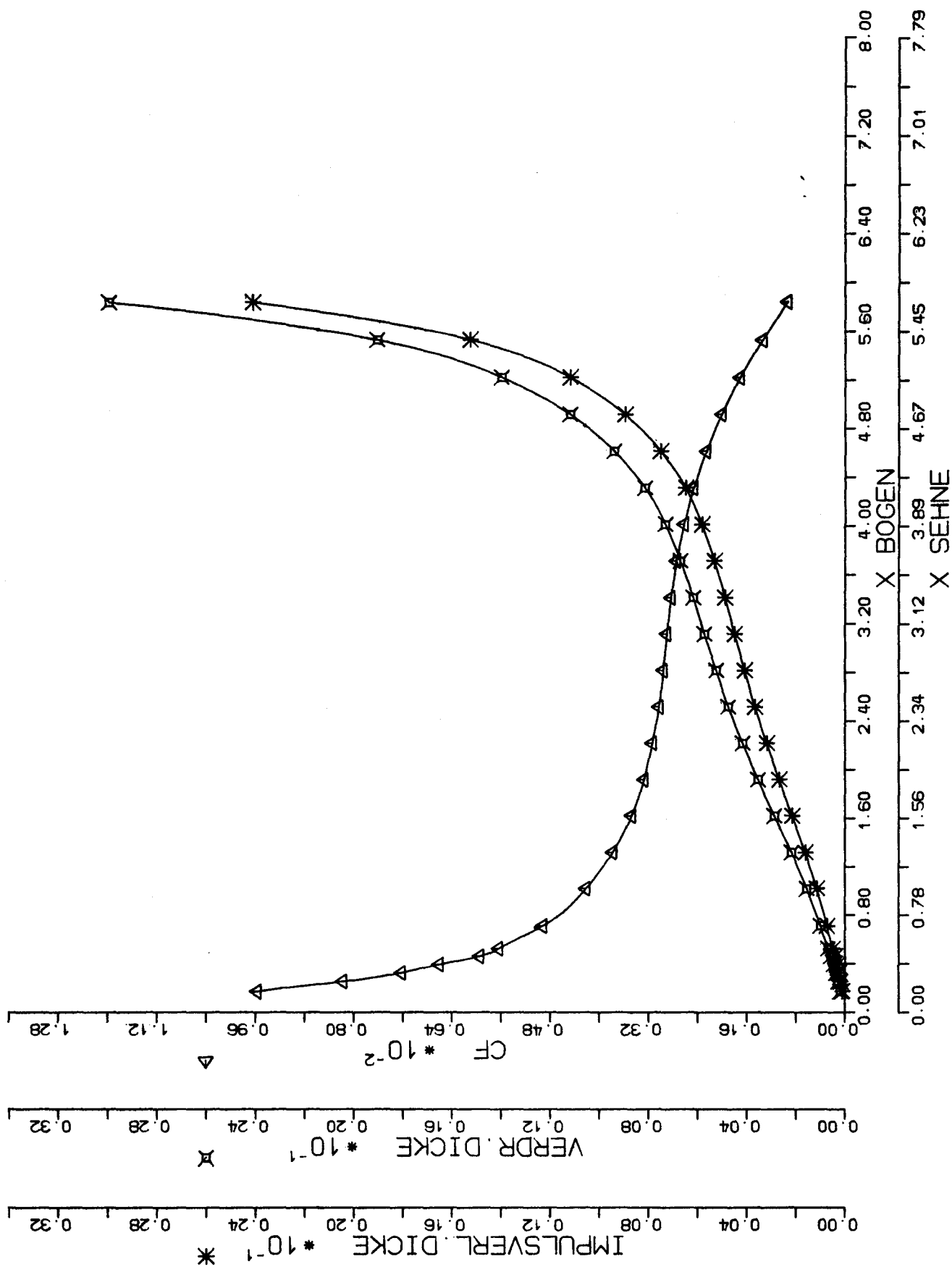


DIE X-STATIONEN SIND: 13. 14. 15.





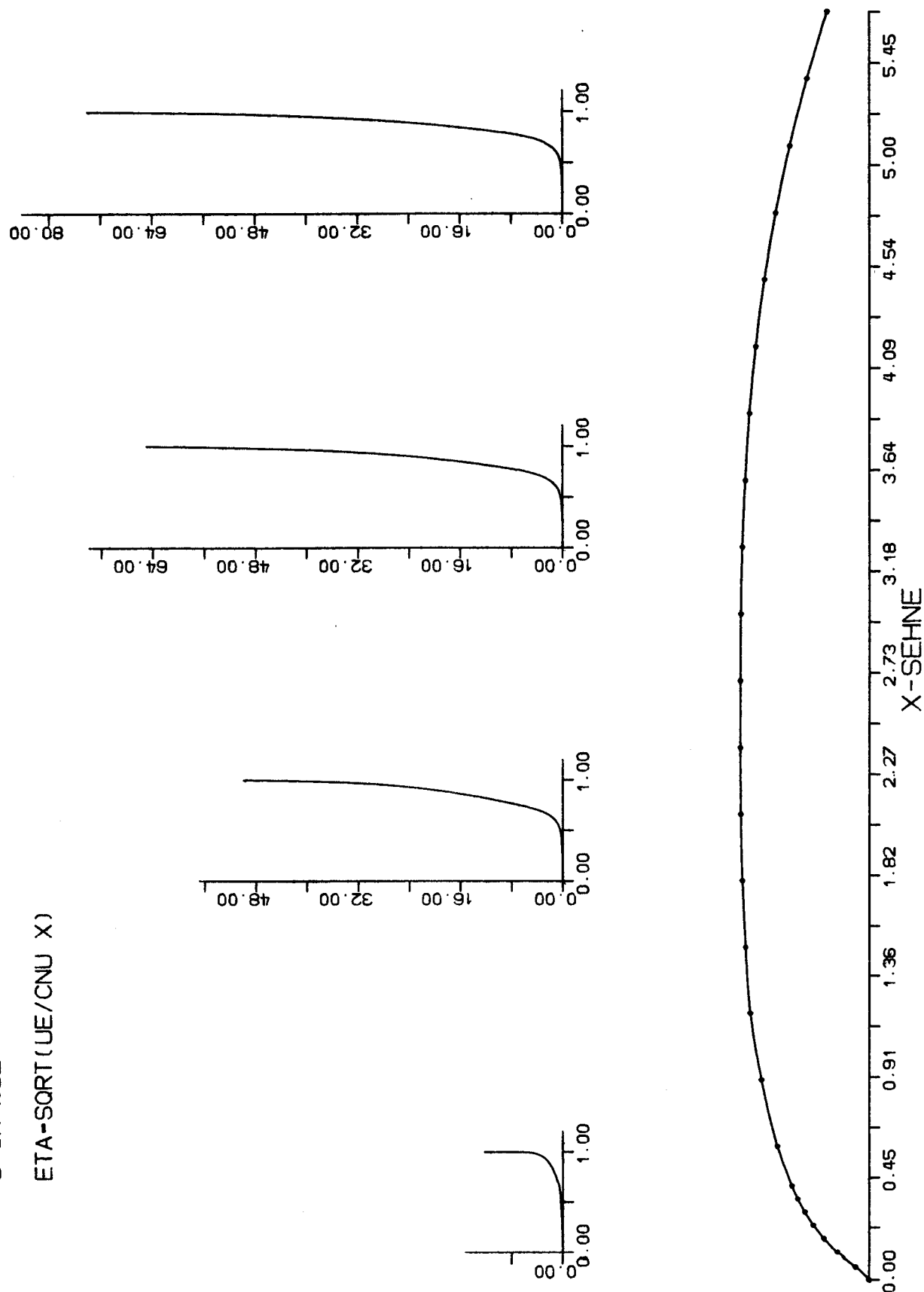
AKRON MOD. (NACA REP. 430)



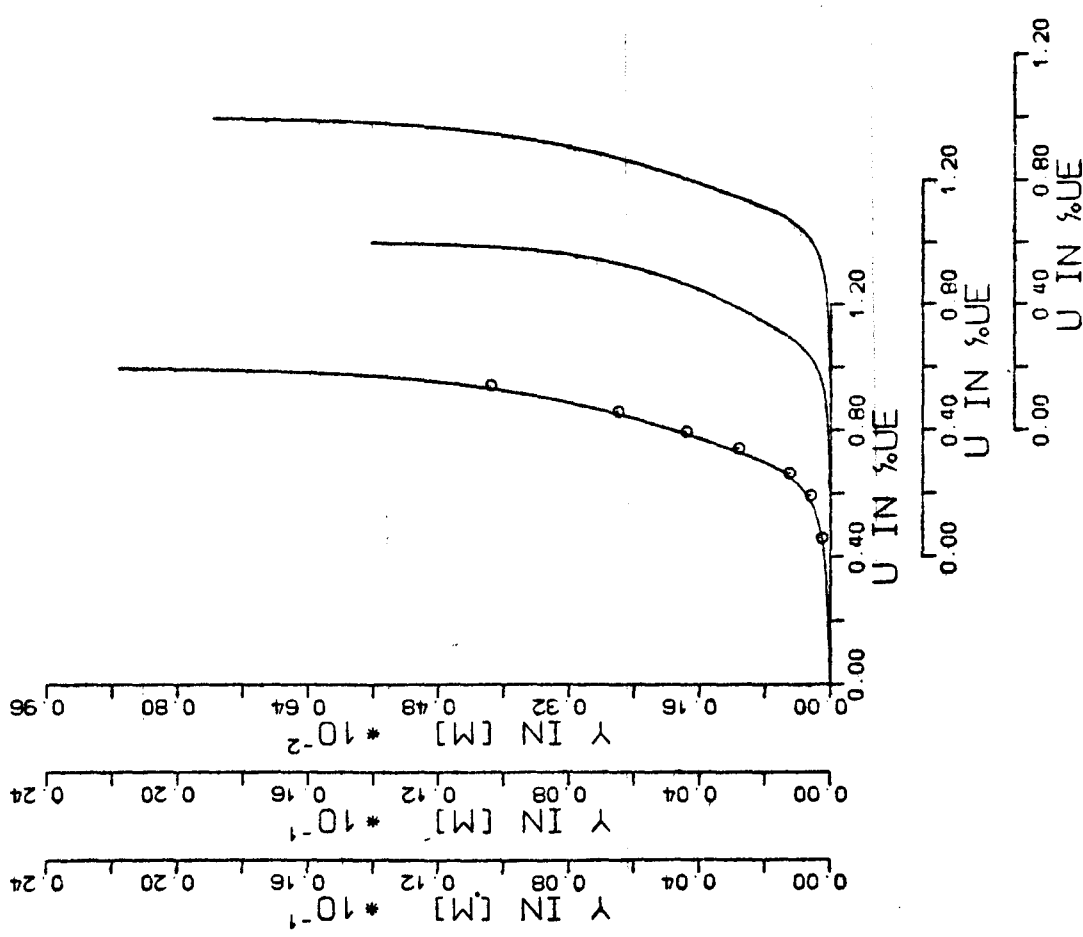
AKRON MOD. (NACA REP. 430)

U IN %UE

ETA-SQRT(UE/CNU X)



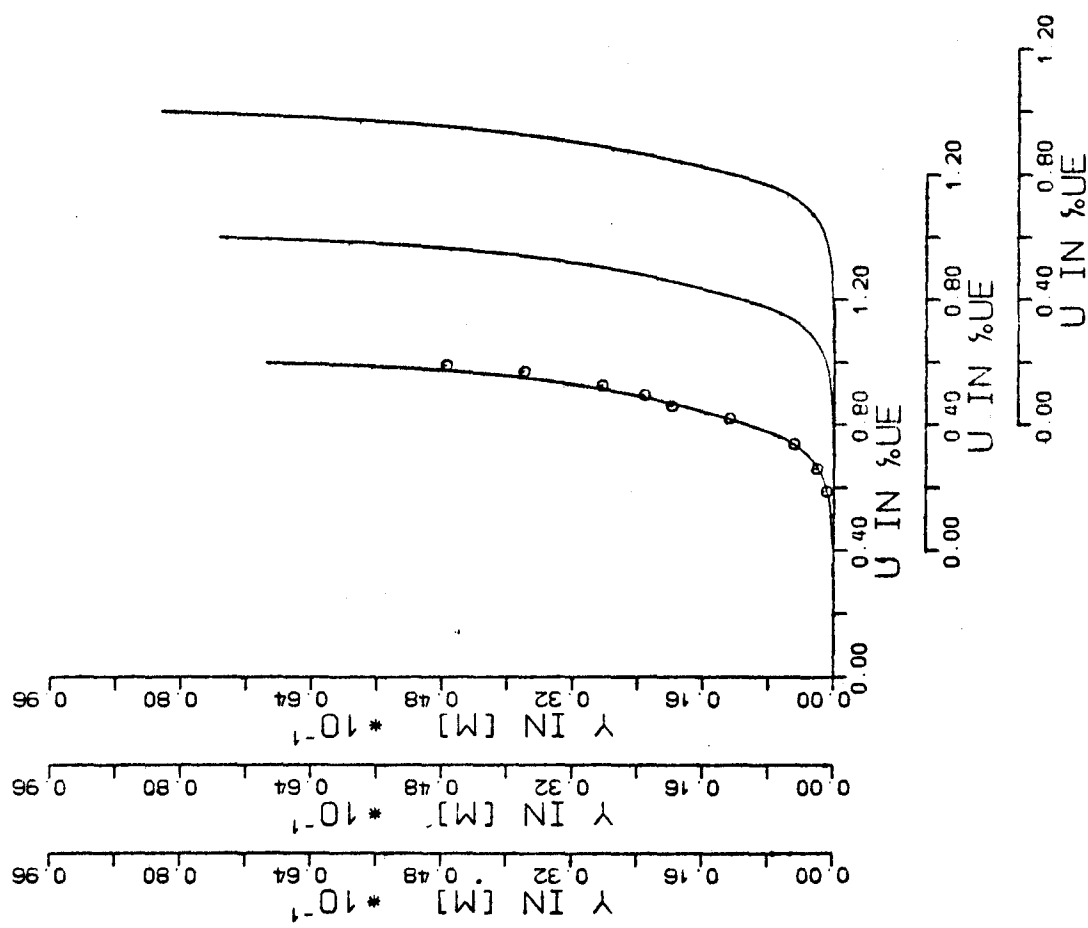
AKRON MOD. (NACA REP. 430)



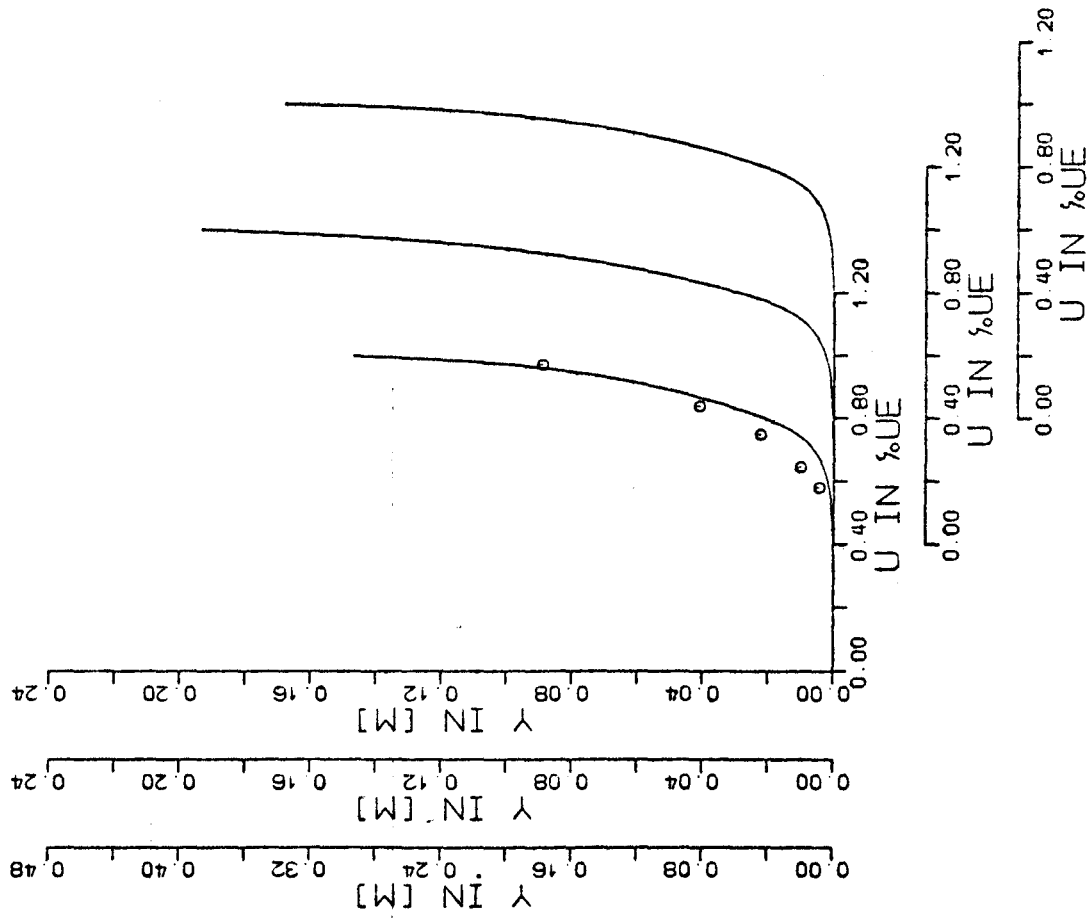
AKRON MOD. (NACA REP. 430)

DIE X-STATIONEN SIND: 19. 20. 21.

-90-



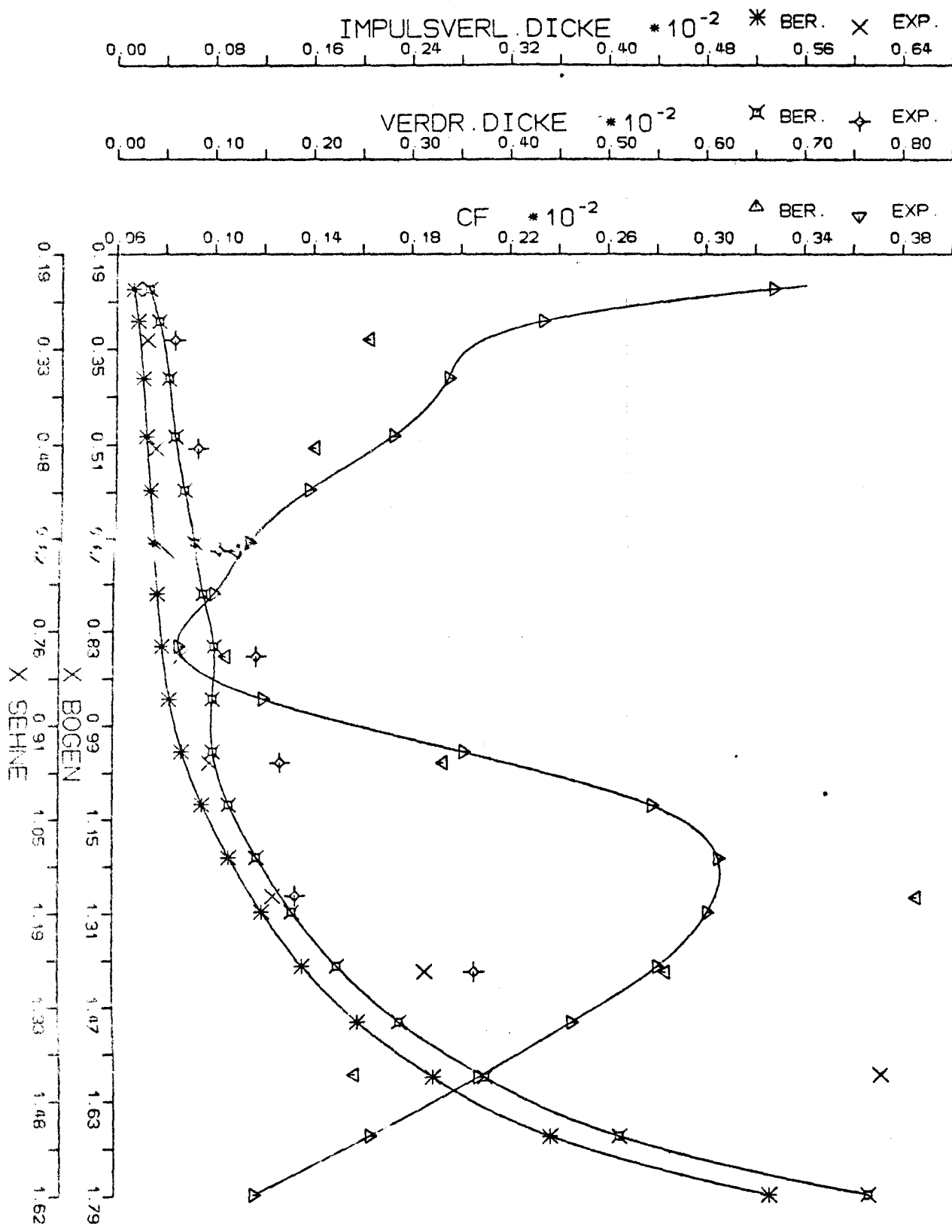
AKRON MOD. (NACA REP. 430)



DIE X-STATIONEN SIND: 24 . 25 . 26 .

-91-

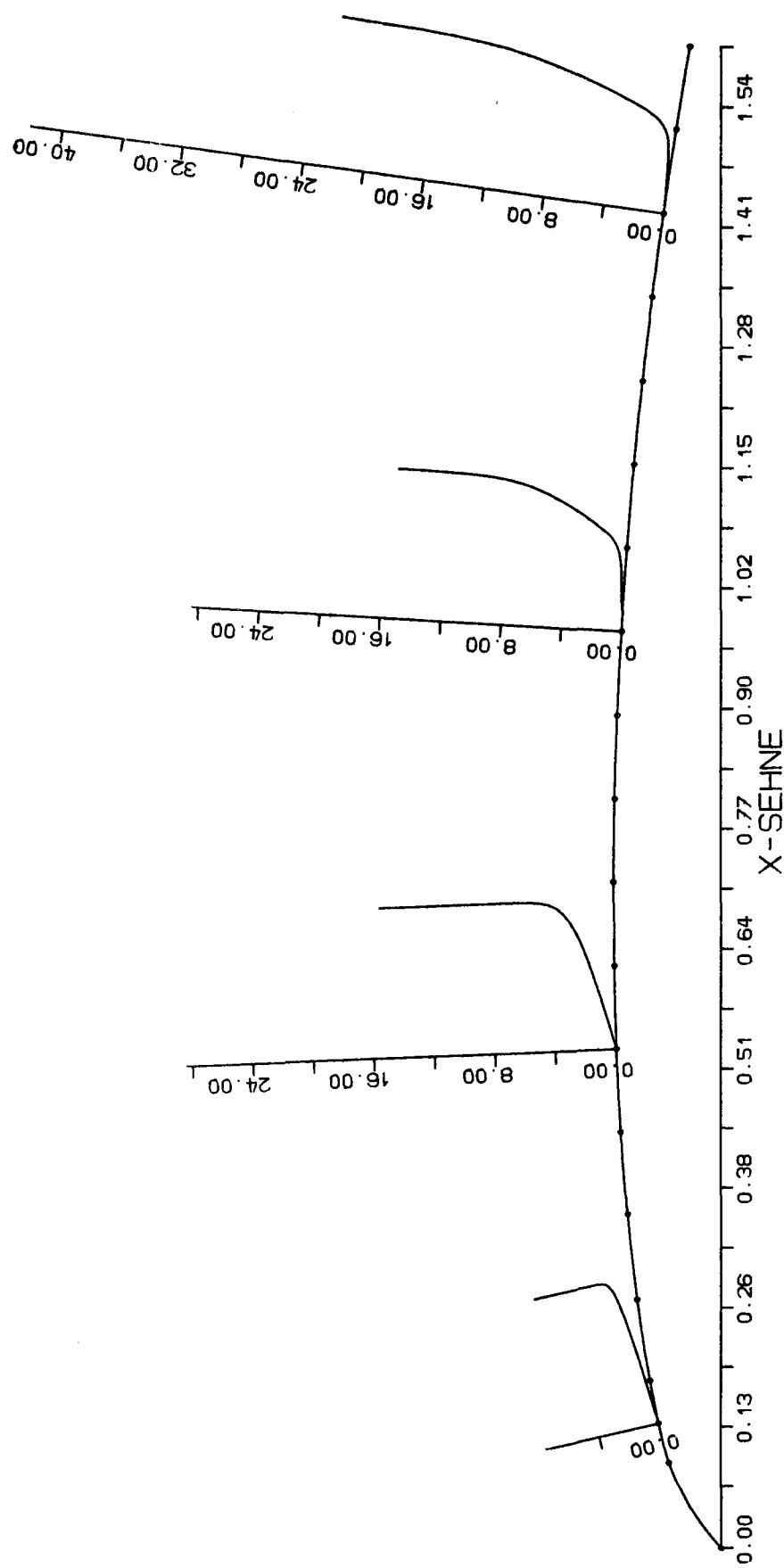
LYON'S MODELL A



LYON'S MOD. A

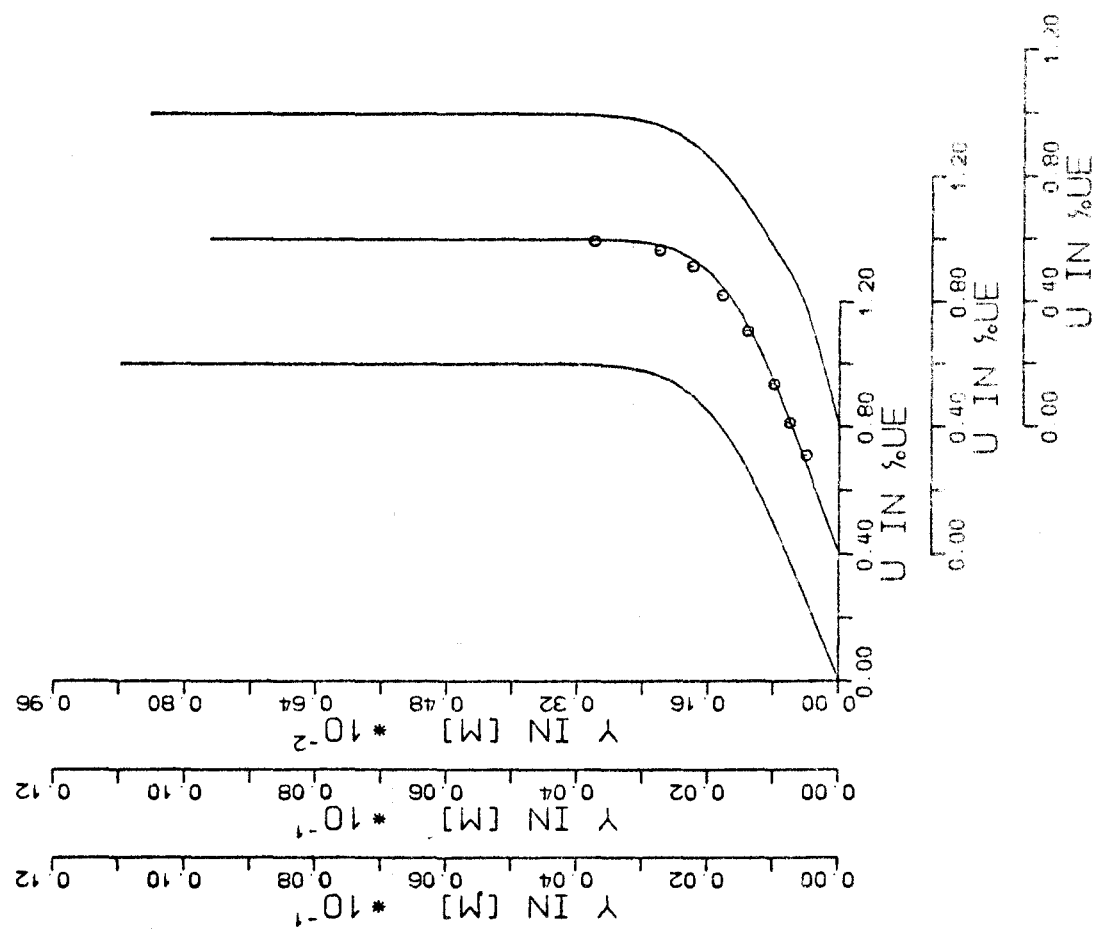
U IN %UE

ETA-SQRT(UE/CNU X)

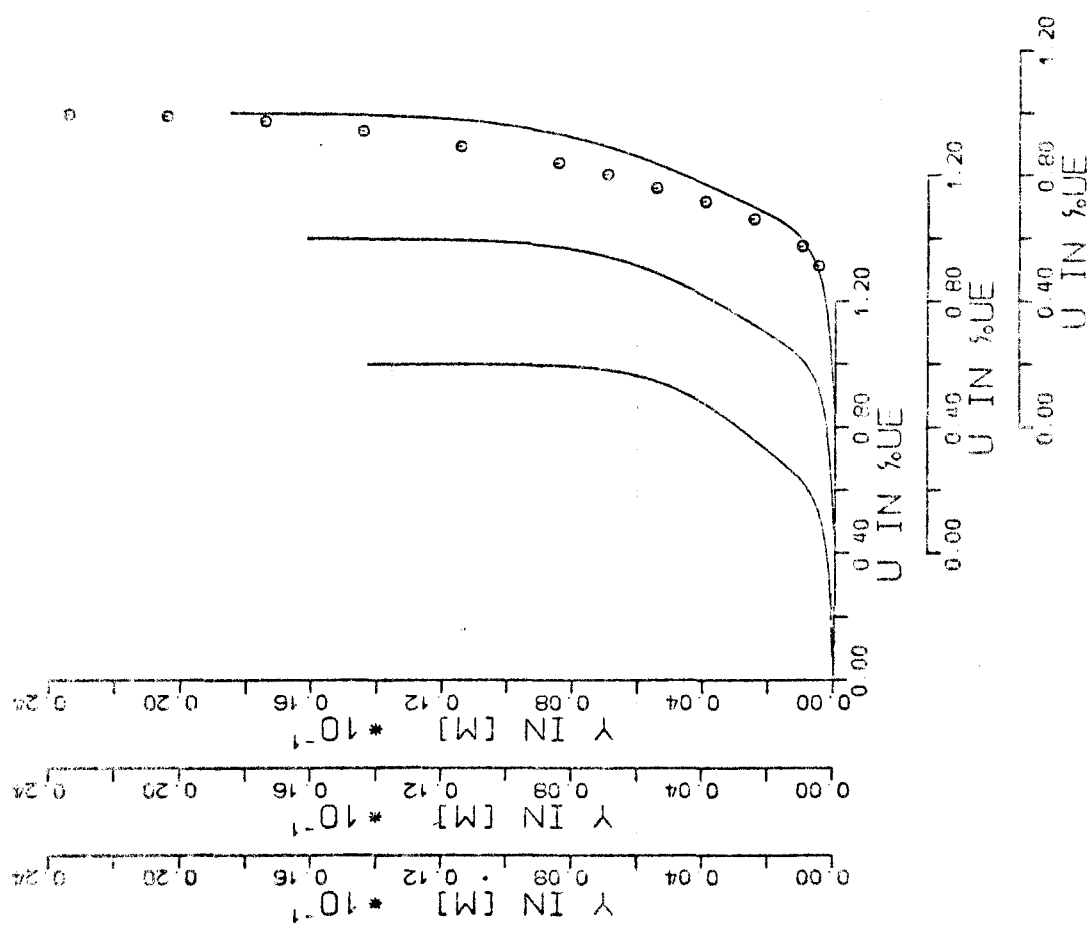


DIE X-STATIONEN SIND: 9, 10, 11.

LYON'S MODELL A



L'GAR'S MODELL A



DIE X-SATIONEN SIND: 14 15 16.

#### Zusammenfassung

Es wird ein differentielles Verfahren zur Berechnung der zweidimensionalen Grenzschichtgleichungen fuer den ebenen und den rotationssymmetrischen Fall vorgestellt. Verfahren und Programm werden von T. Cebeci angegeben und von den Autoren geringfuegig ueberarbeitet und erweitert. Es wird ein kurzer Ueberblick ueber die verwandte Theorie und ein FORTRAN 77 Programm zur Loesung der Grenzschichtgleichungen und graphischen Darstellung der Ergebnisse angegeben. Im Anhang finden sich einige Beispiele fuer mit dem Programm nachgerechnete Grenzschichtmessungen aus der angegebenen Literatur, aus denen die Qualitaet des Verfahrens im Einzelfall ersichtlich ist.